

**INSTITUTUL POLITEHNIC "TELEK. VULCAN"**

**T I M I S O A R A**

**FACULTATEA DE CONSTRUCȚII**

**Ing. Dimaia Iulia**

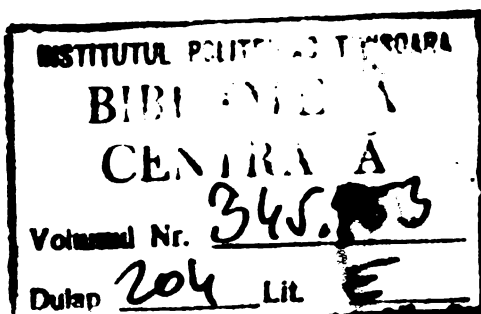
**CONTRIBUȚII LA STUDIUL OBOSELII METALILOR ÎN DIFERITE  
SPECII DE ÎNCARCARE**

**TEZA DE DOCTORAT**

BIBLIOTECA CENTRALĂ  
UNIVERSITATEA "POLITEHNICA"  
TIMIȘOARA

CONDUCATOR: PROFESSOR:  
Acc.d. prof. em. ing.  
DAN MATERIU

- 1 9 7 7 -





## - Cuprins -

## IETILOUȚEKE

<b>I.</b> DISTRUGEREA PRIN OBOSALĂ A METALFLOR	<b>Peg.</b>
1.1. Introducere	1
1.2. Paralearea prin deformații repetate	2
1.3. Nucleerea fisurilor	5
1.4. Propagarea fisurilor	7
1	
<b>II. Tensiuni reziduale în plăse din otel</b>	
2.1. Proveniența tensiunilor remanente	9
2.2. Tensiuni remanente în procesul sudării	11
2.3. Alura tensiunilor remanente în imbinări sudate	12
2.4. Concluzii	17
<b>III. Efectul tensiunilor reziduale din sudare asupra rezistenței la obosală a plăselor din otel</b>	
3.1. Conducerea tensiunilor remanente din sudare cu tensiunile incărăcării de serviciu	18
3.2. Mașina de încercări experimentale la obosale	19
3.3. Material pentru experimentare	22
3.4. Aparatura de investigare	23
3.5. Descrierea experimentului	25
3.6. Fenomenul fisurării și al superii	26
3.7. Date experimentale	27
3.8. Probe fotoelastice ale tensiunilor remanente introduse la sudare	28
3.9. Tensiuni remanente induse prin sudare în epaveta din oțel	38
3.10. Epavete din oțel cu două cordeane de sudare longitudinale	41
3.10.1 Epaveta	41
3.10.2 Tensiuni reziduale induse prin sudare	42
3.10.3 Fisurarea	43
3.10.4 Aspecte ale superii prin obosale	44

## 3.11. Epruvete lise

**IV. COMPARAREA REZULTATELOR EXPERIMENTALE**

<b>4.1.</b>	Locul de apariție a fisurii de oboscală	<b>46</b>
<b>4.2.</b>	Momentul observării fisurii de oboscală	<b>46</b>
<b>4.3.</b>	Durata funcționării în stare fisurată	<b>52</b>
<b>4.4.</b>	Variată maximă ariei fisurate	<b>53</b>
<b>4.5.</b>	Viteză de propagare a fisurii	<b>64</b>
<b>4.6.</b>	Aspectul secțiunii rezultate din ruperea la oboscală	<b>66</b>
<b>4.7.</b>	Verificarea normalității repartiției probabilistice a datelor experimentale	<b>84</b>
<b>4.8.</b>	Curbe de durabilitate	<b>85</b>
<b>V. EPRUVATE UZINTE</b>		<b>87</b>
<b>VI. CONCLUZII PRIVIND CIRCUITARILE DIN TPZA</b>		<b>89</b>
<b>VI. BIBLIOGRAFIE</b>		<b>91</b>

## INTRODUCERE

Desvoltarea impetuoasă a economiei noastre socialiste a necesitat și continuu cu acuitate să necesite executarea unor investiții immense, în cadrul cărora lucrările de construcții montaj au pondere însemnată. Spre deosebire de alte produse construcționale au o durată de exploatare foarte lungă. Atât valoarea lor cât și durata de exploatare pledează pentru structuri sigure, durabile și economice.

În domeniul construcțiilor metalice introducerea sudării ca principal mijloc de imbinare a contribuit nu numai la reducerea greutății proprii a construcției dar și încurajat aplicarea unor procedee de înaltă productivitate care au facilitat executarea unor ansambluri monolite de dimensiuni mari. Date fiind posibilitățile încă nefolosite ale sudării precum și noile procedee de sudare încă neindustrializate se presupune că volumul construcțiilor sudate va crește semnificativ în continuare.

Sudarea exercită o influență hotărâtoare atât asupra concepției construcțiilor și a tehnologiei de fabricație. Sudarea revendică calități ridicate ale metalului căci șocul termic al principalelor procedee industriale de sudare modifică compoziția chimică și îndeosebi structura metalurgică a cordoului de sudură și induce tensiuni reziduale în imbinarea sudată. Imbinările sudate pot ușor rezulta cu defecțiuni interioare care nu pot fi depistate decât în urma unui control riguros și costisitor.

Determinarea stării reale de tensiune în imbinările sudate dar mai ales în cusătura de sudură și în zona influențată termic, este de o complexitate deosebită mai ales în ceea ce privește determinările cantitative.

Prezența tensiunilor reziduale poate influența rezistența materialului față de tensiunile produse de sarcinile de serviciu. Astfel, la solicitarea de tracțiune, acea zonă a epruvei care conține tensiuni reziduale de întindere de valoare ridicată se va deformă plastic la o valoare mai redusă a tensiunii de serviciu decât epruveta lipsită de tensiuni reziduale. Împotriva, tensiunile reziduale de compresiune pot să ridice valoarea limitei de curgere.

Durabilitatea construcțiilor ingineresti constituie o chestiune foarte importantă pentru acelea a căror funcționare are loc sub încărcări de intensitate corelată cu parametrul timp. Previziunerea

durabilității în condiții de solicitare dinamică este legată de progresele teoretice ale mecanicii solidului și de sistematizarea rezultatelor experimentale.

rezultatele unei îndelungate activități de cercetare analitică dar mai ales experimentată deosebită în ultimele decenii pe plan mondial au avut ca scop descoperirea unui mod de calcul mai apropiat de comportarea reală a îmbinărilor sudate în condiții de solicitare statică și dinamică.

În lucrarea de față autorul a investigat calitativ dar și cantitativ, conlucrarea tensiunilor reziduale induse prin sudare cu tensiunile de serviciu asupra durabilității la oboselă a unui ogel de largă utilizare în construcții.

Spectrul de încărcare la care lucrează epruveta supusă testării corespunde sumei algebrice dintre un efort axial static de întindere cu un efort axial dinamic de întindere cu două valori extreme de semne contrare.

La acestea se adaugă spectrul tensiunilor remanente rezultat întrinsec din procesul de sudare.

Atenția autorului s-a concentrat asupra momentului apariției fisurii de oboselă și evoluției fisurii la suprafață și în grosimea epruvelei.

Lucrarea se extinde pe parcursul a 5 capitole.

În capitolul I este prezentat fenomenul de distrugere cumulativă a metalelor învînd la bază conceptul actual al mecanicii ruperilor privind nuclearea și propagarea fisurilor de oboselă.

Capitolul II ilustrează mecanismul nasterii tensiunilor remanente în general și din sudare în special. Paragrafele acestui capitol sistematizează conexiunea principaliilor parametri tehnologici ai sudării și spura tensiunilor remanente rezultate.

Capitolul III cuprinde partea experimentală a lucrării. Această parte include determinări axante pe :

- precizarea diagramei tensiunilor remanente din sudare pe cale fotoelastică în modelul din araldit.
- tracarea spurii tensiunilor reziduale din sudare la epruvete din ogel înainte și după testarea de oboselă.
- stabilirea momentului apariției fisurii de oboselă și a durabilității epruveelor pînă la cupoare.

Experimentul lucrării a cuprins epruvete de secțiuni transversale diferite ca mărime, epruvete cu și fără tensiuni remanente din sudare, epruvete mai mult sau mai puțin rigide. Epruv-

- vetele din oțel care constituie obiect de studiu al acestei lucrări sunt epruvete mari confectionate la scară 1 : 1

Capitolul IV este destinat filtrării, prelucrării și comentarii datelor experimentale. Acest capitol se referă la următoarele aspecte ale fenomenului de obiectul investit:

- expresia analitică și grafică a variației mărimiilor ariei fisurate din secțiunea transversală.

- viteza de variație a ariei fisurate sau viteza globală de propagare a fisurii

- viteza superficială de propagare a fisurii

- curbe de durabilitate

- distribuția probabilistică a parametrilor ce caracterizează fenomenul

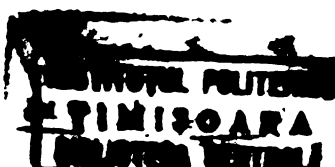
Ultimul capitol - capitolul V - colectează concluziile ce se desprind din toate aspectele analizate într-o manieră sinergică și cooperantă.

Prezenta lucrare se axează pe o problemă de cercetare fundamentală și are un puternic caracter experimental. Ea este contribuția originală a autorului cu excepția primelor două capitole.

rezultatele obținute se valorifică în cadrul contractului de colaborare științifică încheiat între I.P. " Traian Vuia " - catedra de Construcții metalice și catedra de Încercări de materiale Universitatea Belgrad - Jugoslavia - intitulat : "Influența tensiunilor asupra capacitatii de rezistență dinamică a îmbinărilor sudate".

Lucrarea a fost elaborată în climatul favorabil activității științifice stabilizat în Institutul Politehnic " Traian Vuia ". Autorul a căutat să fie sprijinit de suportul moral și științific al colegilor săi de la catedra de Construcții metalice cărora le exprimă multumirile sale.

Conducătorului său științific Acad. Prof. en. ing. DAN BĂTEFSCU, autorul ține să-i aducă și pe acestuia călă multumirile sale pentru grijă și soliciindinea cu care l-a îndrumat permanent la un înalt nivel științific pe parcursul elaborării tezei și a formării sale ca specialist.



## DISTRUGEREA PRIN OBOSCALĂ A METALELOR

### 1.1. INTRODUCERE

Sub acțiunea încărcărilor repetate, metalele se distrug într-un mod cu totul diferit de acela datorat unei suprăsarcini aplicată static. Distrugerea prin oboseală se produce la un nivel mai coborit al tensiunilor și numai după un mare număr de încărcări, în timp ce distrugerea la supraîncărcare statică se produce în cursul unei perioade relativ scurte.-

Valoarea intensității efortului unitar care provoacă distrugerea imediată a materialului se numește rezistență. Valoarea intensității efortului unitar care cauzează distrugerea în cazul solicitărilor repetate sau prelungite se numește în general rezistență de oboseală și se asociază cu o mărime numită durabilitate, exprimată în unități de timp sau număr de cicluri.

Pentru cazul solicitărilor repetate se admite că are loc în material o degradare continuă datorită fiecărei aplicări a sarcinii iar această degradare începe cu primul ciclu de solicitare și se încheie cu ciclul limită.

Degradarea D introducă astfel, variază de la zero înaintea primului ciclu de solicitare, la valoarea limită egală cu 1 în momentul ruperii.

Teoriile care încearcă să explice fenomenul ruperii prin solicitări repetitive sunt numeroase. Teoriile anterioare se bazeau pe starea tensională limită. Teoriile mai noi se bazează pe caracteristicile deformative sau dislocației ale metalului. Ele se deosebesc printr-o mare complexitate în comparație cu teoriile stării tensionale limită, și explică mult mai exact mecanismul real al oboselii.

Multe teorii recente privitoare la distrugerea de oboseală au pornit de la examinarea comportării metalului în volum macroscopic. Altele mai noi, examinează microstructura metalului.

În sfârșit există cercetători care presupun că distrugerea de oboseală începe în volume submicroscopice conensuratele cu parametrul rețelei atomice, mult timp înainte de apariția indicilor de oboseală detectabili cu mijloace curente.-

In conformitate cu cererile recente procesul de desgradare prin solicitări repetate se compune din următoarele faze :

- a. ecruișarea prin deformări repetate
- b. nucleația fisurilor
- c. propagarea fisurilor pînă în stadiul rupturii.

La baza celor trei faze stă deformăția plastică repetată care se acumulează la nivelul rețelei cristaline sau în toată masa metalului (funcție de intensitatea solicitării) și caracterizează aspectele principale ale flocării faze.

### 1.2. ECRUIȘAREA PRIN DEFORMĂRI REPESTATE

Fenomenul ecruișării prin deformări repetate se explică ușor pe curbele de ecruișare exprimate în coordinate : tensiune - deformare specifică pentru monocristale.

Figura 1.1. ilustrează existența a două stadii în procesul ecruișării.[8][9]

- stadiul I al ecruișării rapide cu o durată de 1% din durabilitatea monocristalului,
- stadiul al II-lea al ecruișării saturate.

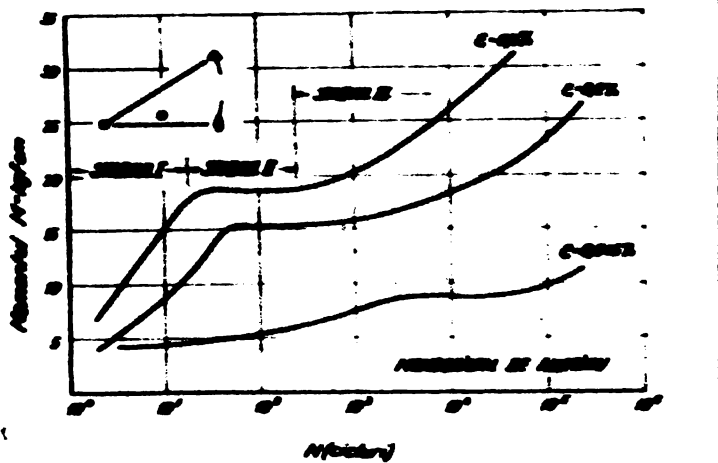


Figura 1.1.

Unele metale cum ar fi aluminiul prezintă și un al treilea stadiu de ecruișare lată pînă la rupeare.

S-a constatat o analogie între ecruișarea prin deformare repetată și ecruișarea prin deformare singulără. Analogia se

manifestă atât în alura curbei de ecruișare cît și în privința influenței orientării monocrystalului față de direcția de deformare. În ambele cazuri ecruișarea se produce mai repede dacă monocrystalul este astfel orientat încât are mai multe plane favorabile alunecării.

Fenomenul ecruișării prin solicitări repetate se explică la ora actuală în termenii interacțiunii dislocațiilor în timpul deformărilor plastice. În stadiul ecruișării rapide se produce o multiplicare puternică a dislocațiilor. Ecruișarea este cu atât mai rapidă cu cât interacțiunea dislocațiilor cu obstacolele existente în cristal sau cu alte bucle de dislocație este mai puternică. Dislocațiile din acest stadiu au o configurație extrem de stabilă așa cum ilustrează figura 1.2. covorul dislocațiilor unui monocrystal alungit cu 4 și mărit de 500 ori. Figura 1.3. prezintă un covor de dislocații în bandă la o epruvetă din otel deformat 0,3% la întindere și mărit de 15.000 ori.

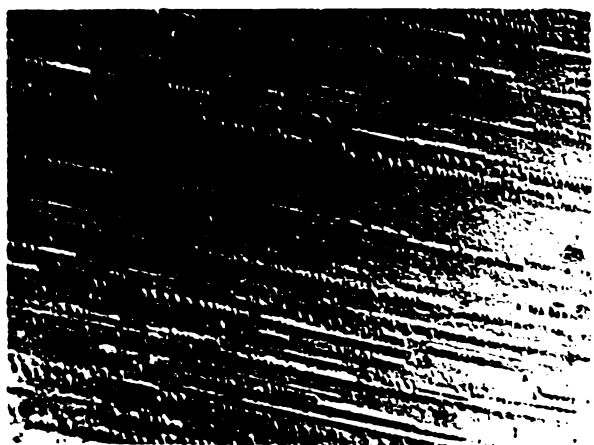


Figura 1.2



Figura 1.3

Pe măsură ce ecruișarea progresează, structura de bucle se dezvoltă și se răspindește în zone paralele ca în figura 1.4 mărită de 14.000 ori și se stabilizează într-o structură de mozaic, figura 1.5 mărită de 45.000 ori. Stabilizarea dislocațiilor în structură de mozaic corespunde stadiului ecruișării saturate. [18]

Stabilizarea ecruișării are loc datorită unuia din mecanismele următoare sau a lor combinației dintre ele :

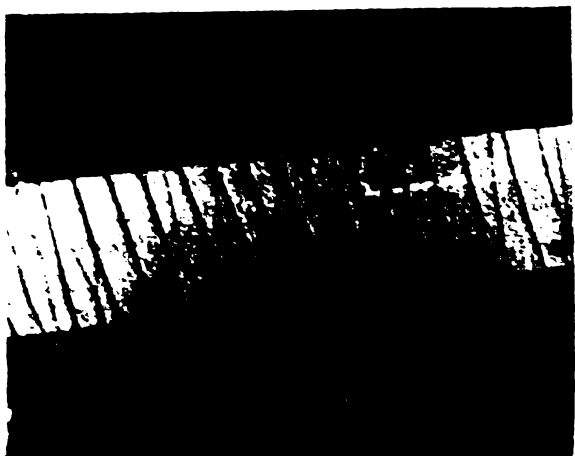


Figura 1.4



Figura 1.5

- obstacolele din calca mișcării dislocațiilor sunt îndepărtațe cu o viteză egală cu viteza lor de formare,
- începează generarea obstacolelor,
- anihilarea dislocațiilor prin combinarea lor,
- nu se mai generază noi dislocații, deformarea plastică se produce pe seama mișcării de date-vino a dislocațiilor existente.

Continuarea solicitării repetate face ca structura de mozaic să devină mai pronunțată, dispar limitele structurii de mozaic și se intră în al treilea stadiu - exemplu pentru aluminiu - al ecruișirii linte până la rușere.

În raport cu mărimea solicitării (amplitudinea deformației) structura de mozaic prezintă subgrupuri mai mari și subgrupuri mai puțin pronunțate alcătuite din bucle de dislocație alungite, ultimale născute la solicitări de amplitudine mică. La amplitudini de solicitare suficient de mici se poate ca dislocațiile să nu se mai aranjeze într-o structură de mozaic ci într-o zonă cu dislocații dense neorientate. Figura 1.6. prezintă dislocațiile unui oțel deformat prin roluire și așezate ne regulat în plane de alunecare.

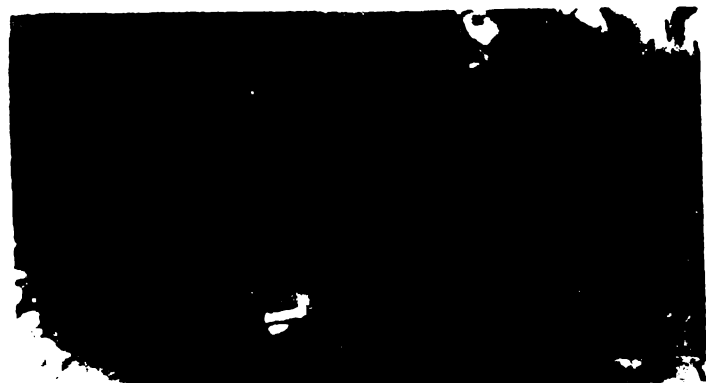


Figura 1.6.

În metale policristaline, experiențele au arătat că la curba de ecruișare prin deformării repetate se deosebesc tot două stadii : un stadiu al ecruișirii rapide urmat de un stadiu de ecruișare saturată. De asemenea structura de mozaic este caracteristică ecruișirii la solicitări de amplitudine mare, iar structura cu zone dense de dislocații neorientate se associază ecruișirii la amplitudini de solicitare mici. Mechanismul de ecruișare la monocristale și policristale arată că limitele grăunților joacă un rol secundar.

### 1.3. MECANISMUL ECRUIȘIRII

În timpul ecruișirii atât la monocristale cât și la policristale în toată masa metalului au loc fenomene puternic localizate care se manifestă prin apariția pe suprafața metalului a unor urme că configurația unor benzi de alunecare. Astfel de benzi sunt evidențiate în figura 1.7. pentru un oțel deformat 20% la tracțiune - mirirea imaginii de 42.000 ori. Aceste benzi de alunecare determină pe suprafața metalului o topografie caracteristică formată din lăcătu proeminent de înălțime  $10^{-7}$  cm. [29]



Figura 1.7.



Figura 1.8

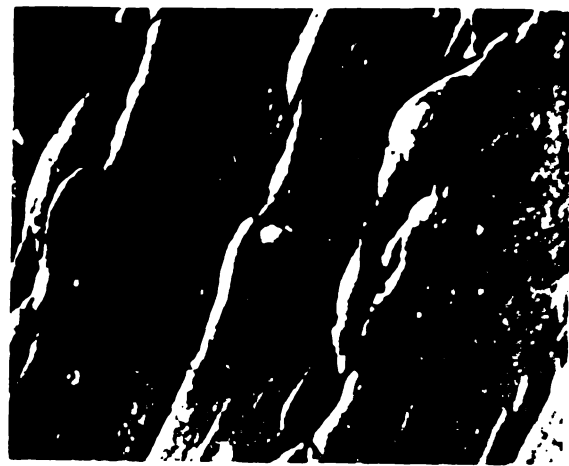


Figura 1.9

Distanța dintre benzile de alunecare descrește odată cu nărirea intensității solicitării. Apariția benzilor de alunecare corespunde sfirșitului primului stadiu de ecruișare atât pentru monocristale cât și pentru policristale.

Observarea la microscopul electronic a benzilor de alunecare a evidențiat prezența unor erupții de metal sub formă de folii subțiri numite extruzioni.

In figura 1.3 se prezintă extruzioni în benzile de lumenecare ale aluminiului. De asemenea, în benzile de lumenecare se observă prezența unor amincituri numite intruzioni arătate în figura 1.9. [29]

Din punctul de vedere al teoriei dislocațiilor formarea intruziunilor și a extruziunilor se interprează prin mecanismul de alunecare transversală - consecință a schimbării planului de alunecare în care se mișcă dislocațiile elicoide. Dintre un plan paralel direcției de alunecare, dislocațiile trec într-un alt plan paralel prin intermediul unui plan transversal mai puțin favorabil alunecării. Acest mecanism poate explica stabilitatea topografiei suprafeței metalului.

Topografia benzilor de alunecare stabilită în primele cicluri de solicitare se dezvoltă în continuare în fisuri sub acțiunea solicitărilor repetitive. Intruziunile pot fi considerate ca un stadiu de incipientă a fisurii.

Figura 1.10 reprezintă vederea unei eprive de direcția de lumenecare verticală în planul fotografiei nărită de 7 ori care vine să ilustreze ideea mulcerii fisurii de oboseală.

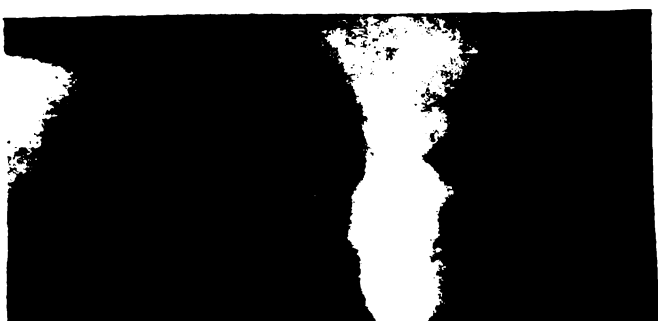


Figura 1.10

Mecanismul incipientei fisurii nu este suficient cunoscut. Rolul precis de mijcure al dislocațiilor pentru a determina dezvoltarea bidimensională a fisurii nu a fost încă stabilit. Pentru explicarea nucleerii fisurilor de oboseală au fost propuse mai multe mecanisme bazate pe dinamica dislocațiilor care explicit aminte aspecte legate de nucleerea fisurilor dar nu rezolvă problemă totalitar.

#### **1.4. PROPAGAREA FISURII**

În numeroase cercetări făcute în domeniul fisurării la oboseală a metalelor nu precisat că în procesul propagării fisurii se pot distinge două etape indiferent de tipul solicitării.

În etapa I-a are loc amplificarea procesului de nucleare. Fisura se dezvoltă în benzile de alunecare situate în planul în care acțiunea tensiunăi tangențiale maximă. Fisura se orientează la aproximativ  $45^\circ$  față de direcția tensiunii principale maxime. Mecanismul de propagare din etapa I-a se presupune că ar consta dintr-o continuă reinitiere a fisurii în benzile de alunecare prin alunecările lor transversale cauzate de mișcarea dislocațiilor eliptice.

În etapa a 2-a fisura se propagă după o direcție perpendiculară pe direcția tensiunii maxime urmând de preferință linia de delimitare a subgraniților structurii de roznic rezultată din fazele anterioare de degradare. Saturitatea concentrării triaxiale a tensiunilor în vîrful fisurii se formează o enclavă deformații plastică.

Prin deformării repetate, în echivă, are loc procesul formării unor striații cu caracter fragil sau ductil. Propagarea și formarea striațiilor în acest stadiu se produce prin rotunjirea vîrfului fisurii prin deformări elastică. Se acceptă



Figura 1.11.

În prezent că fiecare striație corespunde unui ciclu de solicitare astfel că formarea unei striații se consideră suficientă pentru înțelegerea întregii etape a 2-a. Figura 1.11 arată aspectul striaționilor circulare la o epruvetă plană, cu nervuri sudate din opal normal ruptă prin obosale sub efort axial.<sup>[2]</sup>

Mecanismul ecrasicării prin deformării repetate este operant în enclava plastică. Asupra duratei celor două etape studiile experimentale au arătat că raportul lor descorește odată cu sporirea intensității solicitării ceea ce va fi arătat la paragraful 4.3.

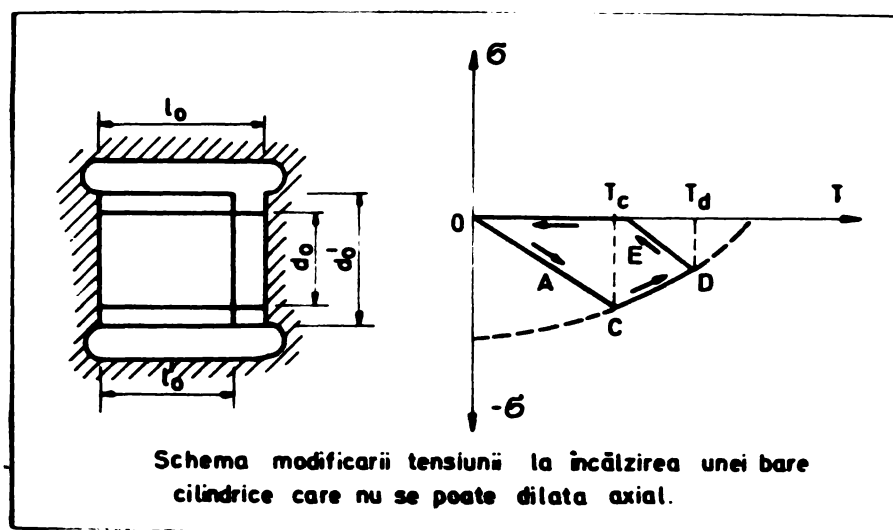
## II. TENSIUNI REMANENTE IN PIESE DIN OTEL

### 2.1. PROVENIENTA TENSIUNILOR REMANENTE

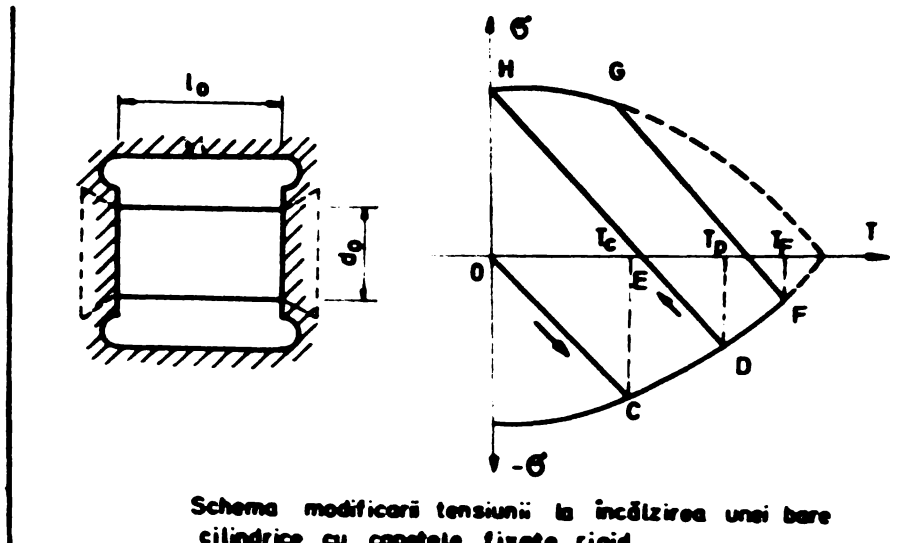
Sistemul tensiunilor existente într-o piesă atunci cînd aceasta nu este solicitată din exterior constituie ansamblul tensiunilor remanente. Ele se nasc ori de cîte ori piesa suferă deformații plastice neuniforme.

Una din principalele surse de tensiuni remanente îl constituie variația de temperatură. Deoarece temperatura se distribuie uniform ( sau liniar ) variația temperaturii ( la încălzire ori răcire ) nu are consecințe de mărime tensională. În cazul contrar în piesă iau naștere tensiuni provizorii care pot depăși limita de curgere a materialului și la răcire piesa conține tensiuni remanente.

In figura 2.1. și figura 2.2. este ilustrat modul de dezvoltare a tensiunilor provizorii și respectiv a tensiunilor remanente ca urmare a variației temperaturii. [37]

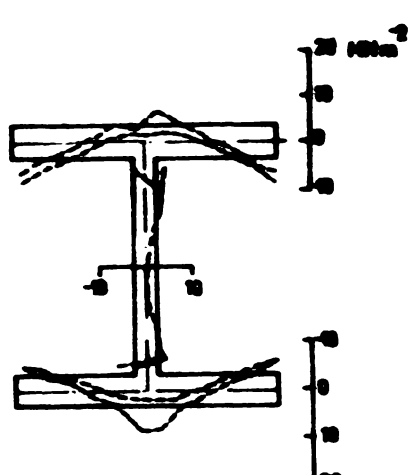


**Figura 2.1.**

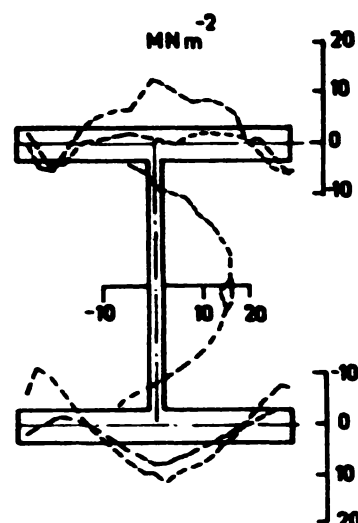


**Figura 2.2.**

rezultate în urmă unui proces de deformare plastică în condiții de repartiție neuniformă a temperaturii, (între perioferie și partea centrală) sortimentul laminatelor metalice se obține cu tensiuni remanente a căror spectru este valoric foarte variat și ascendent sau aluri pentru același profil. Determinările experimentale prezentate în figurile 2.3. - 2.6. vin să confirme acestă asemănare pentru un laminat cu dimensiuni comparabile. Figura 2.7. arată că valorile tensiunilor reziduale sunt diferite chiar în secțiunile același bare. Tehnologia de laminare și viteza de răcire sunt principaliii factori de care depind valorile tensiunilor remanente ale laminatelor. [6],[7],[11],[23],[38]

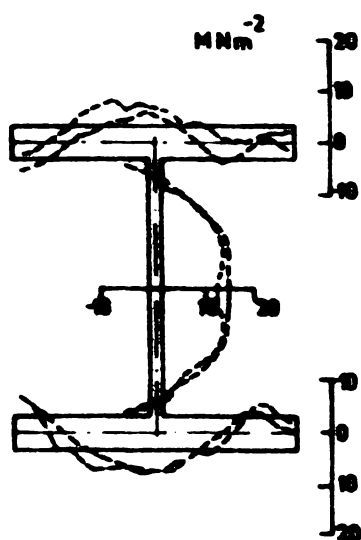


TENSIUNI REMANENTE DE LA LAMINARE LA PROFILUL W2x151 Anglia



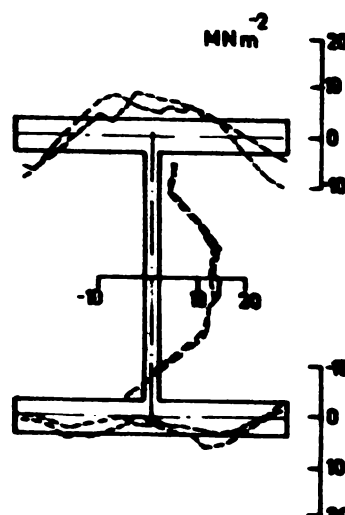
TENSIUNI REMANENTE DE LA LAMINARE LA PROFILUL HEM 340 Belgia.

**Figura 2.3.**



TENSIUNI REMANENTE DE LA LAMINARE LA PROFILUL HEM 340 Germania

**Figura 2.4.**



TENSIUNI REMANENTE DE LA LAMINARE LA PROFILUL HEM 340 Italia.

**Figura 2.5.**

**Figura 2.6.**

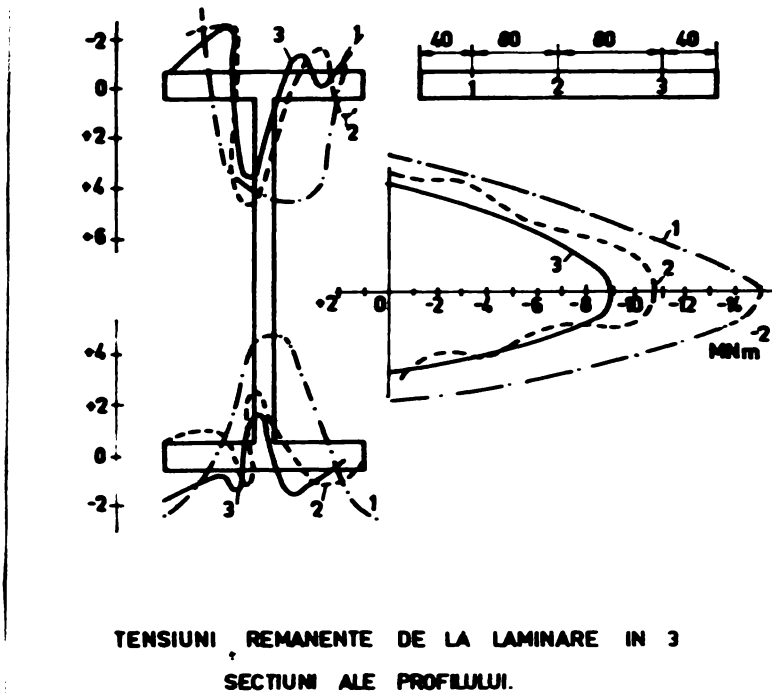


Figura 2.7.

### 2.2. TENSIUNI REMANENTE IN PROCESUL SUDARII.

Procesul sudării concentrează în volum mici o mare cantitate de căldură cu un gradient de încălzire ca și de răcire foarte ridicat. Pe o lărgime variabilă funcție de procedeul și regimul de sudare se extinde zona influenței termice a arcului ilustrată simplificat în figura 2.8. [22]

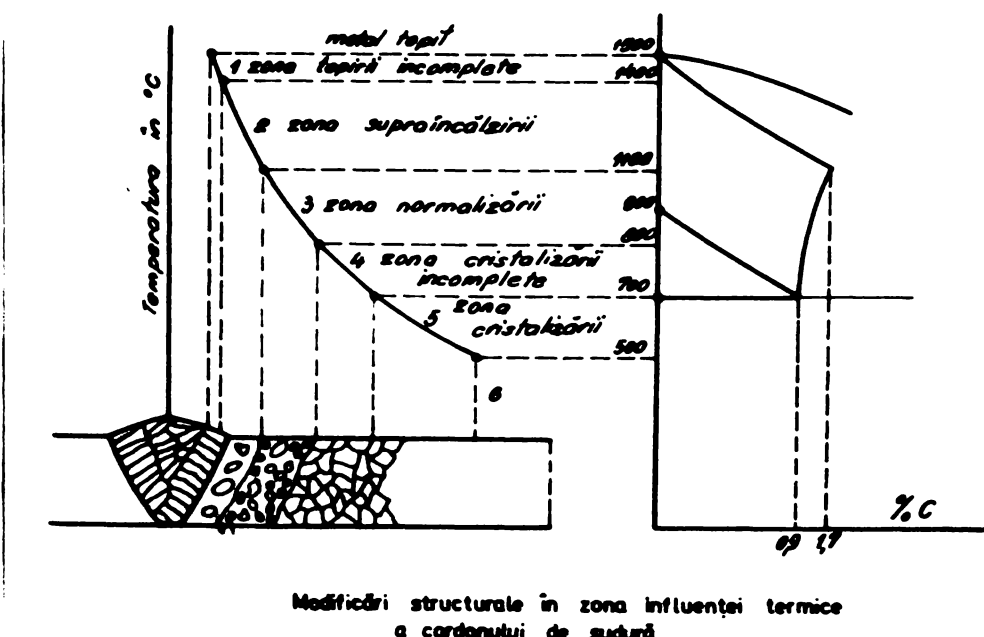


Figura 2.8.

Piciorul sector li este caracteristic un anumit ciclu de temperatură, diferit de al sectoarelor vecine ceea ce conduce la formării cristaline cu parametrii de rețea și volum

specific diferenții. În otelurile cu procent redus de carbon îndulcirea care depășește punctele A<sub>1</sub> și A<sub>3</sub> ale diagramei Fe - C (peste 600°C), are loc transferarea fazului legată de micșorarea volumului, figura 2.9. În timpul răciri, la transformarea fazului reciprocă, martensită - austenită (la aceeași temperatură) încă rămasă tensiunile remanente. La acestea se adaugă tensiunile remanente rezultate din acumularea hidrogenului în golurile interioare cordonului (ca urmare a modificării solubilității hidrogenului în cursul răciri iumătării) [8]

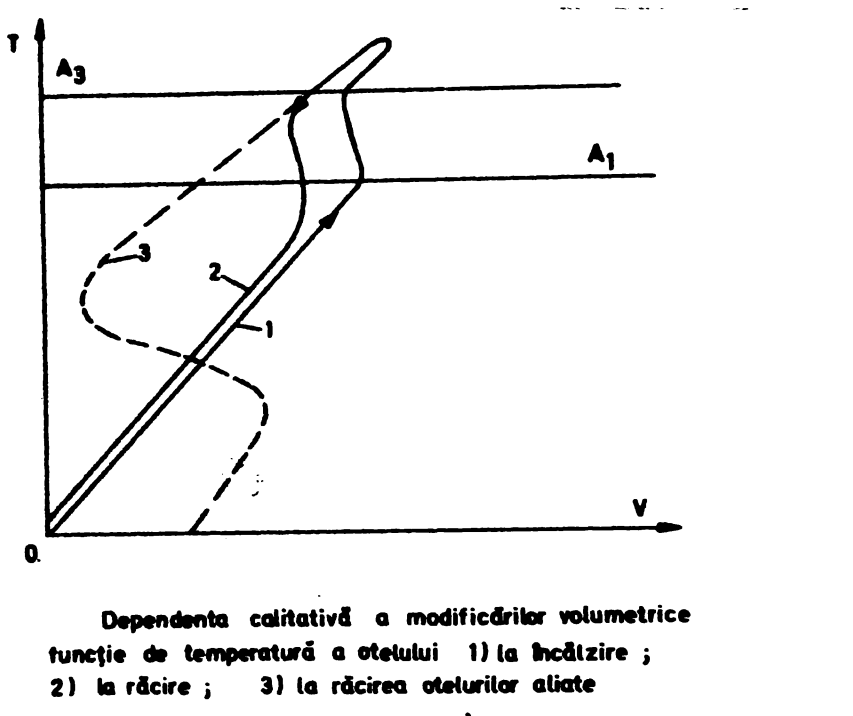


Figura 2.9.

Rigiditatea pieselor care se întină prin sudare face imposibilă dilatarea liberă a pieselor și a materialului depus. Intervallul plastic consumă local deformările cauzate de temperatură, care la răcire nu mai pot fi eliberate. Tendința de revenire la forma inițială se concretizează în tensiuni remanente echilibrate în ansamblul pieselor sudate.

### 2.3. AJURA TENSIUNILOR REMANENTE ÎN ÎMBINARI SUDATE.

Eputa tensiunilor remanente în piese întinate prin sudare este specifică fiecărui tip de îmbinare. Valorile tensiunilor remanente depind de rigiditatea pieselor, de parametrii termici ai arcului și calității otelului.

Îmbinarea de flanc din figura 2.10 ilustrează diagrama teoretică a tensiunilor remanente, iar figurile 2.11 și 2.12 o confirmă prin determinări experimentale. [35]

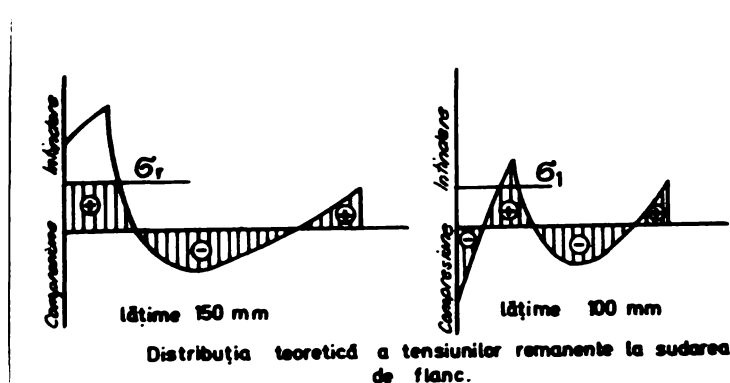


Figura 2.10.

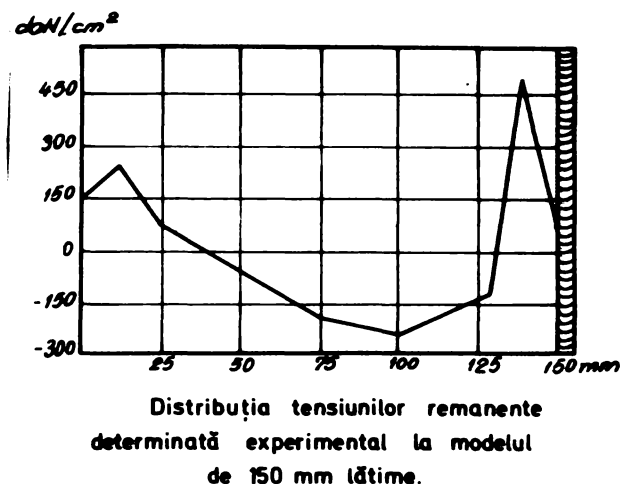


Figura 2.11.

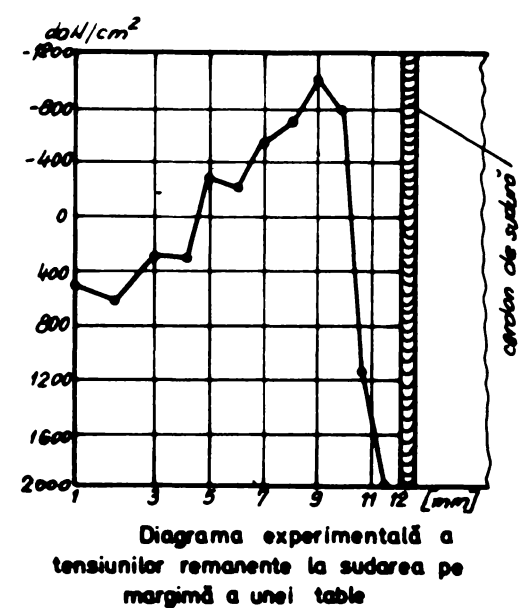


Figura 2.12.

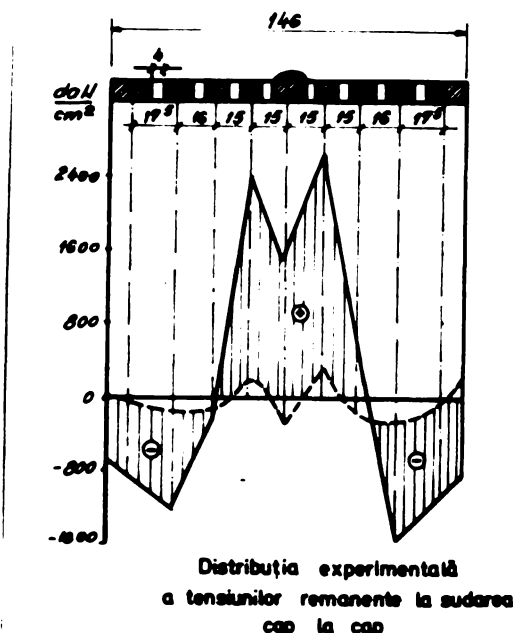


Figura 2.13

Într-o lățime benzii de oțel ( ca parametru al rigidității ) și valoarea tensiunilor remanente se exercită o legătură de interdependență. La o bandă îngustă tensiunile de întindere din axul imbinării sunt mici iar deformările plastice aproape că lipsesc. La lățimi mai mici de 75 mm apar tensiuni de întindere care pot depăși limita de cargere. AJUNAREA LĂȚIMII benzilor deci a rigidității favorizează creșterea deformărilor remanente. La lățimi mai mari de 100 mm factorul rigiditate încearcă să mai exercite o influență esențială.

La imbinarea cap la cap diagrama tensiunilor remanente

presărată tensiuni de întindere în materialul cordonului și în zona influenței termice, iar în zona marginilor – tensiuni de compresiune, figura 2.13.

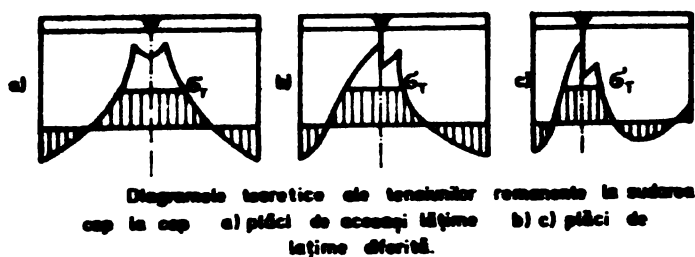


Figura 2.14.

Caracterul general al epurei depinde de raportul lățimilor benzilor, iar valoarea tensiunilor depinde de dimensiunile absolute ale benzilor, cu cît diferență între lățimile benzilor este mai mare cu atât alura epurei tensiunilor remanente din banda înițială lată se apropie de aceea a sudării de flanc, figura 2.14.-

Calitatea otelurilor care se sudează, din punct de vedere al tensiunilor remanente, se poate constata din figura 2.15 în care se prezintă comparativ diagrame de tensiuni radiale (notate cu indicele  $r$ ) și de tensiuni inelare în două discuri din același material și din materiale diferite. [20]

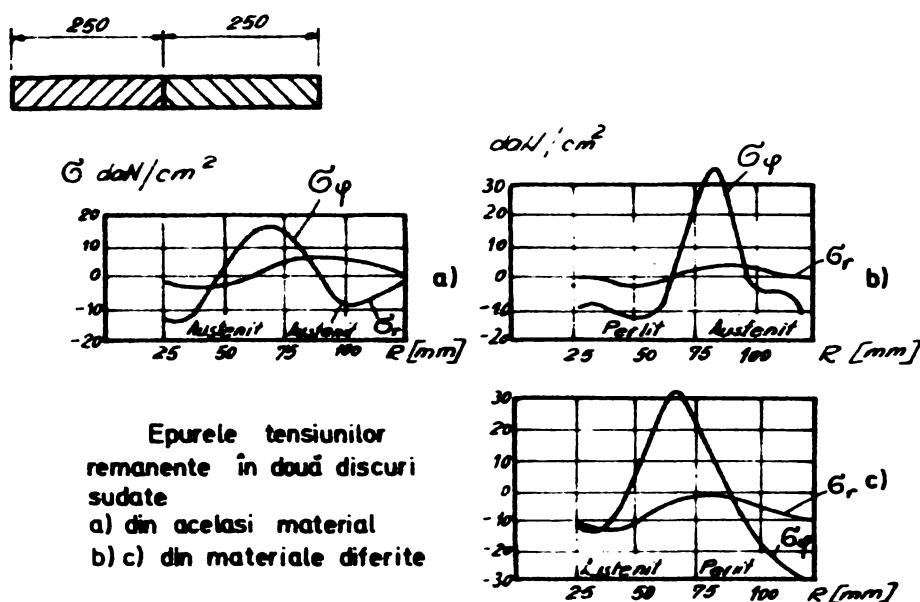


Figura 2.15.

La îmbinăriile cu mai multe depuneri tensiunile reziduale dintr-o depunere anterioară sunt diminuate de nouă depunere care la rândul ei își mărește la rândul ei tensiunile reziduale.-

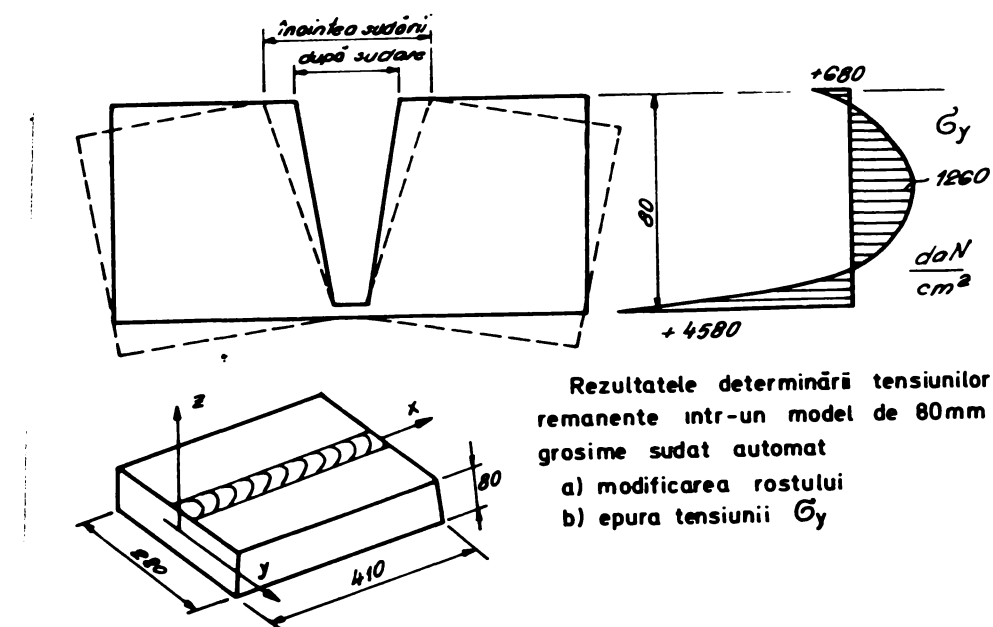
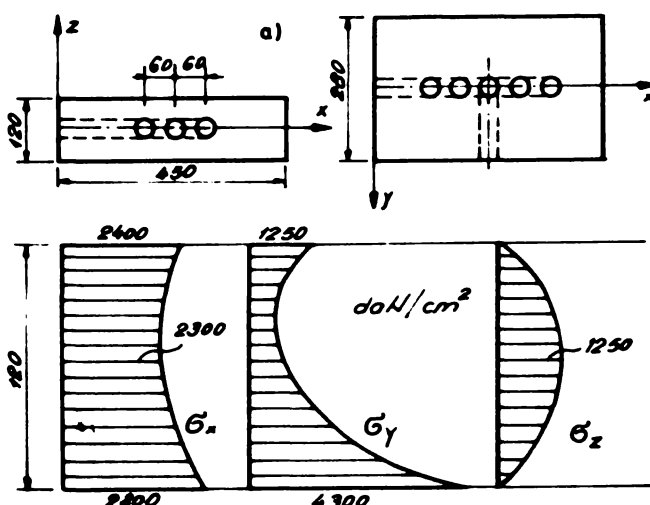


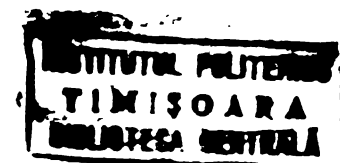
figura 2.16

In figura 2.16 grosimea de 80 mm s-a realizat din 27 de straturi. Tensiunile remanente măsurate la rădăcina cordoanelui depășesc considerabil valoarea limitei de curgere atestând deformarea plastică din această zonă.[37]



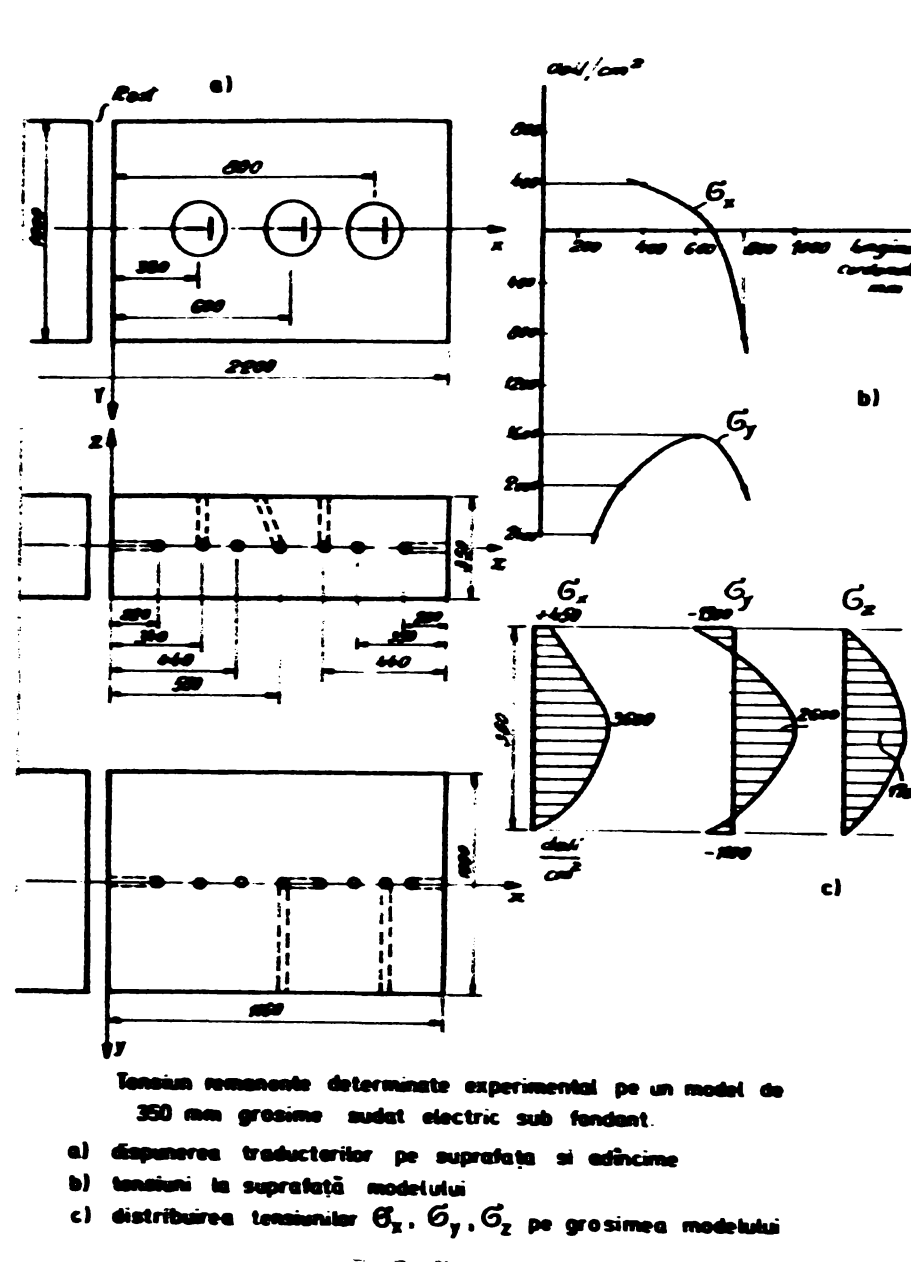
Rezultatele determinării tensiunilor remanente  
 într-un model de 120 mm grosime sudat automat  
 cu mai multe straturi sub fondant.  
 a) Amplasarea traductorilor  
 b) Epura tensiunilor  $\sigma_x$ ,  $\sigma_y$ ,  $\sigma_z$  pe grosime

Figura 2.18



În modelul în grosime de 350 mm ca și în cel de 120mm sudat automat sub fondant figurile 2.17 ; 2.18 , tensiunile rezanante au un caracter mai uniform iar toate cele trei componente sunt de întindere înregistrând valori maxime în partea centrală.[20]

În îmbinarea secțiunilor în formă de I atât din gramei tensiunilor rezanante se evidențiază în figura 2.19. Tensiuniile rezanante ating valori remarcabile în zona îmbinărilor inițiale cu tălpile și au drept consecință curburarea tălpilor și deformarea inițială.[35]



Tensiun rezanante determinate experimental pe un model de 350 mm grosime sudat electric sub fondant.

- a) disperarea traductorilor pe suprafață și adâncime
- b) tensiuni la suprafață modelului
- c) distribuirea tensiunilor  $\sigma_x$ ,  $\sigma_y$ ,  $\sigma_z$  pe grosimea modelului

Figura 2.17

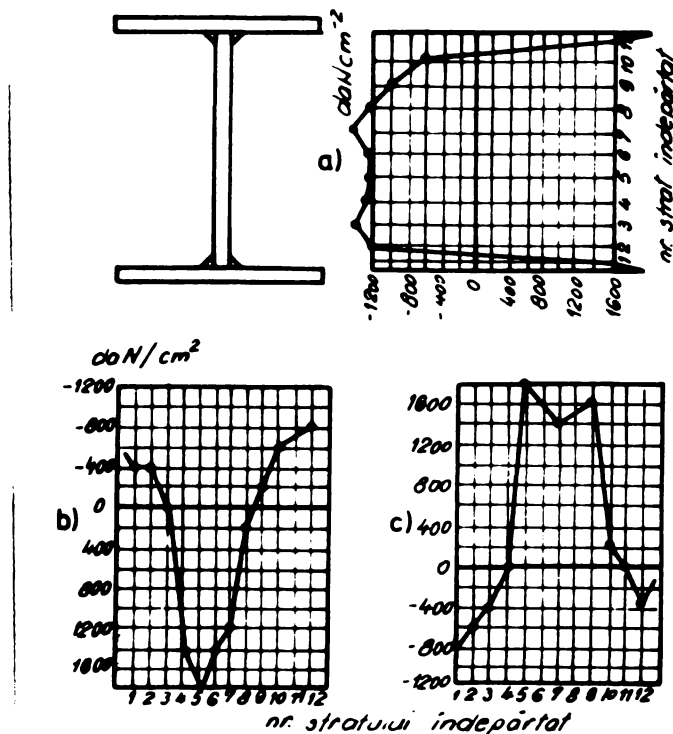


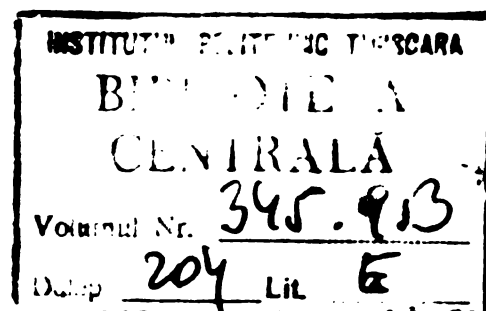
Diagrama experimentală a tensiunilor remanente a) în inimă b) c) în tălpi

Figura 2.19.

#### 2.4. CONCLUZII

- Toate procesele mecano-termice care au ca efect modificări volumetrice nuniforme asupra structurii și formei pieselor din oțel dă naștere la tensiuni remanente.
- Procesul sudării constituie o sură curenț de tensiuni remanente conditionate de factori tehnologici, factori structurali și factori geometrichi.
- Diagrama tensiunilor remanente dintr-o secțiune este specifică ca alură fiecărui tip de îmbinare.
- Tensiunile remanente sunt susceptibile de modificări volumetrice la variația unui larg set de parametri : calitatea materialului pieselor de sudat, regimul termic de sudare, caracteristici geometrice sectionale, tratamente termice.

000



III. EFEKTUL TENSIUNILOR REZIDUALE DIN SUDARE  
ASUPRA RESISTANTEI LA OBOSEALA A PIESELOR  
DIN OTEL

3.1. CONJUCRAREA TENSIUNILOR REMANENTE DIN SUDARE  
CU TENSIUNILE DE SERVICIU

Problemei influenței tensiunilor remanente asupra rezistențelor mecanice a îmbinărilor sudate fi sînt dedicate numeroase cercetări cu caracter teoretic și experimental. O mare experiență referitoare la această temă s-a acumulat în unitățile productive ca și în cele de cercetare. De un vîndit interes se bucură studiul influenței tensiunilor remanente induse prin sudare asupra rezistenței diverselor elemente de construcție de cînd procedeul sudării a devenit cel mai frecvent mijloc de îmbinare a construcțiilor metalice.

In cadrul acestei chestiuni s-au emis două păreri :

- una, care pretinde că tensiunile remanente din sudare nu sunt determinante la distrugerea construcțiilor sudate mai ales cînd ductilitatea metalului este suficientă.
- alta, care susține că suprapunerea tensiunilor din încărcarea activă peste tensiunile remanente conduce la reducerea rezistenței statice, la reducerea rezistenței la oboseală, la diminuarea stabilității, a durabilității și a rezistenței la coroziune a metalelor.

Cea de a doua opinie are cei mai mulți adepti iar luerarea de față i se afiliază.

Valorile ridicate ale tensiunilor remanente din sudare care ating în multe cazuri valorile limitei de surgere își exercită influența asupra rezistențelor îmbinărilor sudate în timpul emploatarii lor. Astfel, în barele întinse, tensiunile din încărcarea exterioară se adună algebric cu cele remanente. Rezultă virfurii tensionale de întindere care uneori chiar la încărcări active mici cauzează surgeri locale al căror efect este redistribuirea generală și nivelarea tensiunilor remanente.

În barele comprimate, efect defavorabil îl au tensiunile reziduale de compresiune care în colaborare cu cele din încărcarea activă vizează stabilitatea generală dar mai ales locală a barei. În ora actuală sînt multe încercări reușite de a se diminua efectele dăunătoare a unor tensiuni remanente și a folosi efectul favorabil al celor de semn contrar care îmbunătățesc condițiile de lucru ale elementului de construcție.

Tensiunile ramanente liniare au efecte mult inferioare tensiunilor din cimpuri tridimensionale asupra rezistenței statice a elementului căci acesta din urmă, împreună cu tensiunile de serviciu pot provoca capotarea elementului înaintea apariției deformărilor plastice. Prezența unui concentrator de tensiuni ramanente prenumărat, plasat transversal pe liniile de scurgere a eforturilor uniaxiale active reduce brusc rezistența statică a imbinărilor sudate.

In domeniul temperaturilor negative rezistența imbinărilor sudate se reduce brusc și substanțial datorită tensiunilor reziduale.

rezistența imbinărilor sudate la încălziri variabile cu concursul tensiunilor reziduale se bucură de un număr mare de concluzii contradictorii datorită complexității și multilateralității fenomenului, patronat de numeroși factori a căror separarea constituie o problemă foarte dificilă.

In ultim vrem se cristalizează părerea asupra influenței marcante a tensiunilor ramanente asupra rezistenței la oboseală a imbinărilor sudate.

Influența tensiunilor reziduale asupra imbinărilor metalice este diferită pentru metale diferite și crește odată cu majorarea fragilității lor. Același spectru de tensiuni ramanente poate avea o influență diferită asupra rezistenței la oboseală în raport cu caracterul tensiunilor active. Concentrarea tensiunilor reziduale în anumite zone poate duce la ecruisarea locală a metalului - fragilisarea lui - astfel încât influențează considerabil rezistența la oboseală a elementului.

### 3.2. MASINA DE INCERCANII LA OBOSEALA

Incercarea de oboseală se face pe o masină concepută ca un pulsator mecanic care oferă două mari avantaje :

- scurgerea clară și lină a eforturilor din încărcarea dinamică - epruveta evind zolul de talpă întinsă a unei grinzi cu săbrele.

- deschiderea în timp scurt a epruvelei de sub sarcina dinamică cecace permite observarea și înregistrarea aspectului epruvelei după anumiti tempi de repetare a încălzirii.

Masina de incercări la oboseală este un pulsator mecanic pentru încărcarea diferitelor tipuri de bare la scara 1 : 1 sub efort axial cu diverse coeficienți de asimetrie.

Pulsatorul se compune din :

- o grinzi cu zăbrele spațiale avind deschiderea de " 20 m. cu configurația din figurile 3.1., 3.2. Panoul central al tălpii inferioare este ocupat întotdeauna de epruveta ce urmărește a fi testată, figura 3.2. Greutatea grinzii este în jur de 50 kN.;
- un generator de pulsări realizat din 4 discuri metalice dispuse excentric pe două axe, figura 3.3., antrenate de două motoare electrice. Pe fiecare disc se pot fixa greutăți adiționale cu scopul de a spori masa excentrică. Deasemenea mărimea excentricității poate fi schimbată. Generatorul mai cuprinde un reductor de viteză și o carcăsă. El cintărește circa 25 kJ. și este fixat deasupra grinzii spațiale ca în figura 3.2. ;
- pe fiecare axă este cuplată cîte o cutie de viteze care permite obținerea a 5 trepte de turăție figura 3.4. Cutia de viteze este inserată între motorul electric și reductor printr-un ax intermediar. În frânu electrohidraulică montată pe axă are menirea de a reduce turăția la zero odată cu întreruperea curentului;
- opritori de înălțime variabili pentru a suporta mașina în fazele de pregătire a experimentului și după cedarea epruvei;
- un panou de comandă echipat cu aparaturi electrice de manevră și control a parametrilor electrici ai rețelei.

În intrerupător automat rupe alimentarea cu energie electrică a motoarelor atunci cînd epruveta (panoul central al tălpii inferioare ) a capotat.

Modul de funcționare al mașinii se explică în calea ce urmărește. Mișcarea de rotație a masei excentrice dă naștere la o forță centrifugă. Intrusit cale două axe se rotesc în sensuri contrare, forța centrifugă a celor patru discuri se insumează numai pe verticală. Dispunerea simetrică a axelor față de mijlocul grinzii face ca o forță perturbatoare de mărimea  $4 m \omega^2$  să sin  $\omega t$  să acționeze la mijlocul grinzii spațiale și să dea naștere la un efort axial variabil în epruvetă. Aici  $m$  este masa unui disc cu greutățile adiționale,  $\omega$  viteza unghiulară de rotație,  $e$  - excentricitatea masei de rotație față de ax. Intrusit echipamentul mecanic al generatorului de pulsări permite variația masei excentrice a vitesei în cinci trepte, rezultă că există posibilități largi de a varia controlat mărimea forței perturbatoare, adică a efortului axial din epruvetă.

Caracteristicile funcționale ale pulsatorului în cadrul

experimentului efectuat au fost :

- viteza excentricilor 200 turc/minut
- frecvența proprie a mașinii 5 Hz
- mărimea efortului dinamic în epruvetă 190 kN
- mărimea efortului static în epruvetă 354 KN
- coeficient de asymetrie mediu circa 0,3



Figurile 3.1.



Figura 3.2.

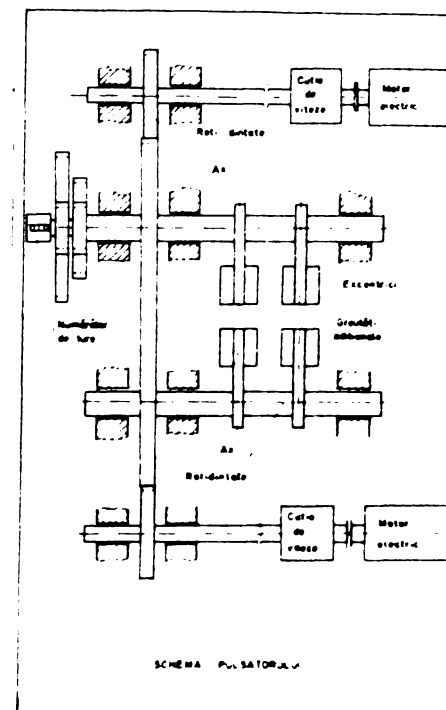


Figura 3.3.



Figura 3.4.



Figura 3.5.

### 3.3. MATERIALE SI DISPOZITIVE

Prezenta lucrare și-a propus să ilustreze pe un exemplu fenomenologic simplu influența marcantă defavorabilă a tensiunilor reziduale din sudare asupra rezistenței la oboseală a oțelului.

Materialul ales pentru experiment este oțelul românesc de marca 0M 37 - 2 %. Acesta este un oțel normal, calmat moderat și folosit frecvent în construcțiile metalice. Epruvetele proiectate din acest oțel sunt cu secțiune variabilă având o zonă de secțiune minimă constantă.

S-au confecționat epruvete în 3 variante :

- epruveta cu 2 nervuri longitudinale sudate în axa epruvetei pe ambele fețe cu 4 cordoane de sudură figura 3.6., 3.7. Această epruvetă are o rigiditate transversală mare - deci un spectru de tensiuni cu valori mai mari,



Figura 3.6.

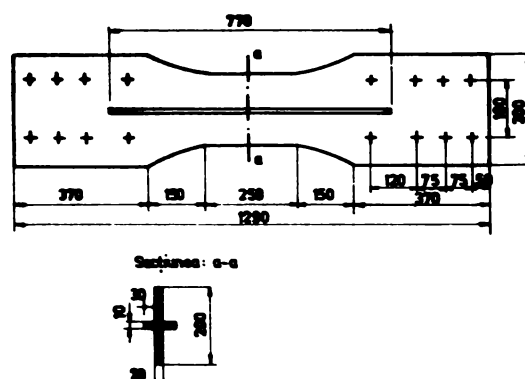


Figura 3.7.

- epruvetă având excutatoare pe fețele principale două cordoane de sudură axial longitudinal figure 3.8. Sub această configurație epruveta are o rigiditate mică în comparație cu prima deci tensiuni

reziduale din sudare de valori mai mici. Pentru această epruvetă se va înregistra o diagramă de tensiuni rezanente mai uniformă.

- epruvetă pentru comparație figura 3.8. Aceasta constă numai într-o placă de secțiune variabilă fără coroane de sudură deci fără tensiuni reziduale din sudare.



Figura 3.8.



Figura 3.9.

Pentru efectuarea coroanelor de sudură s-a folosit electrozi EL 44 și în curenț alternativ.

Încărcarea de serviciu conduce la un efort axial în epruvetă care se repartizează uniform pe secțiunea transversală a epruvetei. Rezultă un spectru de tensiuni neuniforme având virfurile tensionale datorate tensiunilor din sudare. Virfurile tensionale sunt cu atât mai pronunțate cu cât regiditatea epruvei este mai mare.

#### 3.4. APARATE DE INVESTIGARE

- Starea de tensiune s-a determinat prin măsurarea tensometrică a deformărilor, folosind : senzori tip J.I.120 - MIKROMETRA PRAHA , cutie de comutare RFT.STRUGERAT SG.151 TIP 12001. și punte tensometrică RFT.J.IV.ESSELTRICHEJG J.I 111.

Figura 3.10 prezintă ansamblul aparatelor de tensometrie electrică rezistivă.

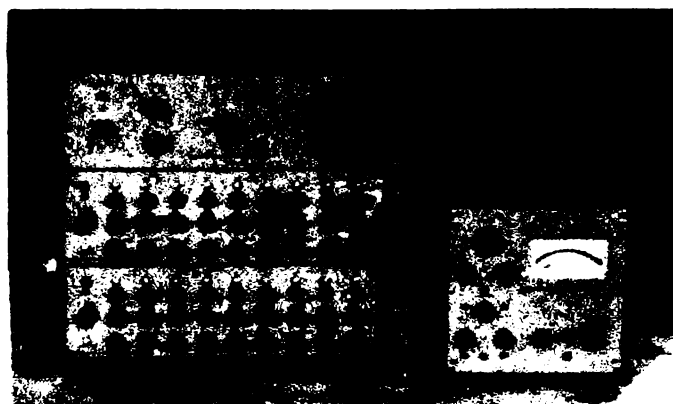


Figura 3.10.

- Adâncimea fisurii s-a măsurat cu aparatul -

RISSTIETEN MESSGERÄT KARL DEUTSCH PROF.UND MESSGERÄT BAU Lehrer Dr.ing. Volker Deutsch. În alcătuirea lui intră, figura 3.11, alimentator încărčitor a) dispozitiv de etalonare b) pupitru de citire c) palpator mobil d) palpator fix și dispozitiv de etalonare.

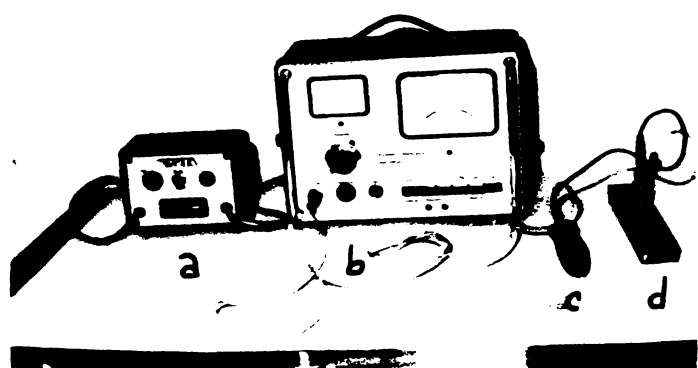


Figura 3.11.

Mecanismul de funcționare al aparatului constă în variația rezistenței curantului electric, proporțional cu adâncimea fisurii.

Între cele două contacte ale palpatorului mobil, există o tensiune electrică. Când palpatorul sprijină contactorii pe cele două margini ale fisurii, are loc închiderea circuitului electric, figura 3.12. Intensitatea curentului electric variază cu rezistență, deci cu adâncimea fisurii. Citirea adâncimii fisurii se face direct în milimetri și zecimi de milimetru.



Figura 3.12.-

### 3.3. DESCRIEREA EXPERIMENTULUI

Se introduce epruveta echipată cu timbre tensometrice în băcurile maginii. Se fixează la unul din capete.

Magina se află în poziție de repaus total - reazemă pe suporti.

Se face echilibrarea timbrelor pentru situația - epruvetă liberă.

Se strâng suruburile care fixează epruveta în băuri și se lasă suportii maginii în jos, astfel ca epruveta să se încarcă static din îndărătirea permanentă.

Se execută la punctea tensometrică citirea deformărilor înregistrate de senzori, pentru situația - încărcare statică  $\hat{E}$ , și se transpun în eforturi unitare  $\hat{G}$ .

Se pornesc motoarele electrice. Acestea antrenescă excentriciile cu o frecvență de 3,67 Hz (mai mică decât frecvența proprie a maginii 5 Hz, evitând fenomenul de rezonanță) și generează o forță verticală cu dublu sens care dă negație, în epruvetă unui efort dinamic care se suprapune ( $\pm$ ) peste cel static.

Se face citirea la puncte pentru tensiunee dinamice positive  $\hat{E} (\hat{G})$  și pentru tensiunee dinamice negative  $\hat{E} (\hat{G})$  la toate timbrele.

Urmează apoi să se facă prelucrarea datelor în vederea obținerii lui  $G_{\text{max.}} = \hat{G}_g + \hat{G}$  și  $G_{\text{min.}} = \hat{G}_g - \hat{G}$ .

$$r = G_{\text{min.}} / G_{\text{max.}}$$

Se lasă magina să funcționeze neintrerupt, supraveghindu-se epruveta și magina.

În apariția fisurii, magina se oprește și se mișcă în diferite locuri, adincindu-se fisurile și extindându-și.

Se rein experimentă. Se întrerupe funcționarea maginii la diferite intervale de timp, făcindu-se măsurători privind adinseala fisurii și lungimea ei la suprafața epruvei.

Po parcursul experimentului se înregistrează pe peliculă aspectul de suprafață al fisurii.

Figura 3.13 arată o epruvetă ruptă situată în magina de încercări la obosale.

După extragerea din magină a celor două bucăți se fixează pe peliculă aspectul secțiunii transversale rupte.

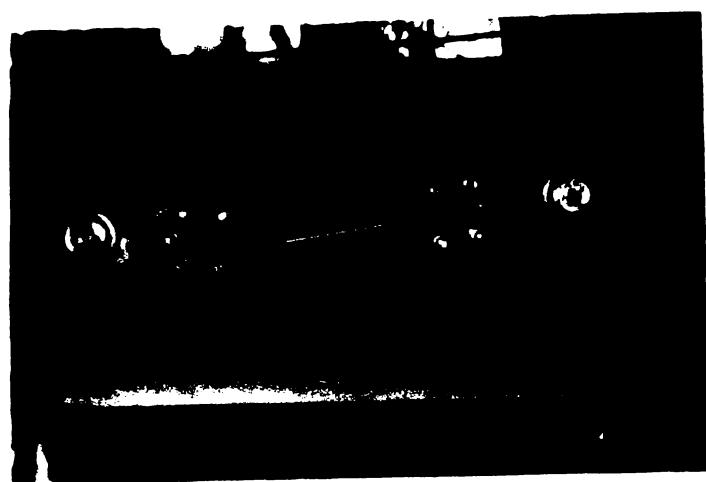


Figura 3.13.

### 3.6. TENSIUNI PREDATORII SI AL SUPERII

Prin fixarea celor două nervuri cu cordoane de sudură se înregistrează în secțiunea transversală o diagramă de tensiuni reziduale ilustrată în figura 3.14. Cum se vede în zonă adiacentă cordoanelor de sudură se găsesc tensiuni reziduale de întindere. Este acestea, care suprapun tensiunile de întindere de serviciu (din încărcarea statică și dinamică) care conduc la eur. nonuniformi de tensiuni pe secțiunea transversală a șprutei.

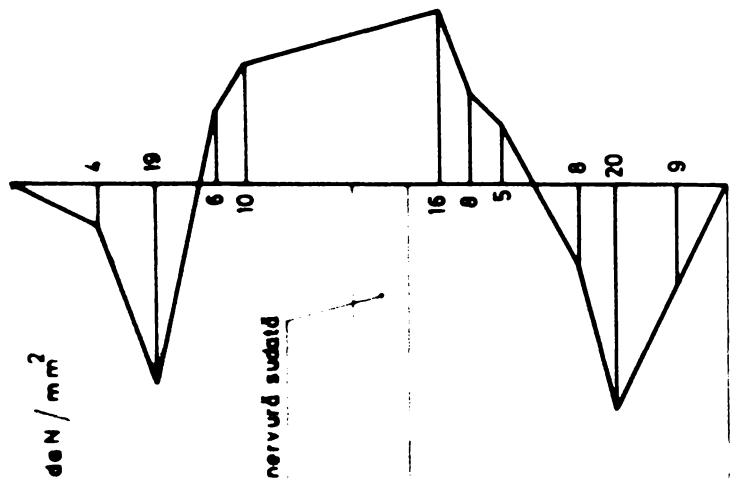


Figura 3.14

Betele fizice, ca fișoară să nuclese și să apără în aceeași cecă ce se confirmă și experimental figura 3.15.



Figura 3.15.

Presarea fizurii la secțiunile transversale conduce la o nouă instanță a eforturilor unitare, întrucât o parte din secțiunea transversală nu mai lucra și efortul ce revine epruvetei rămâne însă, același. Aceasta face ca tensiunile să se schimbe valorile pe secțiunea transversală activ declarată fisura, ea menținând perpendicular pe direcția de scurgere efortului principal. Niciodată nu în următoare o altă fisură, ci se adâncește fisura inițială. La parcursul unui întreg zonă centrală a epruvei unde se găsesc tensiuni de întindere de valori ridicate.

Cind alăturat planului de propagare a fisurii se găsește un defect de structură, fisura se schimbă planul în care se propagă.

Dacă aria secțiunii transversale în lucru se niciporează, extensia superficială și de adâncime a fisurii crește.

În momentul în care aria secțiunii transversale împrejmuită este încărcată efortul unitar atinge limita de curgere și are loc deschiderea fisurii, ca urmare a curgerii interrialului secțiunii care lucrează. Figura 3.16. ilustrează acestă deformare. În figura este însemnat și locul prin secțiunea centrală.



figura 3.16.

### 3.7. Deformări dinamice

Piesă epruvetă expusă încadrinării de aceeași ore o figură care sănătătoare:

- cotele geometrice ale secțiunii transversale;
- disperarea timbrelor tensorométrice;
- tabelul rezultatelor lejerărilor statice și dinamice precum și efectele unitare respective;
- numărul ciclurilor de funcționare pînă la observarea fisurii;

- aspectul secțiunii transversale fisurate la diferite numere de cicluri de funcționare ;
- durabilitatea epruvei exprimată în cicluri.
- variația secțiunii transversale în raport cu numărul ciclurilor de funcționare ;
- viteza globală de propagare a fisurii pe secțiunea transversală ;
- înregistrarea pe peliculă a aspectului secțiunii transversale rupte.

Pentru exemplificare sunt redate paginile acestei fișe pentru epruveta E8/E11 în planșele nr. 3.1.; 3.2. și 3.3.-3.4.

### 3.8. PROBE FOTOCLASTICE ALE TENSIUNILOR RESIDUALE INTRODUCSE LA SJDALE

Ciclul termic la care sunt supuse piesele care se sudă, concentrarea energetică de valoare ridicată pe o arie mică, modificările cristolografice în metalul de bază, și în cel depus conduc la nașterea unui spectru volumic de tensiuni reziduale în ansamblul pieselor sudate. Aceste assertiuni se validează în cale ce urmează pe probe fotoelastice.

În acest scop epruveta metalică din figura 3.6. s-a reprobat la scară 1 : 4 din araldit. Nervurile epruvelelor se fixează pe araldit prin sudare cu aer cald folosind un electrod sintetic figura 3.19. Pentru comparare s-au confectionat și epruve din araldit cu nervurile fixate prin lipire figura 3.20.



Figura 3.19

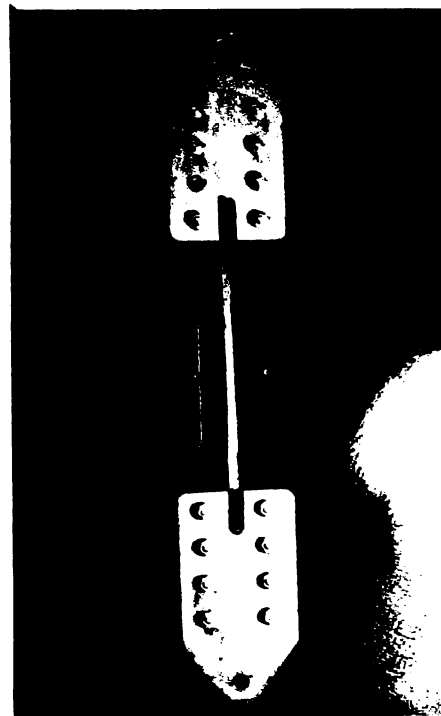
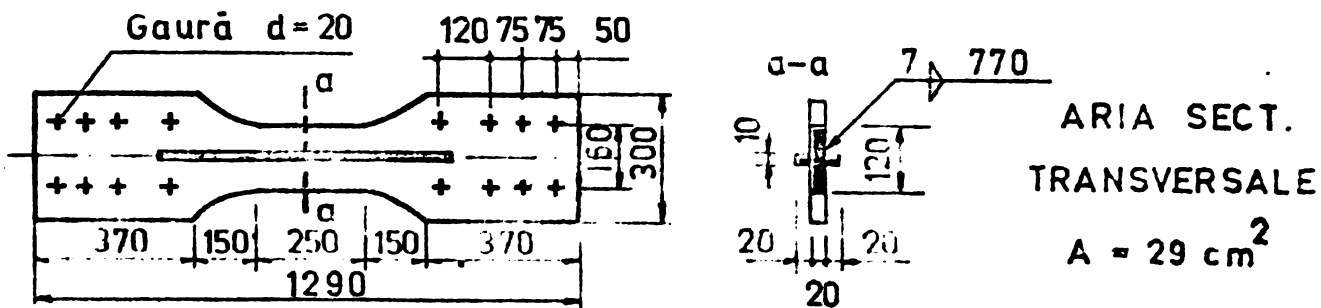


Figura 3.20.

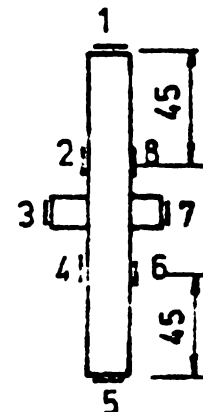
INCERCAREA LA OBOSEALA  
SUB EFORT AXIAL A EPRUVETEI E 8

1. FORMA SI DIMENSIUNILE EPRUVETEI



2. MĂSURAREA TENSOMETRICĂ A EFORTURILOR UNITARE  $\text{daN/cm}^2$

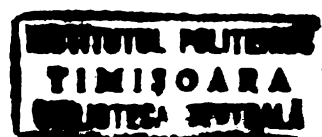
NATURA EFORTULUI	TIMBRUL								N.R.	DISPUNEREA TIMBRELOR
	1	2	3	4	5	6	7	8		
STATIC	$\hat{\epsilon}$	595	590	550	600	555	575		590	
	$\sigma$	1250	1240	1165	1260	1170	1210		1240	
DINAMIC	$\hat{\epsilon}$	310	310	300	325	305	310		310	
	$\hat{\sigma}$	655	655	635	680	640	655		655	
	$\underline{\epsilon}$	310	310	300	325	305	310		310	
	$\underline{\sigma}$	655	655	635	680	640	655		655	
$\sigma_{\text{minim}}$		595	595	530	580	530	555		565	
$\sigma_{\text{maxim}}$		1905	1895	1800	1940	1810	1855		1895	
Coef. asimetrie $r = \sigma_{\text{min}} / \sigma_{\text{max}}$		0,312	0,314	0,295	0,295	0,293	0,297		0,298	$r_{\text{med}} = 0,3$



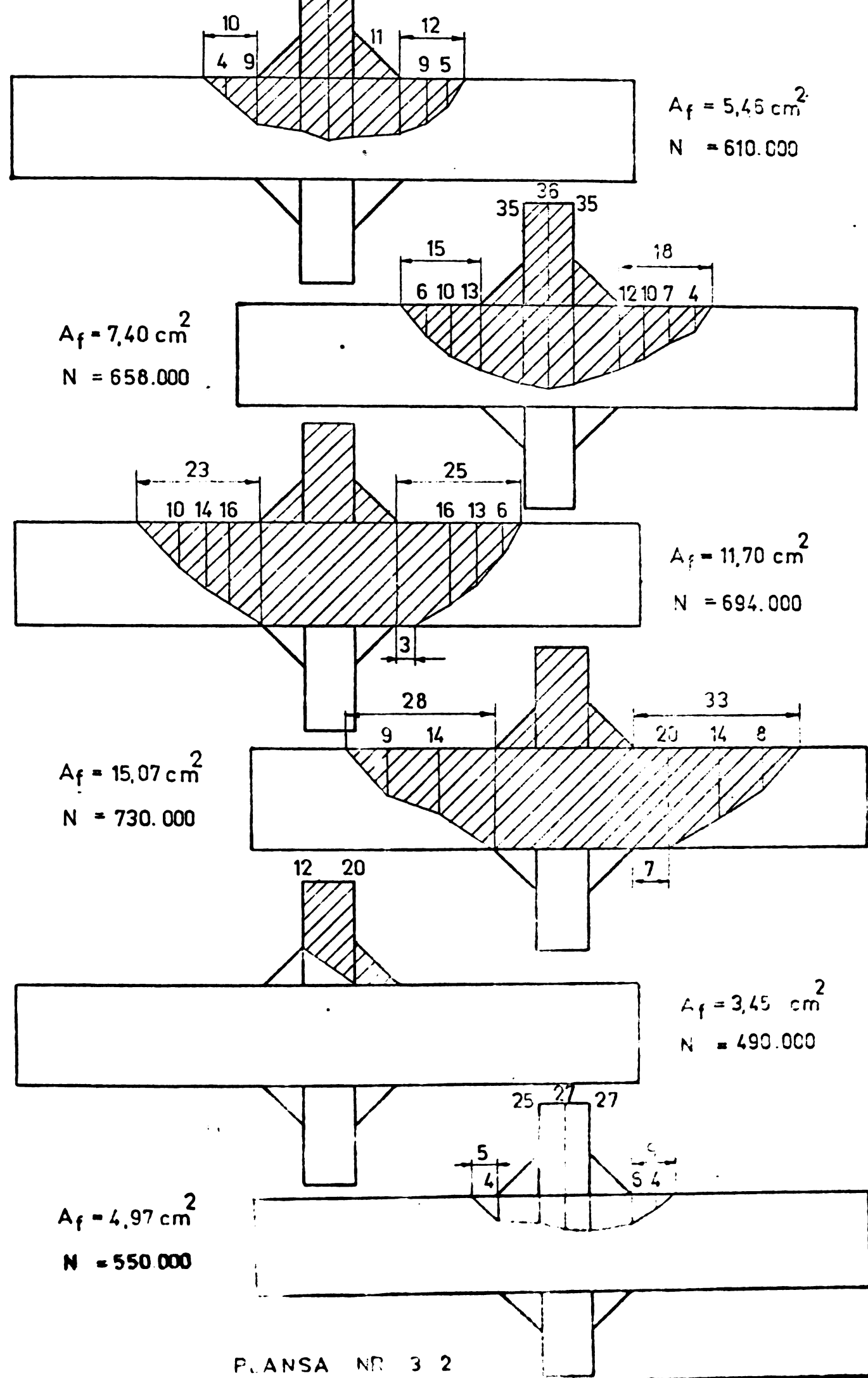
3. APARATURA PENTRU TENSOMETRIE

- a. timbre tensometrice : tip SM 120 - MIKROTECHNA PRAHA
- b. cutie de comutare RFT STEUERGERAT SG 151 TIP 12001
- c. punte : RFT UNIVERSALMESSEINRICHTUNG UM 111

PLA . S . 4 . P . 3 . 1

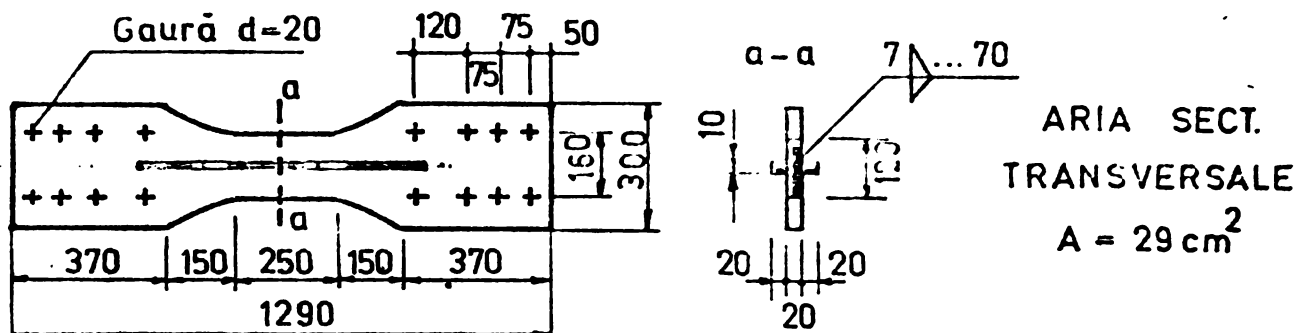


30  
EVOLUTIA ARIE SECTIUNII TRANSVERSALE FISURATE LA EPRUVETA E 8.



INCERCAREA LA OBOSEALA  
SUB EFORT AXIAL A EPRUVETEI E11

1. FORMA SI DIMENSIUNILE EPRUVETEI



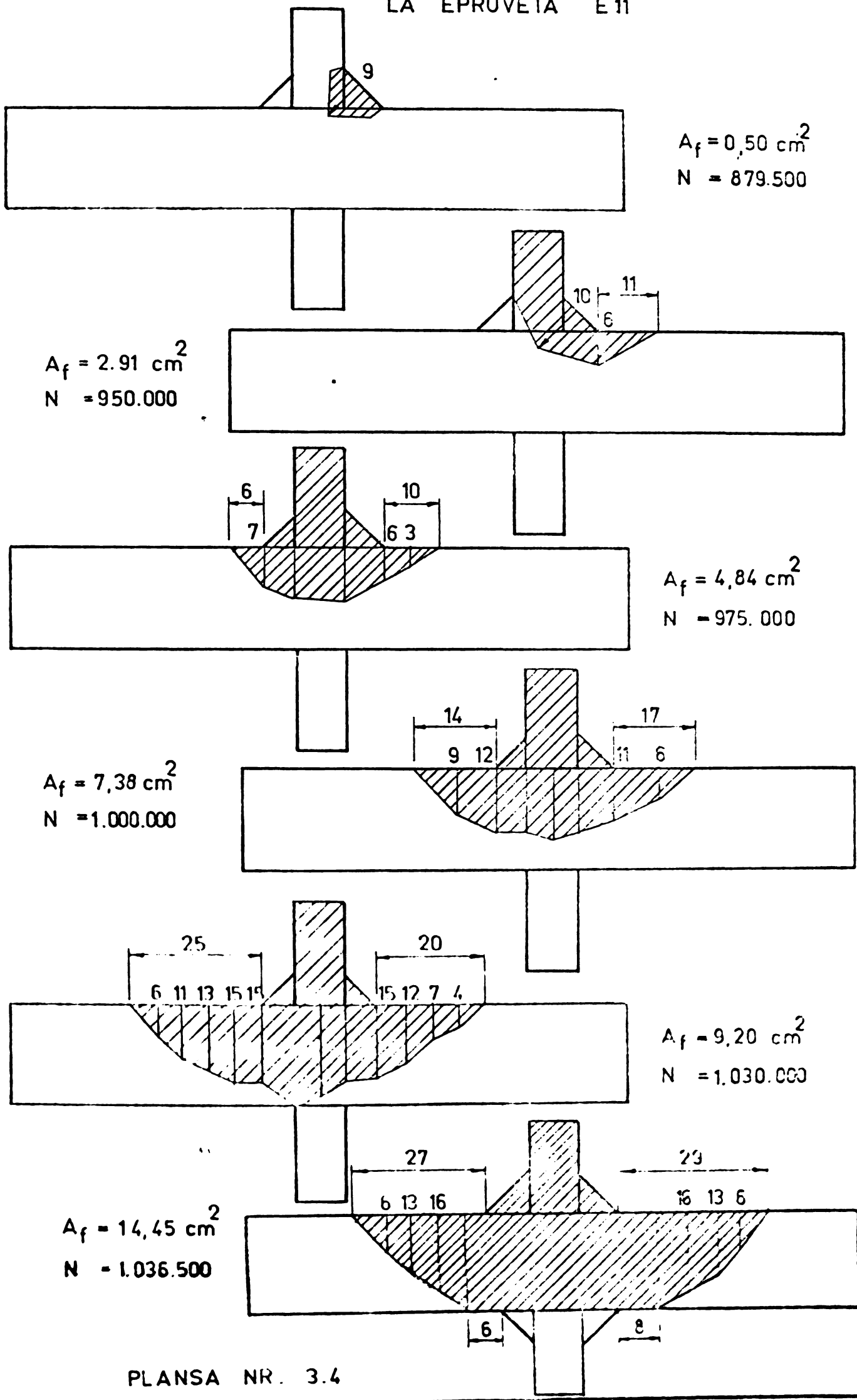
2. MĂSURAREA TENSOMETRICĂ A EFORTURILOR UNITARE  $\text{daN/cm}^2$

NATURA EFORTULUI		T	I	M	B	R	U	L	N.R.	DISPUNEREA TIMBRELOR
		1	2	3	4	5	6	7	8	
STATIC	$\epsilon$	600	575	545	N	590	590	550	580	
	$\sigma$	1260	1210	1150	U	1240	1240	1160	1220	
DINAMIC	$\hat{\epsilon}$	325	320	320		310	325	305	315	
	$\hat{\sigma}$	680	670	670	A	655	680	640	660	
	$\underline{\epsilon}$	325	320	320		310	325	305	315	
	$\underline{\sigma}$	680	670	670	L	655	680	640	660	
	$\sigma_{\text{min}}$	580	540	480	U	595	560	520	560	
$\sigma_{\text{max}}$		1940	1880	1820	L	1895	1920	1800	1890	$r_{\text{med}} = 0,3$
Coef. asimetrie $r = \sigma_{\text{min}} / \sigma_{\text{max}}$		0,295	0,287	0,267	R	0,314	0,292	0,289	0,296	
					A					
					T					

3. CARACTERISTICI MECANICE

- a. frecvență . . . . .  $n = 200$  cicli/minut
- b. durabilitate . . . . .  $N = 1039.000$  cicli
- c. frecvență proprie a mașinii . . . .  $n_0 = 400$  cicli/minut

32  
EVOLUTIA ARIEI SECTIUNII TRANSVERSALE FISURATE  
LA EPRUVETA E 11



Fiecare epruvetă a fost incărcată cu o forță statică axială, a cărui mărime poate fi variată cu gradientul de 30 daN/treapta de încărcare, cu ajutorul dispozitivului din figura 3.21. Acest dispozitiv permite amplificarea încărcării de pe tija din stangă cu raportul brațelor pînghicii, raport egal cu 6. Epruveta în stare de solicitare se află în cîmpul de lumeni polarizată a fotoelasticimetrului. Se înregistrează fotografic aspectul epruvei.

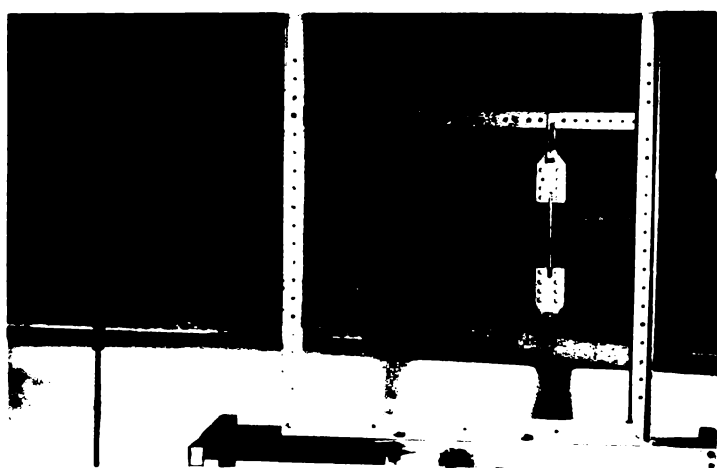


Figura 3.21

Figurile 3.22- 3.24 permit compararea la treapta de încărcare zero a epruvei A (cu nervuri lipite) cu epruvele B, (cu nervuri sudate). Îltiilele epruve înregistrează tensiunile remanente introduse la sudare în zona centrală prin cele două izostatice dispuse averse electric față de axa longitudinală a epruvei.

- S-a confectionat două serii de epruve cu nervuri sudate :
- seria B la care nervurile au fost sudate cu aer cald la  $120^{\circ}$  C.
  - seria C la care nervurile au fost sudate cu aer cald la  $150^{\circ}$  C.

În stare de neîncărcare se observă calitățile pe cele două epruve din figurile 3.23 și 3.24 la căea diferență a zonei influențată totale proporțională cu temperatura arcului de sudare.

Determinarea diagramelor tensiunilor remanente din epruveta tip B s-a tracat prin procedoul similarității. Astfel s-a întâlnit treptat epruveta de tip A, urmăndu -se ordinea de apariție a izostaticelor. Apoi au fost identificate izostaticele din epruveta tip A și s-a tracat eprava tensiunilor rezultante înregistrată. În figura 3.25.-

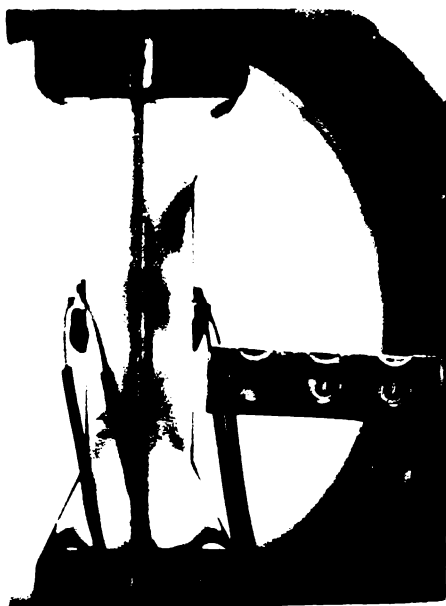


Figura 3.22



Figura 3.23



Figura 3.24

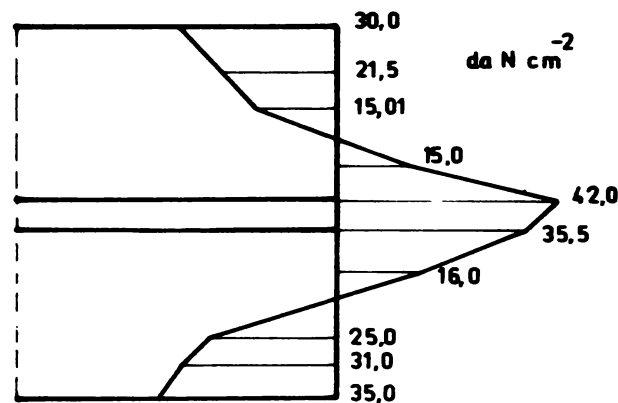


Figura 3.25

La încărcarea axială, de 100 daN a fiecărui epruvetă aspectul calitativ al fenomenului tensiunilor rământe se păstrează așa cum o dovedește figurile 3.26 - 3.28.-

Obiectivul urmărit este conlucrarea tensiunilor reziduale cu tensiunile de serviciu. De aceea s-a efectuat înregistrarea aspectului epruvetei tip B la fiecare treaptă de încărcare ilustrat prin figurile 3.29 + 3.36. Prin schimbarea locului în imagine a celor două izostatice din sudare paralele cu axa în figurile 3.29 - 3.33 și apoi prin modificarea aspectului lor în figurile 3.34 - 3.36 se confirmă calitativ cooperarea celor două feluri de tensiuni.

Figurile 3.37 - 3.39 ilustrează conlucrarea tensiunilor pentru epruveta tip C cu o diagramă de tensiuni reziduale mai puțin pronunțate.-

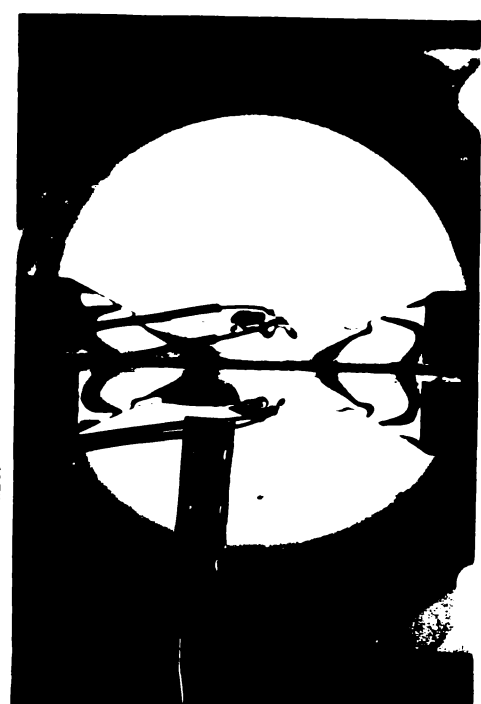


Figura 3.26



Figura 3.27

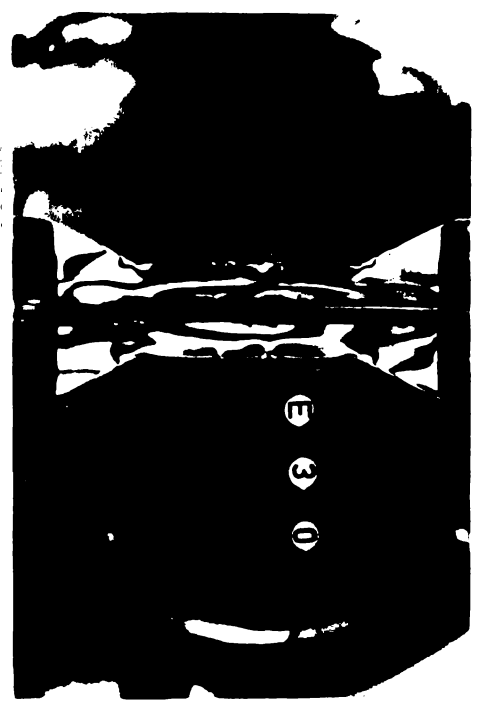


Figura 3.28



Figura 3.29

Pentru a stabili fidelitatea antoânatului -valabilitatea de măsură rezultă a eforturilor unitare, ecravotele au fost echidistante cu timbre tangențiale tip S.F. 120,  $\lambda = 1,0$ . Microtecnica Brum. Concomitent cu urmărirea izostaticelor s-a efectuat determinarea tensiunilor a eforturilor unitare prin intermedial mai puțin ... ... 111.

În extras din aceste măsurători îl constituie tabelul 3.1.-

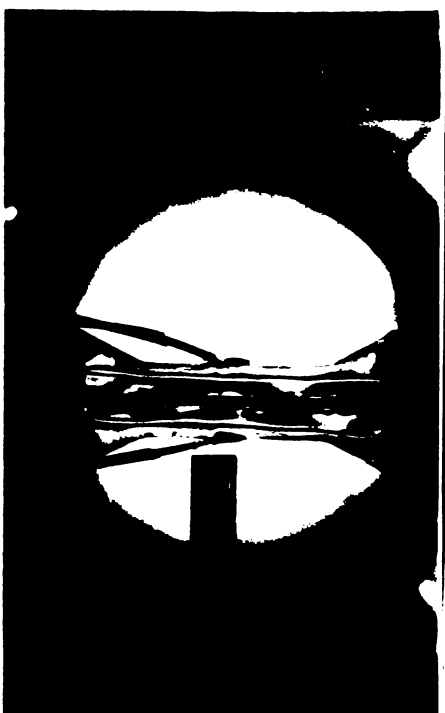


Figura 3.30



Figura 3.31

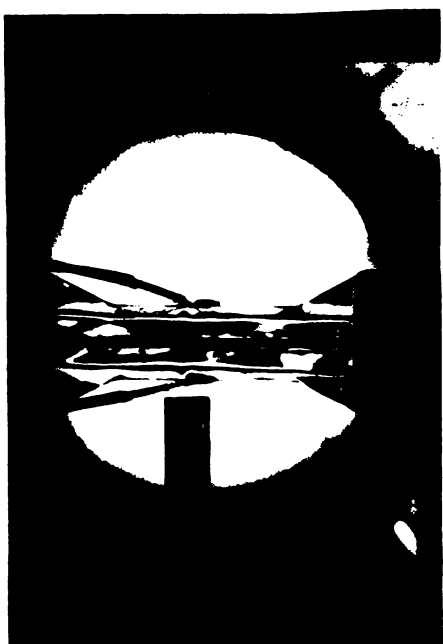


Figura 3.32.



Figura 3.33

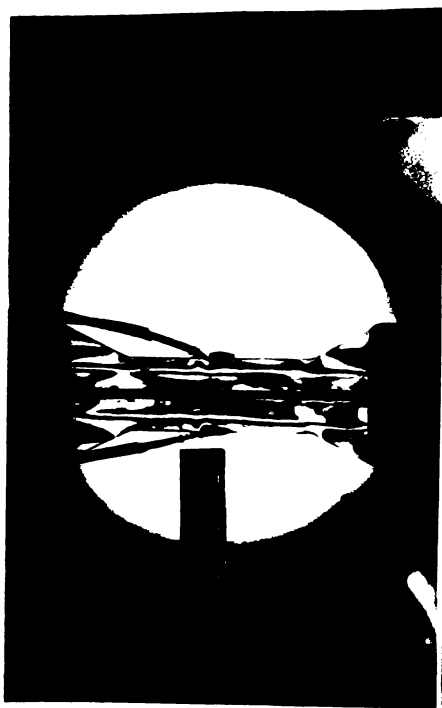


Figura 3.34



Figura 3.35.

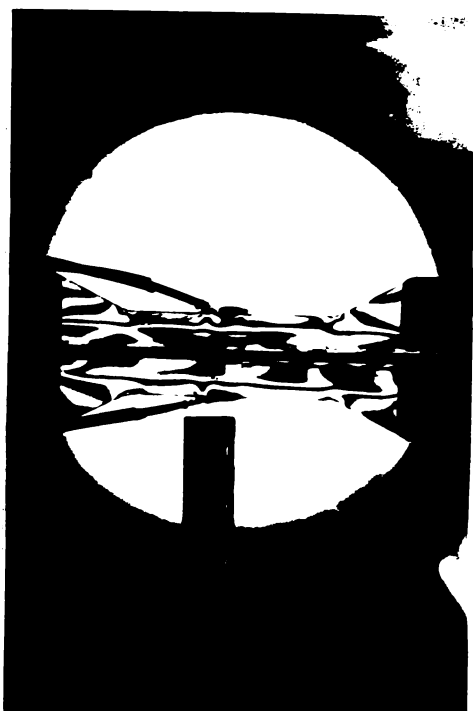


Figura 3.36

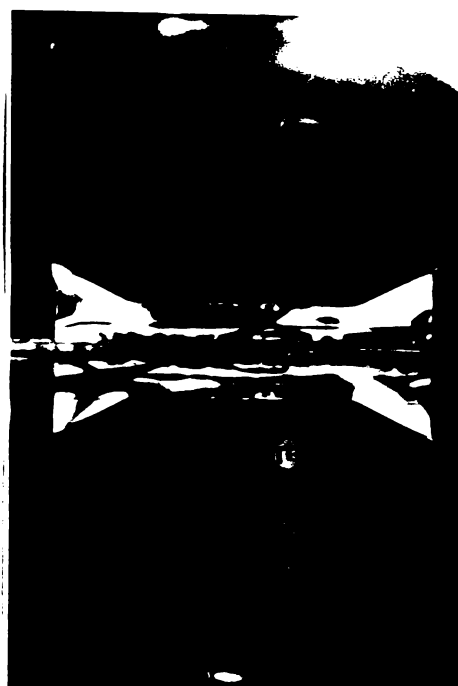


Figura 3.37

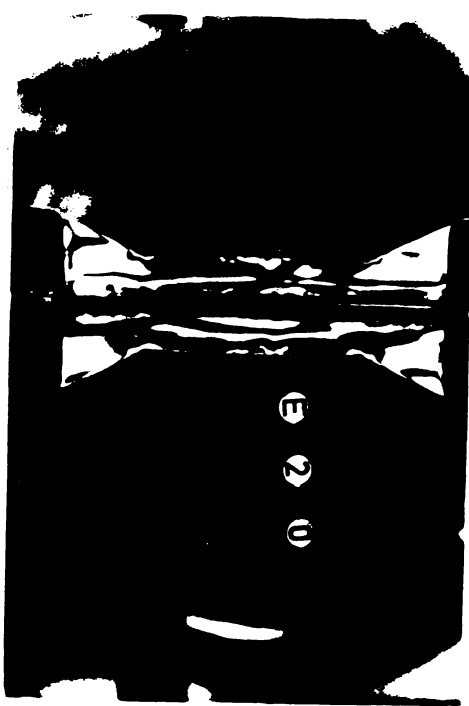


Figura 3.38

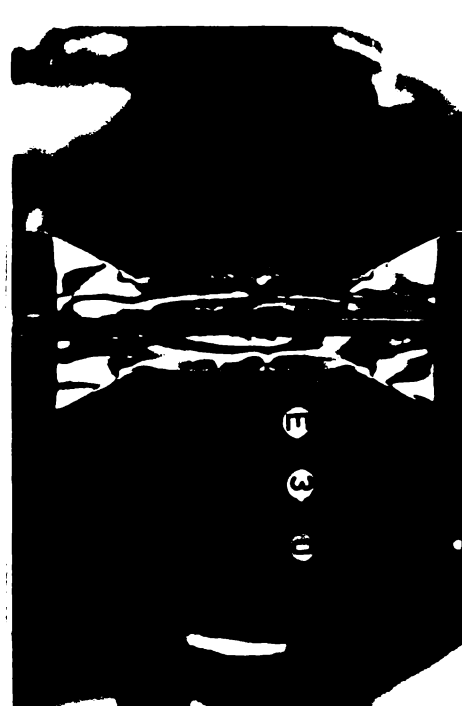


Figura 3.39

Din tabel se desprinde concluzia : în domeniul eforturilor unitare mici tensiunile măsurate corespund foarte bine celor reale. Cu cît eforturile unitare cresc, măsurîtarea arată că eforturi unitare mai mici decît cele reale, ceea ce se explică prin elasticitatea limitată a aralditului.

Privind epruvetele iradiate cu lumen polarizat în zona senzorilor tensometrii se constată tensiuni remanente introduse la lipirea extremităților timbrului de firule conductoare.-

Eforturi măsurate și eforturi calculate în  $\text{daN}/\text{cm}^2$  la diferite epruvete.

Tabelul 3.1.

Epruveta de tip :	Caracte- ristica	INCARCARE AXIALA daN						
		30	45	60	75	90	120	150
$A = 2,76 \text{ cm}^2$	$\epsilon$	445	645	810	1000	1190	1590	1920
	$G_{\text{măs.}}$	120,0	174,0	218,0	270,0	322,0	430,0	520,0
	$G_{\text{calc.}}$	124,3	186,5	248,5	311,0	373,0	497,0	622,0
	$\epsilon$	430	675	875	1090	1300	1700	2150
	$G_{\text{măs.}}$	129,0	184,0	236,0	294,0	350,0	460,0	580,0
	$G_{\text{calc.}}$	124,3	186,5	248,5	311,0	373,0	497,0	622,0
$A = 2,76 \text{ cm}^2$	$\epsilon$	320	545	640	820	1000	1300	1600
	$G_{\text{măs.}}$	86,5	147,0	172,5	221,0	270,0	350,0	432,0
	$G_{\text{calc.}}$	108,5	163,0	217,0	272,0	326,0	435,0	545,0
$A = 2,4 \text{ cm}^2$	$\epsilon$	405	590	805	995	1160	1525	1890
	$G_{\text{măs.}}$	109,2	159,0	217,0	268,5	313,0	412,0	510,0
	$G_{\text{calc.}}$	125	187,5	250,0	312,0	375,0	500	625,0

Asadar, în urma procesului de sudare în ansamblul piezelor sudate se introduc tensiuni remanente. Ele pot fi de întinderi ori de compresiune. În ansamblu pe secțiunea transversală se echilibrează.

Tensiunile remanente rezultate din sudare depind de mai mulți factori printre care și diferența de temperatură între arcul termic și mediul ambient.

### 3.9. TENSIUNI REMANENTE INDUSE PRIN SUDARE ÎN EPRUVETA DIN OTEL

Pentru obținerea spectrului tensiunilor reziduale dintr-o secțiune transversală s-a folosit o metodă distructivă.

Pe epruvetele netestate s-au traseat în același secțiuni transversale șiruri de reper. Distanța dintre șiruri era de cca. 20 mm, distanța între reper, pe șir de 5 mm. S-a măsurat distanța între reperele situate pe aceeași fibră longitudinală a epruvetei, înainte și după extragerea din epruvetă a eșantionului de lățime 25 mm, figura 3.40. Măsurătoarea s-a efectuat cu extensorimetru Karl Mohr cu o precizie de 1 mm/loc. S-a calculat tensiunile reziduale

induse prin sudare pentru fiecare față ca și prismul acestor tensiuni pe secțiunea transversală, figura 3.41 presupunând o variație liniară pe grosime.

In mod similar s-a procedat la determinarea tensiunilor reziduale în epruvete rupte în urma acțiunii sarcinii de oboseală. Secțiunea, de unde s-a făcut extragerea eșantionului, s-a ales într-o zonă suficient de îndepărtată de locul cedării, cca 300 mm.

Figura 3.42 reprezintă distribuția tensiunilor reziduale induse prin sudare pe cele două fețe ale epruvetei și prismul acestor tensiuni pe secțiunea transversală în accepțiunea variației liniare pe grosimea epruvetei a tensiunilor remanente pentru o epruvetă ruptă la oboseală.

Calculul tensiunilor remanente s-a efectuat în tabelul 3.2.

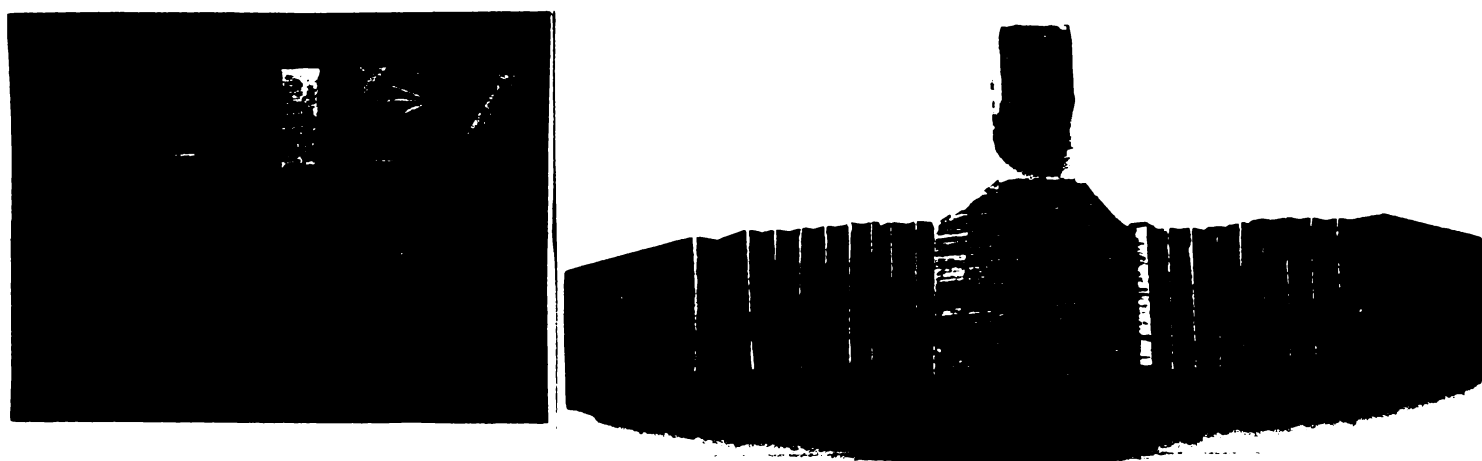
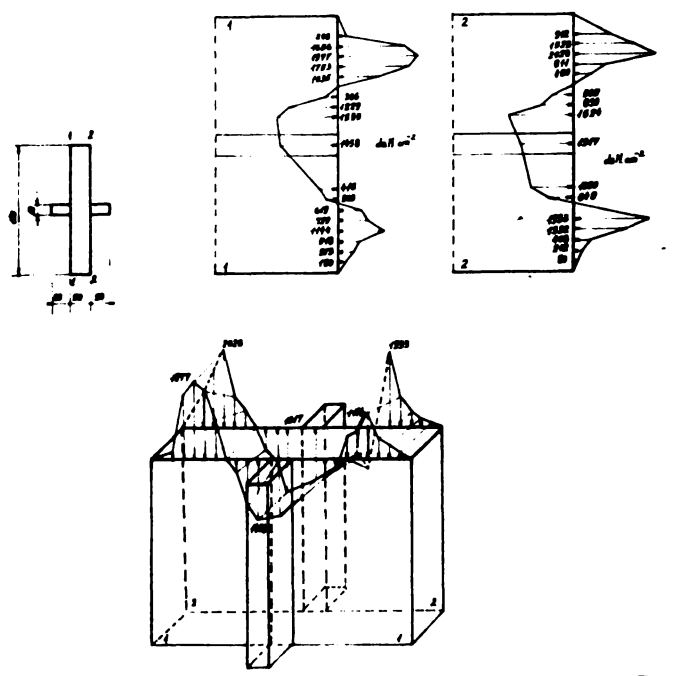


Figura 3.40

Constatările sunt de natură cantitative și calitative. Ele rezultă din tabelul măsurătorilor săi și din figurile 3.41 și 3.42 pot fi formulate după cum urmărește :

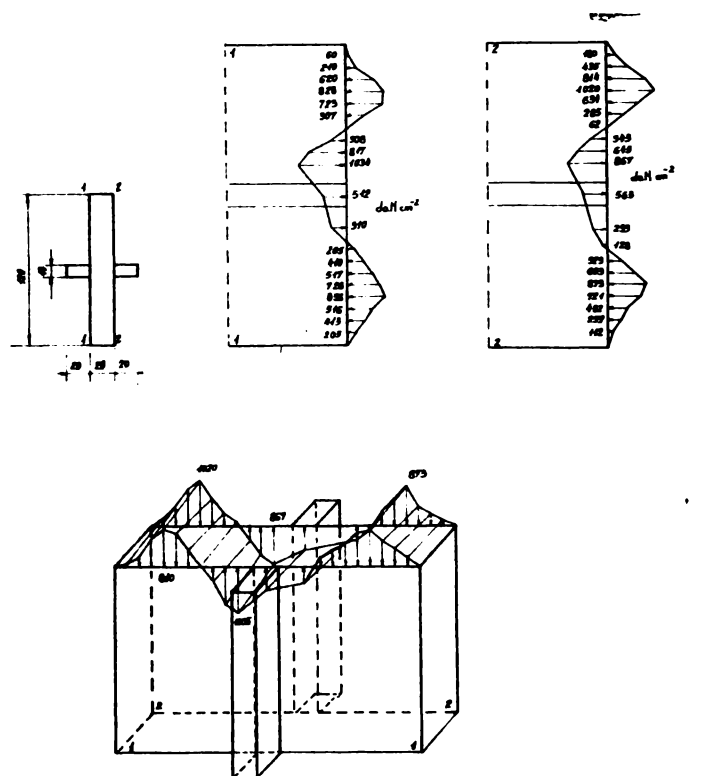
- în secțiunea transversală a epruvetei se manifestă tensiuni remanente induse prin sudare.
- în zona centrală a epruvetei (înălțimea coardeale de suflare) se exercită tensiuni remanente de întindere iar spre margini tensiuni de compresiune.
- volumul prismului tensiunilor remanente de întindere echilibrează volumul prismelor tensiunilor remanente de compresiune în aceeași secțiune transversală.
- distribuția tensiunilor remanente înregistrează diferențe diferențe calitative și cantitative pe cele două fețe pe care s-a practicat măsurarea deformațiilor.

Acăsta este o consecință a executării successive a celor 4 cordoane de sudură de către același muncitor.



**TENSIUNI REZIDUALE IN EPRUVETA NESOLICITATA DE EFORTUL DE SERVICIU**

Figura 3.41.



**TENSIUNI REZIDUALE DUPA RUPEREA PRIN OBOSEALA**

Figura 3.42

Valorile tensiunilor reziduale din zona centrală a epruvetei ar putea constitui un indiciu al ordinii de executare a cordoanelor. Introducerea unui cordon de sudură executat, în cîmpul termic al

al unui cordon verin în faza de execuție conduce la modificarea valoilor tensiunilor reziduale induse la executarea primului cordon.

Pentru epruveta supusă oboselii conoluiziile se suplinesc cu :

- incărcarea de serviciu nu modifică calitativ aspectul și poziția al primului tensiunilor reziduale.

- diagrama tensiunilor reziduale pentru cele două fețe prezintă virfuri (convexități) și întrăduri (concavitate) mai mari. Aceasta conduce la ipozitia că efectul cumulat al încărcării de serviciu cu tensiunile reziduale se concretizează în uniformizarea tensiunilor reziduale în urmă fenomenul de curgere locul.

### 3.10. EPRUVETE DIN OTSU CU 2 CORDONI DE SUDURĂ LĂNGĂTUDINAIE

#### 3.10.1. EPRUVETA

Pentru a mări influența clară și singulară a tensiunilor reziduale induse prin sudare asupra fenomenului de oboselă au fost supuse încercările de oboselă descrise în paragraful 3.5 epruvete din același material - tablă grosă de 20 mm, U1- 37-2K cu secțiuni variabile fără norvuri, figura 3.43

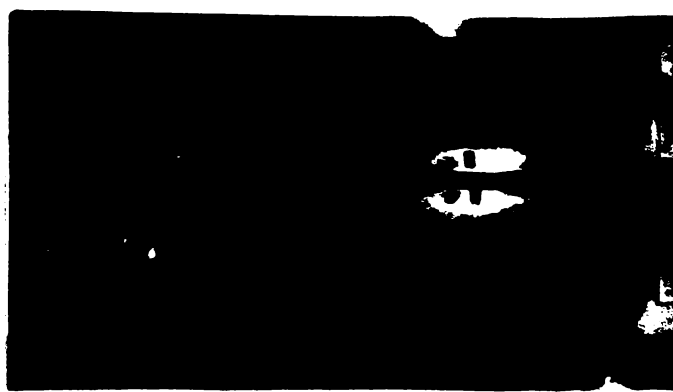


Figura 3.43.

Pe axul longitudinal al epruvei pe ambele fețe, se execută simultan cîte un cordon de sudură folosind accesați electrozi, aceeași viteză de înnăptare și același parametri ai curgerii electrici.

#### 3.10.2. TABLĂ I...Z-VAL. 1...V...-...-...-...-...

Tipul de epruvetă prezentat în figura 3.43 (3.8 ) are o rigiditate ridicată la tăindință de deformare plastică în comparație cu epruveta cu norvuri figura 3.7. Execuția simultană a cordoanelor de sudură are ca scop obținerea unui spectru de tensiuni reziduale cu alătri neuniformități (dacă nu identice ) se foto-

**TABELUL MATERIALELOR ZIARII DECON DINAR  
TEZIUNILOR REAMONTE**

**Tabelul 3.2.**

Po- te re. no.	PAGINA 1				PAGINA 2				daily/ cm <sup>2</sup>
	Piso- la	Antri- ala	Δ	day/cm <sup>2</sup>	Piso- la	Antri- ala	Δ	day/cm <sup>2</sup>	
1-1	123	121	2	-208	690	688	2	-210	
	266	262	16	-1656	320	314	6	-620	
	157	176	19	-1977	290	282	8	-829	
	340	357	27	-1753	342	335	7	-723	
	283	293	10	-1035	483	480	3	-307	
	425	425	0	0	790	790	0	0	
	540	543	3	306	433	430	3	308	
	490	502	12	1229	551	543	9	817	
	525	510	15	1535	292	302	10	1034	
	170	156	14	1450	502	507	5	512	
	-	-	-	-	320	333	3	310	
	145	149	4	416	472	470	2	-205	
	184	187	3	303	430	476	4	-410	
	330	336	6	-619	293	288	5	-517	
	144	151	7	-729	240	233	7	-726	
	181	192	11	-1144	102	94	8	-836	
	247	242	5	-518	333	320	5	-516	
	263	260	3	-373	339	335	4	-413	
	232	230	2	-130	424	422	2	-203	
2-2	713	722	9	-912	143	139	8	-417	
	633	678	15	-1523	701	693	8	-811	
	634	704	20	-2028	698	688	10	-1015	
	704	712	8	-821	729	733	6	-607	
	716	712	4	-430	764	762	2	-202	
	760	760	0	0	763	762	1	-101	
	593	593	5	509	327	330	3	309	
	238	239	3	339	483	439	6	614	
	492	513	15	1624	424	432	8	822	
	329	330	3	1317	661	655	4	406	
	-	-	-	-	595	558	2	306	
	569	540	26	1030	525	526	1	102	
	493	514	16	649	614	611	3	303	
	496	496	0	0	650	734	6	605	
	619	638	19	-1933	611	803	3	-807	
	662	675	13	-1322	701	694	7	-710	
	618	614	4	-408	763	759	4	-404	
	514	515	1	-212	739	736	3	-303	
	603	607	1	-30	698	697	1	-101	

le principale ale epruvei și a unui prism de tensiuni reziduale fără vîrfuri tensionale sau cu ele mai diminuate.

Determinarea experimentală a tensiunilor reziduale în aceste epruve a confirmat prezumțiile de mai sus, ilustrate în figura 3.44 care reprezintă diagramele de tensiuni reziduale datorită sudării pe fețele 1-1 și 2-2 ale epruvei ca și prismul acestor tensiuni la o epruvetă netestată la oboscală. Cu toată grijă manifestată la aplicarea cordoanelor de sudură, în regiunea cordonului și în zona influențată termic se manifestă tensiuni reziduale de valori ridicata.

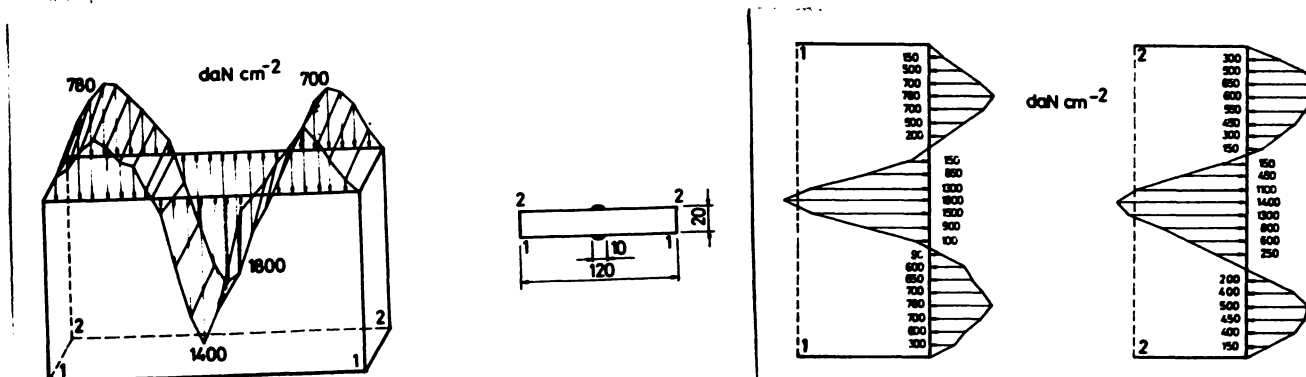


Figura 3.44

După ruperea la oboscală a unui astfel de epruve prismul și diagramele tensiunilor remanente se prezintă cu valori diminuate și vîrfuri tensionale "tocîte". În urma fenomenului de curgere locală datorat insumării acestor tensiuni cu tensiunile din încărcarea dinamică figura 3.45, are loc consumarea prin deformare plastică a vîrfurilor tensionale.

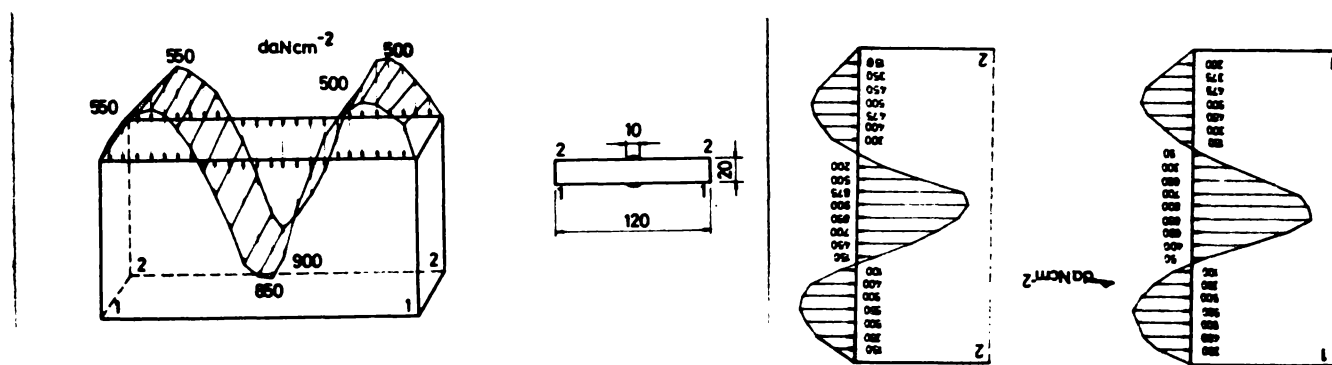


Figura 3.45.

### 3.10.3. PISUARE

În cadrul încercării la oboscală, epruveta constituie teljă întinsă a grinzi cu zăbrele din figura 3.2. Efortul axial din ea conduce la o diagramă cu o distribuție uniformă pe secțiunea transversală. Însuarea diagramelor de tensiuni :

din încărcarea dinamică și din procesul de sudare păstrează valoile maxime în aceleasi puncte. Cu alte cuvinte, tensiunea maximă se va exercita în aceleasi fibre în care există tensiunea reziduală maximă.

Din motive de tensiune rezultantă maximă și de schimbare a calităților ogelului în zona influențată termic se poate postula nuclearea fisurii de oboseală în această regiune.

Fenomenul real confirmă supozitia de mai sus. Astfel figura 3.46 prezintă o fisură care s-a dezvoltat numai în cordonul de sudură și în zona influențată termic. Mai mult, eprouveta conține deasupra lungul ambelor cordoane de sudură mai multe fisuri de lungimi diferite figura 3.46.

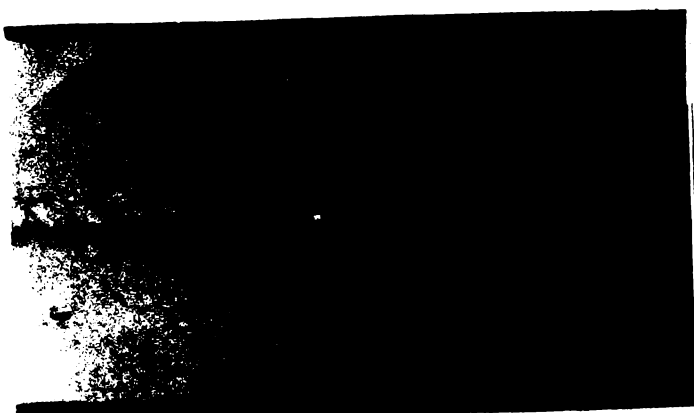


Figura 3.46.

Justificarea prezentei acestor fisuri este următoarea : În timpul aplicării încărcării dinamice, în fiecare secțiune transversală are loc însamarea celor două diagrame de tensiuni. Deci de-a lungul cordoanelor și în zonele adiacente există secțiuni cu vîrfuri tensiionale. În concluzie sunt numeroase locuri de nucleare simultană a fisurilor de oboseală. Aceste fisuri se dezvoltă, devin vizibile și progresează în interiorul epruvetei. Dintre ele însă numai una este aceea care înfilzează material "mai slab" și avansază în raport cu celelalte. Această fisură slăbește secțiunea efectivă a epruvetei și o face să caputeze.

Desvoltarea celorlalte fisuri este simultană cu aceea de rupere deoarece în fiecare secțiune transversală efortul axial dinamic este același.

#### 3.10.4. ASPECTE ALTE RUPERII PRIN OBOSEALA

Fenomenul oboselii ogelului comentat în paragrafele 3.6., 3.10.3. se produce și la aceste epruvete. Astfel nuclearea fisurii în zona cordonului de sudură ilustrat prin regiunea polizată a epruvetei din planșa numărul 3.5. propagarea fisurii prin arce de elipsă

din aceeași figură și în sfîrșit ruperea prin decoezinie săt aspecte ale fenomenului ruperii prin oboselă la efort axial pentru această variantă a epruvelei.

### 3.11. EPRUVETE LISE

Epruvele lise au constituit repere de comparație în cadrul încercărilor de oboselă. S-au confectionat cîte 3 serii de asemenea epruve avînd aria secțiunii transversale  $25 \text{ cm}^2$ ,  $29 \text{ cm}^2$  și  $31 \text{ cm}^2$ . În fiecare serie s-a avut 3 epruve identice.

Supusă efortului axial variabil sub coeficientul de asimetrie + 0,3 epruvele au avut o comportare asemănătoare între ele. Figura A PORNIC DE LA UNA DIN MARGINILE EPRUVETEI - nu din centru. Figura s-a dezvoltat la suprafața epruvei și în grosimea ei. Cind secțiunea activă a atins limita de curgere - eprueta s-a alungit considerabil și procesul oboselii a fost opri.

Privită în detaliu suprafața secțiunii de capotare se constată zona lustruită prin oboselă și zona de decoezinie. Aceste aspecte sunt ușor identificabile în planșele numărul 3.6., 3.7., 3.8.-

Durata funcționării acestor epruve este redată în curbele de duzabilitate din figura 4.5.-

#### IV. COMENTARIA REZULTATELOR EXPERIMENTALE

##### 4.1. LOCUL DE APARIȚIE A FISURII DE OBOSEALĂ

In timpul solicitărilor repetate a epruve telor are loc suprapunerea tensiunilor de serviciu peste tensiunile reziduale induse prin sudarea nervurilor. Tensiunile de serviciu sint de intindere și cu o repartiție liniară uneori uniformă pe secțiunea transversală.

In urma procesului de sudare în epruvetă apare un spectru de tensiuni reziduale neuniforme având în partea centrală tensiuni de întindere iar în părțile periferice tensiuni de compresiune. Suprapunerea celor două spectre de tensiuni se face algebric și conduce la virfuri tensionale de întindere în zona centrală - zona influenței termice - și tensiuni de întindere cu valori dimi-niate la periferia epruvei. Așa dar în zona influențată termic rămânează și apără fisura de oboseală datorită efortului unitar de valoare ridicată cît și datorită probabilității mult mai mari de a intîlni în această zonă un defect metalografic de structură.

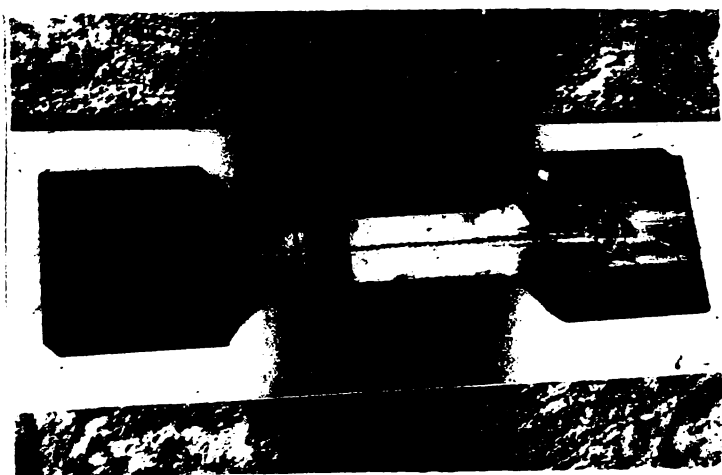
Planșele numărul 4.1., 4.2. ilustrează nașterea fisurii de oboseală în zona influențată termic la epruveta E7 și dezvoltarea ei spre marginile epruvei în diferite faze de evoluție. De asemenea planșa numărul 4.3. prezintă fisuri la epruvele E9 și E 13 care au avut aceeași zonă de plecare.

Planșa numărul 4.4. reprezintă secțiunile transversale în care a avut loc ruperea de oboseală. Aceste secțiuni consemnază originea de mălcuță și dezvoltarea fisurii de oboseală prin central liniilor de rupeze situat în zona influențată termic la epruvele E4 și respectiv E 7, E8,-

Acstea două genuri de mărturii care sunt ilustrate la majoritatea epruve telor atestă afirmația de mai sus.-

##### 4.2. MOMENTUL OBIECTIVĂRII FISURII DE OBOSEALĂ

Pe parcursul experimentului fiecare epruvetă a fost săpusă observării atente în vederea precizării momentului, apariției fisurii de oboseală. Observarea s-a făcut cu ochiul liber și cu lupa ( putere de mărire 2,5 ori ) ceea ce corespunde posibilităților practice de detectare a unei fisuri.

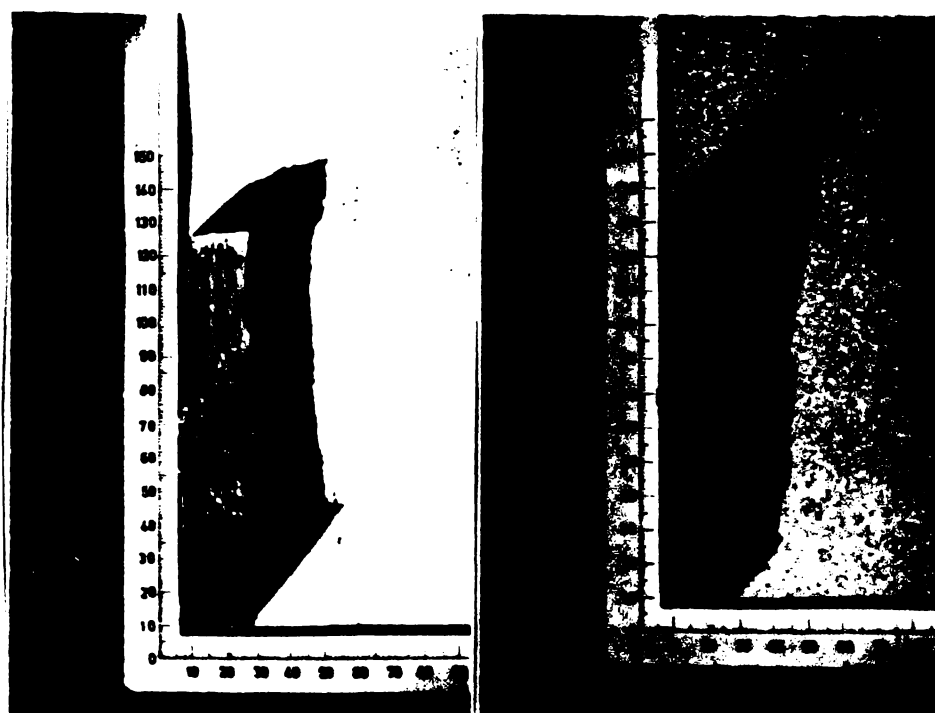


Epruveta numai cu cordoane longitudinale.

- după ruperea de oboseală.

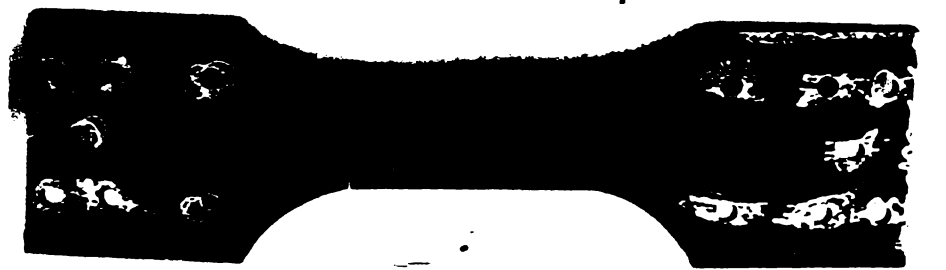


Figuri în cordonul de sudură

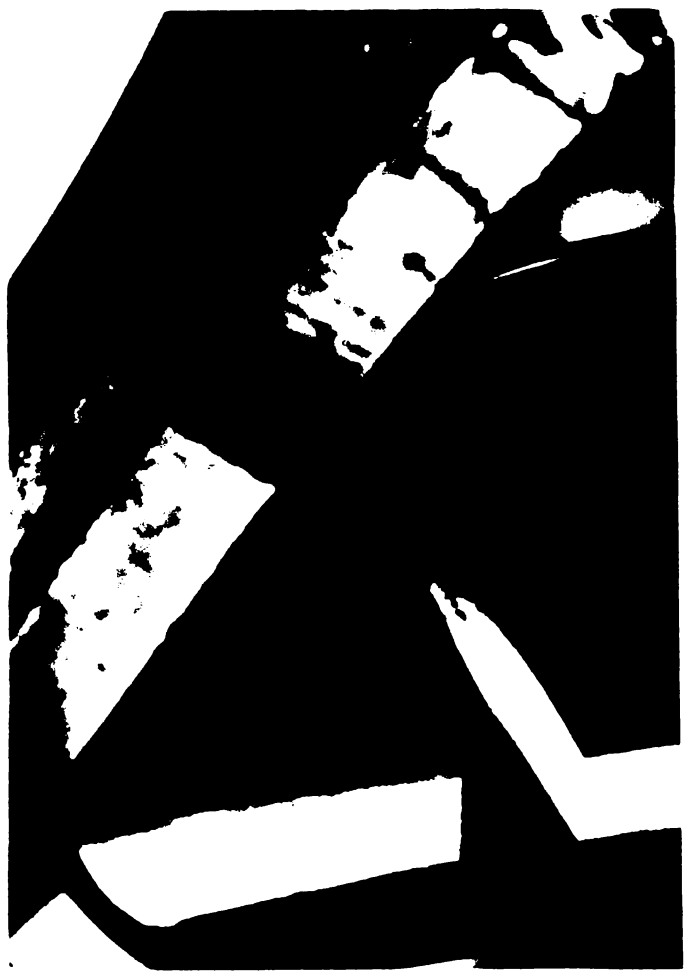


Secțiuni rezultate  
din capotarea la  
oboșeală.

PLANO Nº 3.5.



șpravete lise zol. ( $25 \text{ cm}^2$ )  
- valoarea cerută la obiectiv



Detalial fizurii de rapere la obiectivul  
șpravetei lise zol.

F I L M C U L R. 3.6.



Apriuveti liesă 1.0. ( 25 cm<sup>2</sup> )  
- după cedarea la obiceală -



Betaliul fizurii de rupere la obiceală al epruvetei liesă

2.02

I L a h e n M. 3.7.



Epruvele lise F.3. ( 31 cm<sup>2</sup> )  
- după cedarea la oboseliă -



Detaliiul fisurii de suprafata la oboseliă al epruvelei  
lise F.3.

F I L A R O N M. 3.8.

Tabelul 4.1. redă în mii de cicluri momentul convențional al observării fisurii  $M_p$ , durată de viață D, durată de funcționare în stare fisurată  $D - M_p$ , toate exprimate în mii de cicluri.

Pentru epruvete din tablă groasă întărite cu nervuri longitudinale sudate, supuse la efort axial variabil de întindere cu un coeficient de asymetrie 0,3 durete funcționării cu secțiunea nefisurată reprezintă circa 84 % din dureabilitatea lor.

Dacă se variază mărimea ariei secțiunii transversale deci efortul unitar, cu cît efortul unitar este mai mic cu atât momentul apariției fisurii este mai îndepărtat, cu atât este mai ridicată valoarea raportului  $M_p / D \%$ . Așadar momentul apariției fisurii variază în sens invers cu variația efortului unitar de pe secțiunea transversală, figura 4.1., deasemenea durata funcționării epruvetei în stare nefisurată, figura 4.2.

Tabelul 4.1.

Epr. Nr.	Serie Nr.	A cm <sup>2</sup>	$M_p$	D	$D - M_p$	$M_p / D \%$	Valori medii		Abaterea	
							$\bar{M}_p$	$\bar{D}$	$\bar{D} - M_p$	$\sigma_{M_p}$
4	I	29	785	929	144	84,5				
5		29	910	1221	311	74,3				
6		29	818	958	140	85,4	894	1080	194	223
7		29	1232	1418	186	77,8				
8		29	490	730	240	67,1				
9		29	739	915	176	80,8				
10		29	Nu a cedat pînă la 2.10							
11		29	879	1039	160	84,6				
12	II	25	473	510	37	92,7				
13		25	395	496	101	79,5	451	570	112	95
14		25	485	706	221	63,7				
15		25	278	365	88	76,0				
16	III	31	960	1043	83	92,1	973	1057	86	-
17		31	986	1071	88	92,1				-

#### 4.3. Limită FUNCȚIONALĂ în stare FISURATĂ

Durata funcționării în stare fisurată a epruvetelor poate fi comentată în termenii analizei statisticice după cum urmează :

Pentru cele 3 tipuri de epruvete durata funcționării în stare fisurată se cifrează la circa 16%. La același coeficient de asymetrie, variația maximă ariei secțiunii transversale a

epruvetei atrage după sine variație în sens contrară a duratei de funcționare în stare fisurată. Astfel la epruvetele de axie  $25 \text{ cm}^2$  secțiune transversală - durată funcționării în stare fisurată reprezintă numai 21 % din durată de viață în comparație cu 17% și respectiv 7% la epruvetele de axie  $29 \text{ cm}^2$  și  $31 \text{ cm}^2$ .

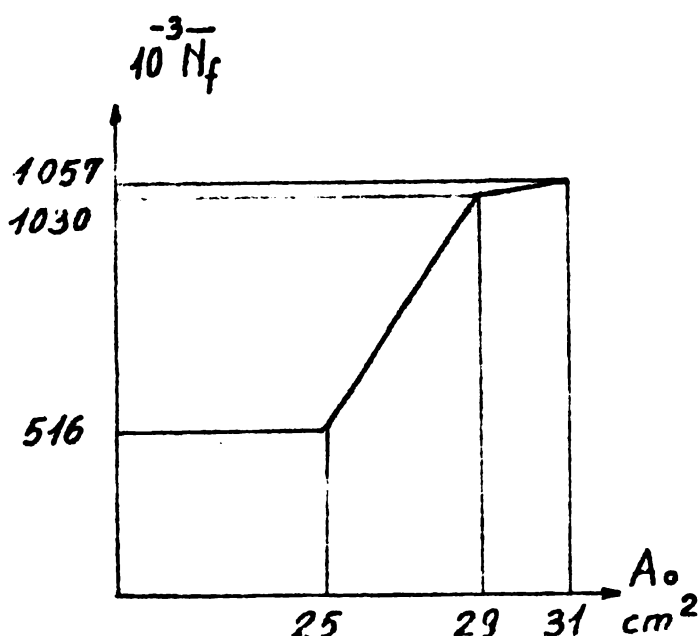


Figura 4.1.

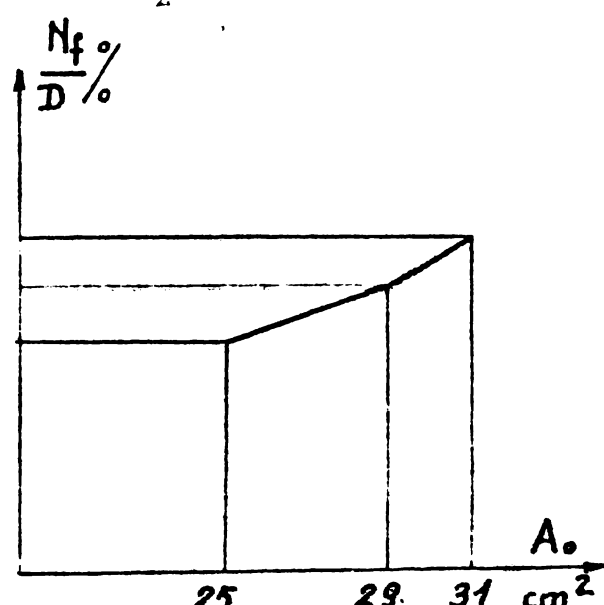


Figura 4.2.

Cu alte cuvinte la un efort unitar mare durata funcționării în stare fisurată se reduce simțitor. Gradientul axiei fisurate are o creștere mare ca urmare a efortului unitar de valoare ridicată.

#### 4.4. VARIATIA MARIERILOR AXIEI FISURATE

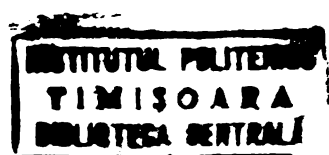
Pentru fiecare epruvetă din momentul apariției și detectării fisurii s-a măsurat adâncimea fisurii în diferite locuri de-a lungul ei. Măsurătoarea s-a repetat la diferite intervale de timp. Astfel s-a putut aprecia configurația secțiunii transversale la diferite momente ca și mărimea axiei secțiunii fisurate. Plangile numărul 4.6. ilustrează evoluția secțiunii transversale la epruveta E.7.

Spre exemplificare se detaillează procedura pentru epruveta E.7. Configurația acestei epruvete, maximă efortului unitar de serviciu cu caracter static și respectiv dinamic sănt redante în planșa numărul 4.5. Apariția fisurii s-a con-



Dovoltarea fisurii la epraveta 2.7

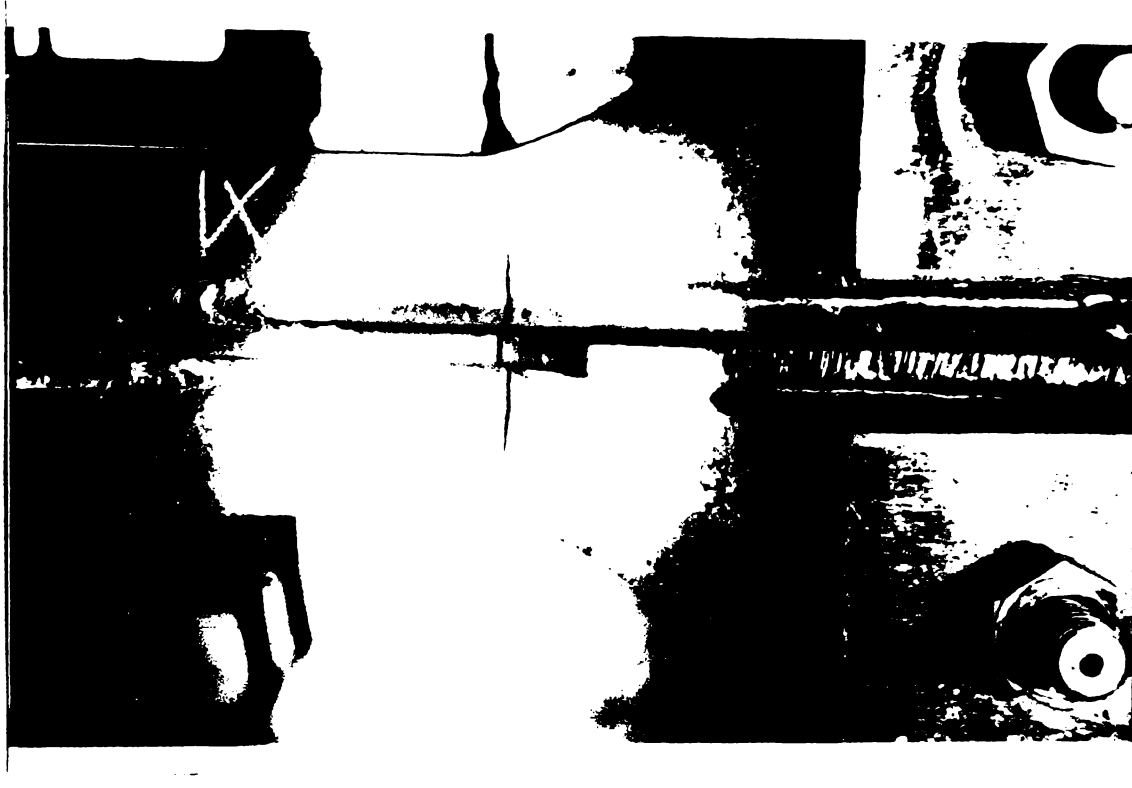
PLANS A Nr. 4.1





Evoluția fisurii la epraveta 3.7.

P L A N S A N R. 4.2.

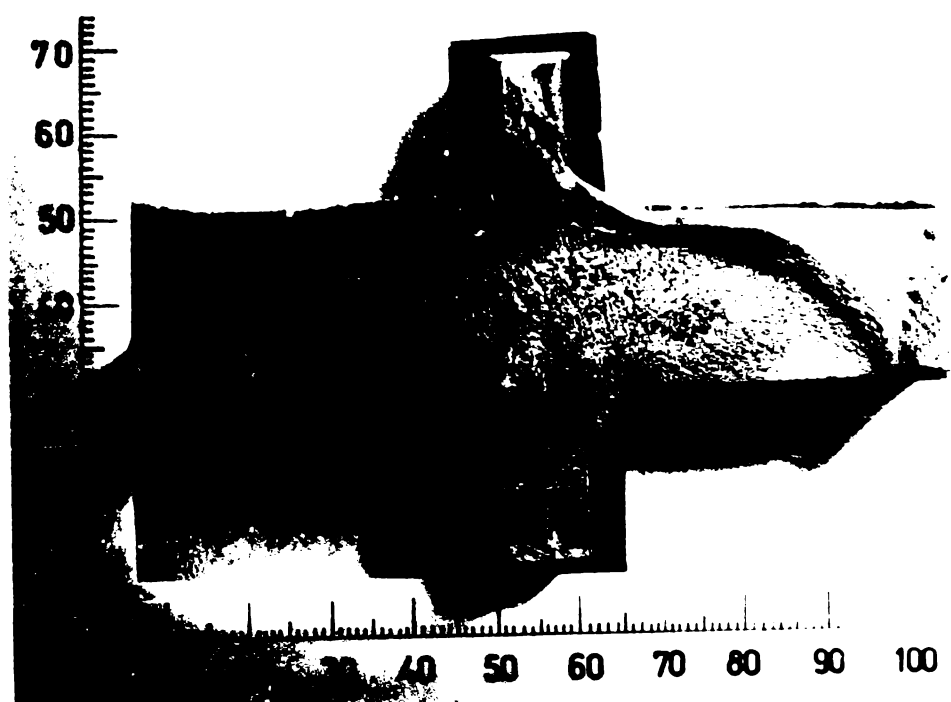


Pisară la spăvete E.9



Pisară la spăvete E.13 .

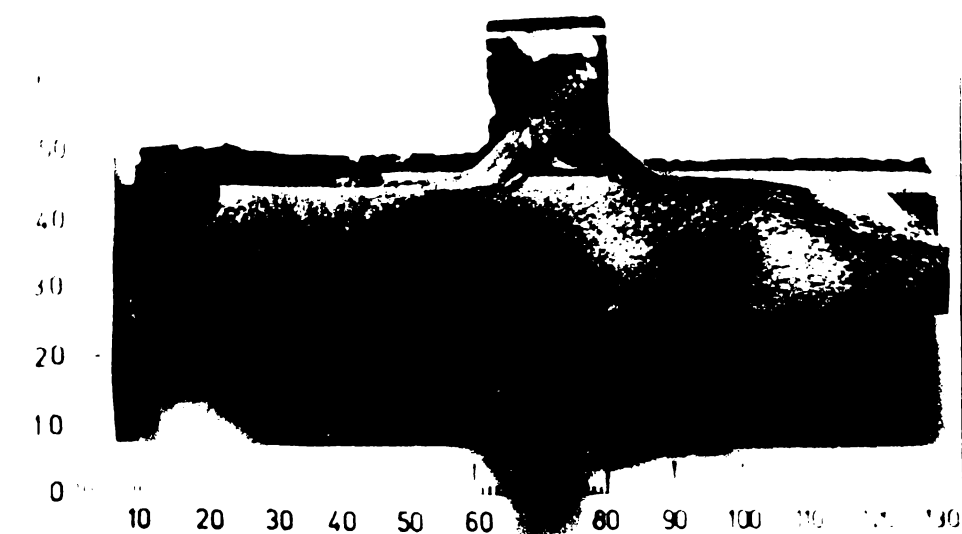
PLAESA NR 4.3



Pruvetă E.4  
Secțiune trans-  
versală rezulta-  
tă din rupere  
prin oboscală.



Pruvetă E.7  
Secțiune trans-  
versală rezulta-  
tă din rupere  
la oboscală.



Pruvetă E.8  
Secțiune trans-  
versală rezultată  
din rupere la  
oboscală.

— 58 —

statat după 1232 mii cicluri de aplicare a sarcinii dinamice. La acest moment s-a măsurat : extensiunea fisurii pe suprafața epruvei și adâncimea fisurii pe acest perimetru. S-a calculat maximă aria fisurate circa  $2,0 \text{ cm}^2$  și s-a reprezentat configurația secțiunii în care a apărut fisura. În planșe numarul 4.6. primul desen reprezintă cu hagură aria fisurată iar fără hagură aria rămasă activă.

S-a continuat apoi aplicarea sarcinii dinamice. Cind con-  
torul de ture a indicat 1354 mii cicluri magina de încercări la  
oboseală a fost oprită din nou. S-a măsurat lungimea conturului  
de suprafață al figurii și adâncimea ei în diferite puncte. S-a  
calculat mărimea eriei figurate de  $3.70 \text{ cm}^2$ .

Aceste operații de măsurare s-au repetat la momente alese întâmplător avind în vedere caracterul aleator al fenomenului. De fiecare dată s-a reprezentat aluză secțiunii transversale ieșită din lucru în plană numărul 4.6. S-a obținut cupluri de valori: mărimea ariei fizurate și numărul ciclurilor la care s-a produs.

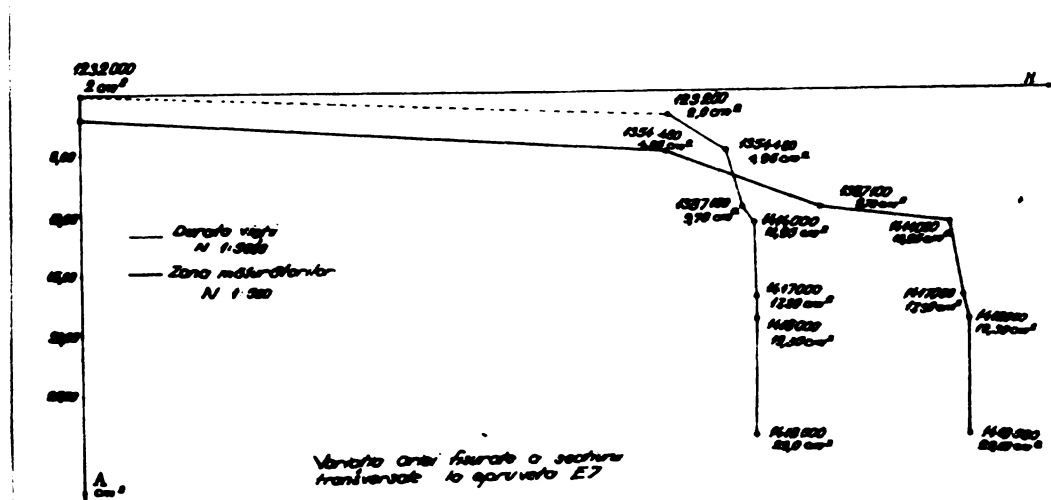


Figure 4-3.

Alegind ca sistem de axe de coordonate : numărul de cicluri a sarcinii dinamice și mărimea axiei secțiunii transversale fizice să reprezinte variația în timp a mărimii axiei fizice. -

Intregul proces de degradare cumulativă s-a reprezentat evind că scara 1 : 5000 pentru durată măsurată în cicluri. Experimental a prins valorile din momentul precisat cu calificativul - figură vizibilă  $b_p$  - pînă la capotare. Cealaltă lectură a domeniului de durabilitate : zero cicluri - momentul apariției fisurii  $b_f$  este necunoscută. Segmentul de dreaptă marcat cu o linie punctată în acest domeniu din figura 4.3. corespunde ipotezei de desfășurare liniară a fenomenului cunoscut sub denumirea criteriul Palmgren - Langer - Miner.-

Pentru expresie grafică mai lăzibilă s-a retranscris zona măsurătorilor în o scăură mai mică 1 : 500 pentru maximul de cicluri.

Se constată că aceasta reprezintă o curbă exponențială cu o ușoară îmbrăgătire a datelor experimentale. Evident de aposteriori că traекторie reală a fenomenului se situează printre punctele curbei din figura 4.3. dar alătura păstrează epitetul de exponențială.

Fenomenul de oboseală și materialul supus testării sunt caracterizate prin terenul convențional de continuitate. Înțelesă investigația este discontinuă. Aceasta înseamnă că arcul de curbă din figura 4.3. se recordază la origine sistemului de axe tot pînă la un arc de curbă și cării alură va trebui precizată folosind o apăratură de investigare mult mai fină.

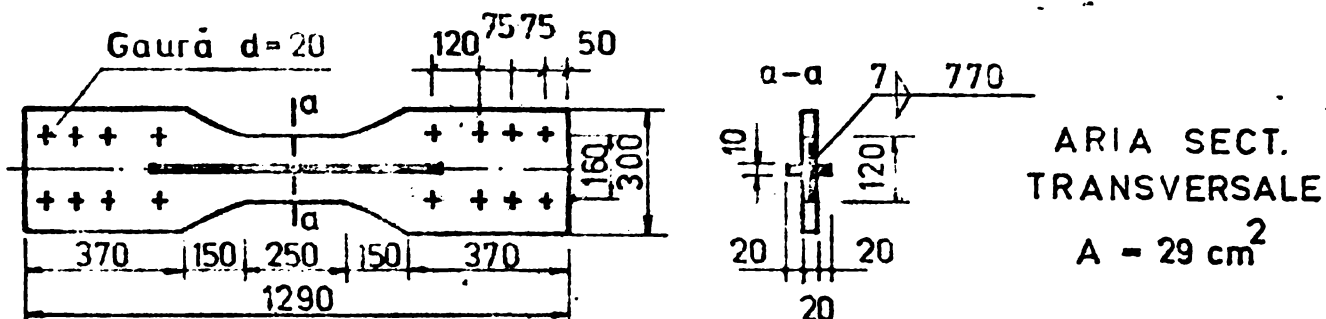
Pentru setul de epruvele supuse incercărilor de oboseală variația rărimii aricii fisurate la diferite momente s-a exprimat în figurile 1.a, 1.b. planșa numărul 4.7.-

Epruvele supuse unui efort unitar mai mare fisurăză mai devreme, au o durată deviată mai scurtă și lucrează cu secțiunea fisurată o perioadă mai scurtă, exemplu epruvele F 12 - F 15, figura 1 b. din planșa 4.7.

Cele supuse unui efort unitar mai mic epruvele F 4 - F 11, F 16, F 17 fisurăză mai tîrziu, cu o durabilitate mult mai mare și funcționează cu secțiunea fisurată o perioadă mai lungă, figura 1 b. planșa 4.7. - Cu alte cuvinte

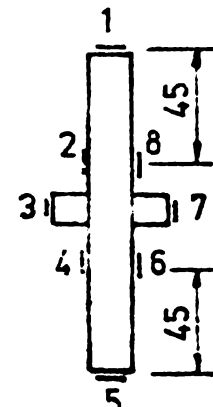
INCERCAREA LA OBOSEALĂ  
SUB EFORT AXIAL A EPRUVETEI E7

1. FORMA SI DIMENSIUNILE EPRUVETEI



2. MĂSURAREA TENSOMETRICĂ A EFORTURILOR UNITARE  $\text{daN/cm}^2$

NATURA EFORTULUI		T I M B R U L N R.								DISPUNEREA TIMBRELOR
		1	2	3	4	5	6	7	8	
STATIC	$\epsilon$	600	590	550	575	600	590	550	575	
	$\sigma$	1260	1240	1165	1210	1260	1240	1160	1210	
DINAMIC	$\hat{\epsilon}$	325	310	300	315	325	310	305	310	
	$\hat{\sigma}$	680	655	655	660	680	655	640	655	
	$\underline{\epsilon}$	325	310	300	315	325	310	305	310	
	$\underline{\sigma}$	680	655	635	660	680	655	640	655	
$\sigma_{\text{minim}}$		580	585	530	550	580	595	520	555	
$\sigma_{\text{maxim}}$		1940	1895	1800	1870	1940	1855	1800	1865	
Coef. asimetrie $r = \sigma_{\text{minim}} / \sigma_{\text{maxim}}$		0,295	0,308	0,294	0,294	0,295	0,314	0,289	0,297	$r_{\text{med}} = 0,3$



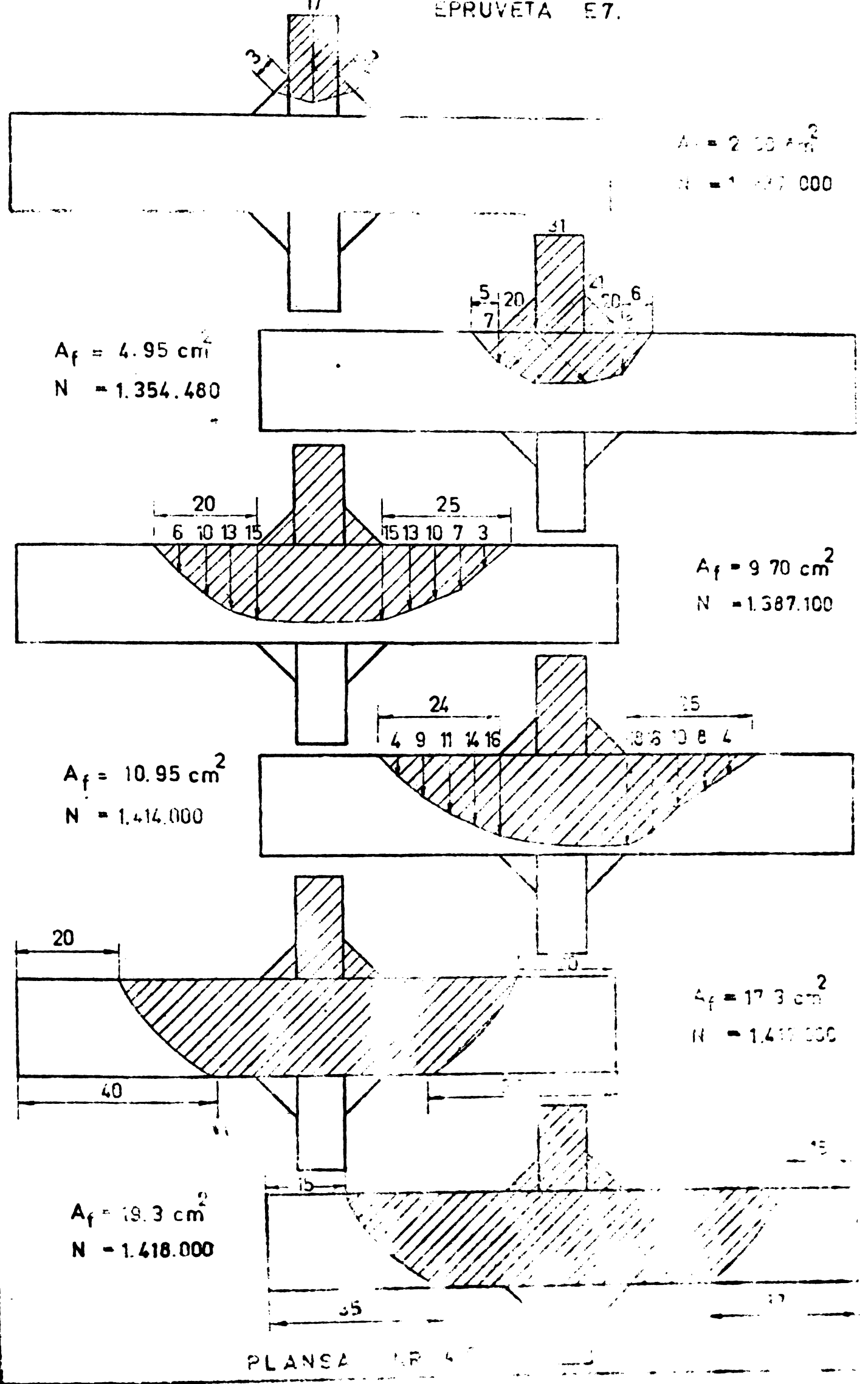
3. CARACTERISTICI MECANICE

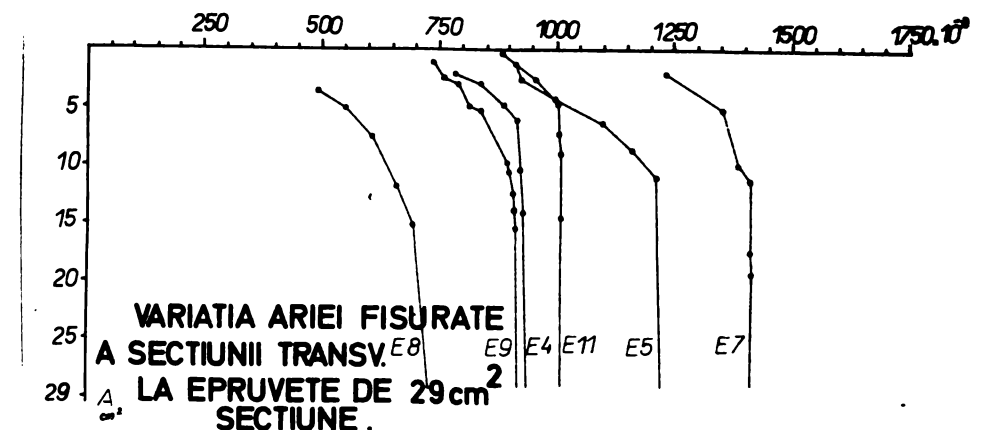
- a. frecvență . . . . .  $n = 200 \text{ cicli/minut}$
- b. durabilitate . . . . .  $N = 1418.560 \text{ cicli}$
- c. frecvență proprie a mașinii . . . . .  $n_0 = 400 \text{ cicli/minut}$



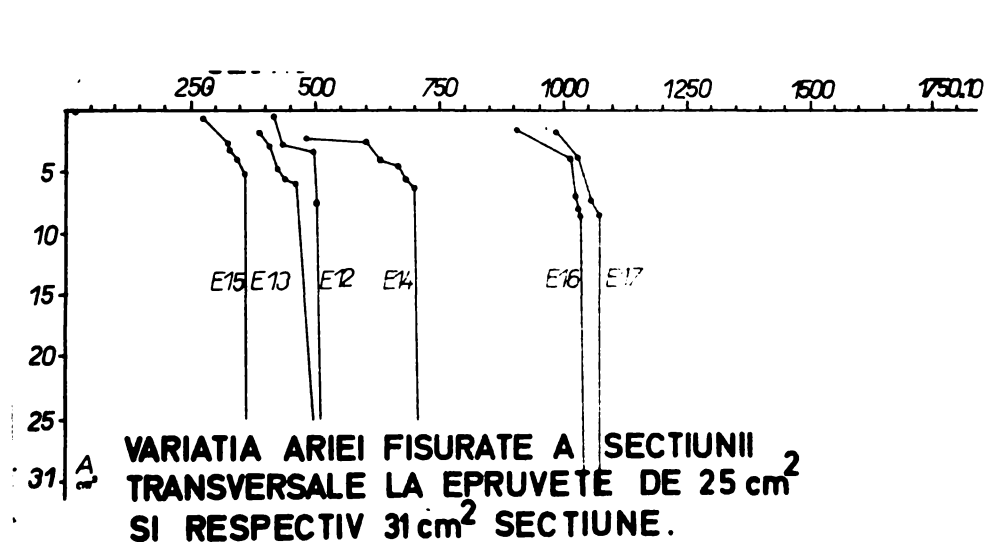
EVOLUTIA ARIEI SECTIUNII TRANSVERSALE FISURATE LA  
EPRUVETA E7.

61



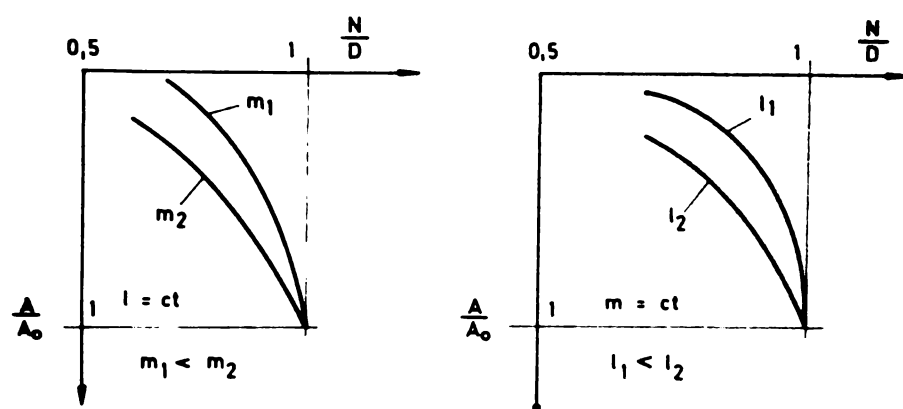


1 a.



1 b.

### 1. Curbe experimentale



### 2. Curbe teoretice

În prezentele date experimentale, s-a propus pentru variația ariei fisurate - A - funcție de numărul aplicării sarcinii dinamice B următoarea expresie matematică :

$$A = A_0 \exp \left( - g \left[ \left( \frac{B}{D} \right)^{-\frac{m}{l}} - 1 \right] \right)$$

Această funcție este reprezentată grafic în figura 2 din planșa numărul 4.7. Notațiile ei corespund la :

A - mărimea ariei fisurate la momentul precizat de N cicluri

$A_0$  - mărimea ariei secțiunii inițiale :

D - durabilitatea epruvetei exprimată în cicluri :

l - constantă care ține seama de material, configurația epruvetei și spectrul tensiunilor reziduale.

m - constantă care conține natura și mărimea efortului unitar dinamic.

Pentru cele două constante ale experimentului present se propun următoarele expresii :

$$l = n \frac{\int_{A_0}^{A_{rem}} G_{rem} dA}{\int_{A_0}^{G_{rem}} A dA} \quad m = l - 3x$$

n - numărul buclelor diagramei tensiunilor reziduale

$G_{rem}$  tensiunea reziduală curentă

$G_{rem}^{\max}$  tensiunea reziduală maximă

x - coeficient de simetrie median

Valoriile celor două constante sunt calculate în tabelul 4.2. pentru epruvetele cu nervari.

Tabelul 4.2.

	4	5	7	8	9	11	12
m	0,865	1,162	0,615	0,965	0,999	0,898	1,336
l	7,94	3,34	16,50	1,93	5,38	9,54	15

Normalitatea probabilistică a fenomenului se reafinge în toate mărimile care îl caracterizează deși în extensiunea volumică a coeficienților l și m.

Cind l ia valori crescătoare fascicolarul de curbe mătură plăul ( $A/A_0, B/D$ ) cind m - ia valori crescătoare se schimbă alătura prin mărirea razei de curbură. Cu alte cuvinte, cu cit

mărimea efortului unitar este mai mare, cu atât viteza de creștere a ariei fisurate este mai mare. Relația propusă permite să se aproximeze destul de exact care este durabilitatea unei epruvete la care după  $n$  cicluri de aplicare a sarcinii dinamice se apreciază că are o arie activă a secțiunii transversale  $A_0 - A$ :

$$D = N \left( 1 + \frac{1}{\pi} \ln \frac{A_0}{A} \right)^{\frac{1}{m}}$$

de asemenea se poate approxima care va fi dureta pînă la capotare pentru aceeași epruvetă

$$\Delta t = D - E$$

In concluzie mărimea ariei fisurate a secțiunii transversale crește după o lege exponentială sau, cu alte cuvinte, după apariția fisurii, mărimea ariei secțiunii rămase în lucru scade după o lege exponentială.

#### 4.5. VITESA DE PROPAGARE A FISURII

Practica experimentală de măsurare a adâncimii fisurii și permise determinarea la un moment dat a mărimi ariei fisurate. Această caracteristică secțională variază în timp înregistrând o viteză de variație  $dA/dt$ . Această mărime fizică are direcția normală pe direcția efortului unitar și se va numi - viteză globală de fisurare.

Plecind de la interpretarea geometrică a derivatei, pentru fiecare epruvetă s-a măsurat unghiul făcut de dreapta care unește punctele corespunzătoare la două stări succesive ( $A_i, B_i$ ), ( $A_{i+1}, B_{i+1}$ ) cu sensul axei  $N$ , s-a calculat tangenta trigonometrică a acestui unghi și s-a reprezentat grafic variația acestei tangente. Curvele obținute constituie viteză globală de fisurare reprezentată în figurele 1a, 1b, din planșa numărul 4.8.-

Constatările de prima instanță sunt următoarele :

- Avînd în vedere că momentul inițial al procesului de degradare cumulativă corespunde pentru toate epruvetele cu zero cicluri și aria fisurată în acest moment este nulă, este natural să afirmă că fascicolul curbelor din figura 1a pleacă din originea exelor. Această fascicol are o traiectorie medie iar celelalte traiectorii au o repartiție probabilistică normabilă astă cum o confirmă și paragraful 4.8.-

- viteză de fisurare în domeniul - fisură vizibilă - are sluză unei curbe exponentiale,-

- traectoriile curbelor "viteză globală de fisurare" se reprezintă într-un fascicol pentru fiecare set de epruvete cu o repartizie probabilistică normală.

- cu cât efortul unitar de lucru este mai mare cu atât viteza globală de fisurare este mai mare.

Mecanica ruperii (10)(28) definește viteza de fisurare în stadiul al II-lea în corelație cu factorul de intensitate al tensanii  $K$  prin relația :

$$\frac{da}{dt} = C \quad (\Delta K)^{\delta}$$

în care :

$C$  - o constantă care depinde de material

$\delta$  - coeficientul vitezei de propagare a fisurii care pentru viteză cuprinsă între  $10^{-6}$  și  $10^{-1}$  mm/ciclu are valoarea 4.

$$K = K_{\max.} - K_{\min.} = (\sigma_{\max.} - \sigma_{\min.}) \sqrt{T a \beta}$$

$a$  - reprezintă lungimea fisurii măsurată la suprafața epruvetei,

$\beta$  - coeficient care depinde de dimensiunile finite ale piesei. Se dă în funcție de raportul  $a/b$

$b$  - lățimea epruvetei

Se supun considerentelor mecanicii ruperii datele experimentale de la epruveta I.11 înregistrate în plansele numărul 4.5. și 4.6. Măsurările efectuate asupra acestei epruvete au condus la :

$$\sigma_{\max.} = 1220 + 650 = 1870 \text{ daN/cm}^2$$

$$\sigma_{\min.} = 1220 - 650 = 570 \text{ daN/cm}^2$$

Valorile lui  $\beta$  din (10) sunt redate în Tabelul 4.3.

Tabel 4.3.

$\frac{a}{b}$	0,074	0,207	0,275	0,337	0,410	0,466	0,535	0,592
---------------	-------	-------	-------	-------	-------	-------	-------	-------

$\beta$	1	1,03	1,05	1,09	1,13	1,18	1,25	1,33
---------	---	------	------	------	------	------	------	------

Epruvetele fisurează în zona influențată termic, aria fisurată evoluază topografic ca în planșa numărul 4.6. iar în corelație cu scurgerea "timpului" ca în figura 1.a din

planga numărul 4.7.

In tabelul 4.4. se efectuează prelucrarea datelor în vederea obținerii allurei curbei "viteză de fisurare" prin prisma conceptului mecanicii nuperii.

Curba este redată în figura 2 din planșa numărul 4.8. alături de curbele pentru celelalte epruvete E.5., E.7. și E.8.

Compararea celor două tipuri de curbe ale vitezei de fisurare din figurile 1.a, 1.b. și figura 2 confirmă o valoare ridicată pentru viteza de propagare a fisurii de oboseală, în starea caracterizată prin - termenii calitativi - fisură vizibilă. În termeni cantitativi se poate spune că ultimele 10-20 procente ale ariei secțiunii transversale active sunt scoase din lucru cu o viteză enormă care ascultă de o lege exponentială.

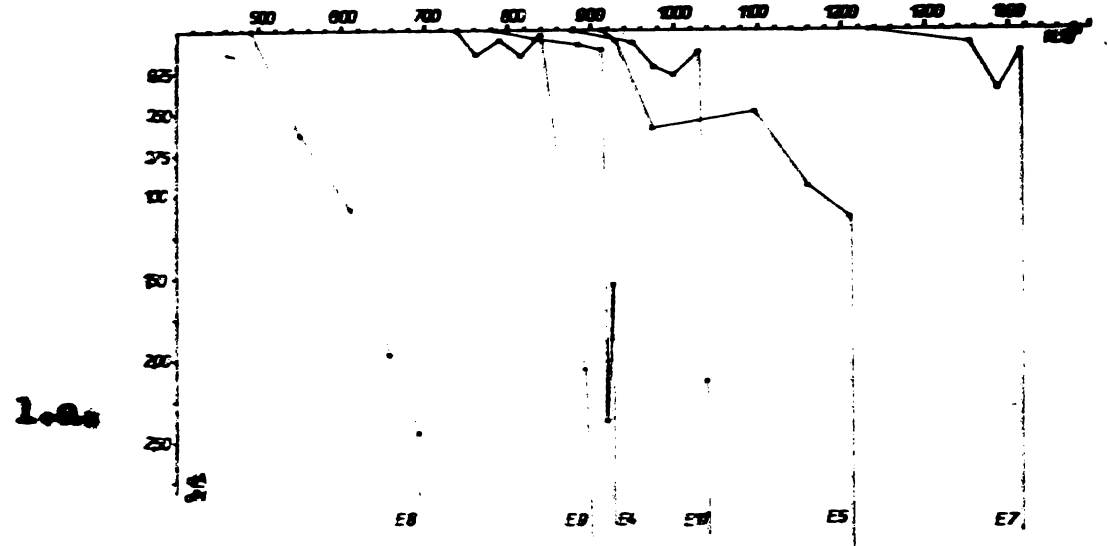
Tabelul 4.4.

Nr. mi ci clari	879	950	975	1000	1030	1036	1039
2a mm	6	25	36	51	65	70	120
a/b	0,05	0,205	0,300	0,416	0,542	0,584	
$\sqrt{ab\pi}$	3,07	6,30	8,25	10,20	12,60	13,90	
$A_0 - A_{cm}^2$	27,5	26,09	24,16	21,62	19,80	14,45	
$G_{max} \frac{da}{mm}$	13,30	20,0	21,60	23,95	26,30	36,10	
$G_{min} \frac{da}{mm}$	5,54	5,85	6,30	7,05	7,70	10,55	
$K$	41	89,20	126,5	172,5	234,5	355	
$(\Delta K)^4 = \frac{da}{dm} \frac{1}{c}$	2,84	63	250	870	3000	15.900	

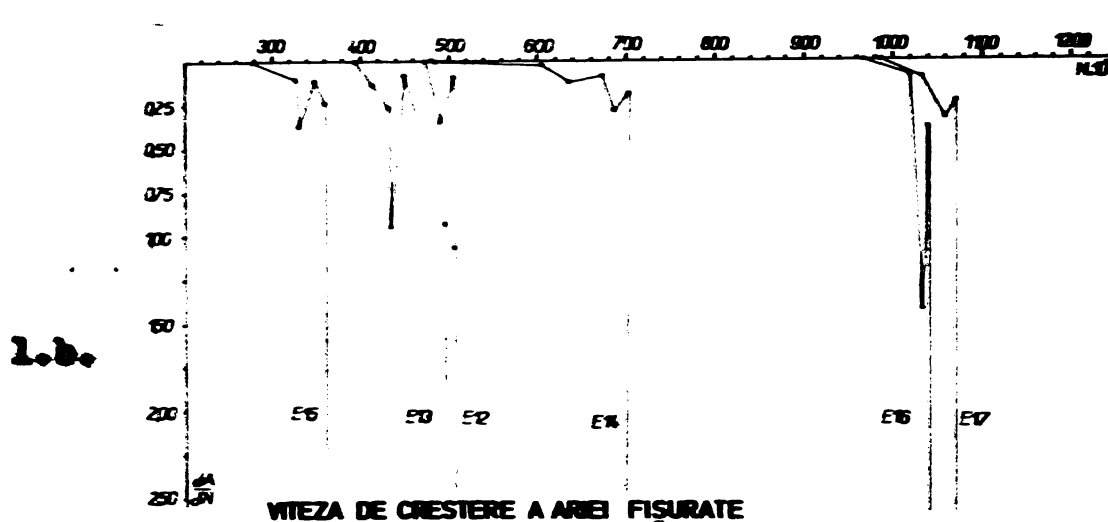
4.6. ASPROMUL SECȚIUNII REZULTANTE DIN SUPRAFAȚA LA  
OBOSEALA

Suprafața de fractură rezultată în urma fenomenului de oboseală este împrejmuită secvențial cu aspecte ale cedării materialului și ale propagării fisurii de-a lungul perioadei de distrugere cumulativă.-



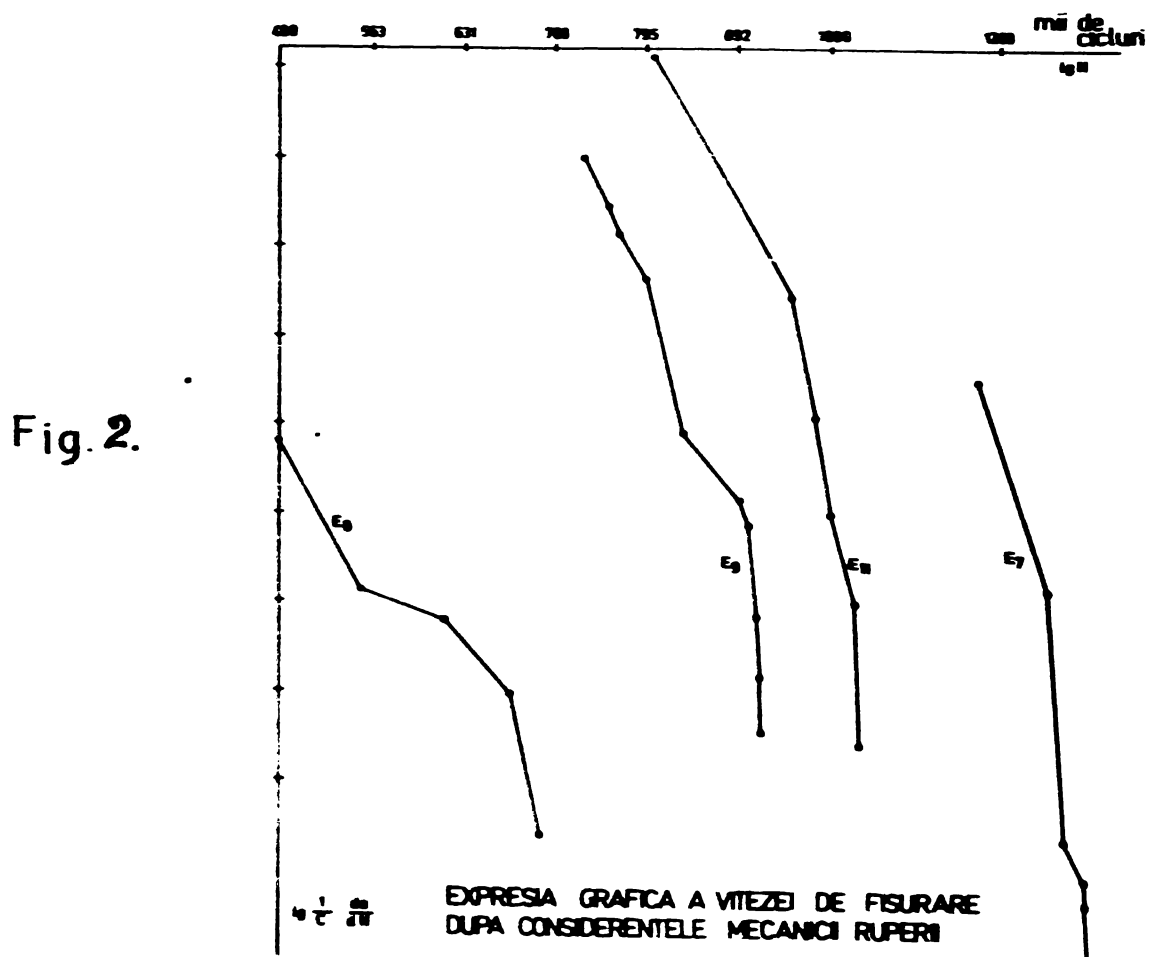


VITEZA DE CRESTERE A ARIEI FISURATE LA  
EPRUVETE CU SECTIUNEA  $20 \text{ cm}^2$



VITEZA DE CRESTERE A ARIEI FISURATE  
LA EPRUVETE CU SECTIUNEA  $25 \text{ cm}^2$  RESPECTIV  $31 \text{ cm}^2$

Figura 1. Curbe experimentale



EXPRESIA GRAFICA A VITEZEI DE FISURARE  
DUPA CONSIDERANTELE MECANICE RUPERII

Planimetrind aria secțiunilor de fractură s-a putut determina mărimea ariei secțiunii rupte prin obosale și mărimea ariei secțiunii rupte prin decoezie. În tabelul 4.5. sănt trecute aceste măsurători.

Tabelul 4.5.

Epr. nr.	4	5	6	7	8	9	10	12	13	14	15	16	17
Aria ini- tială cm <sup>2</sup>	29	29	-	29	29	29	29	25	25	25	25	31	31
Aria obo- sită cm <sup>2</sup>	12,7	10,2	-	14,2	16,1	18	13,9	8,9	9,5	8,3	9,3	19,8	20,20
$A_{obos.}/A_{ini-}$ %	43,8	35,2	-	49,0	66,5	62,1	43,2	55,8	33,1	33,2	33,2	64,1	65,2

În tabel rezultă că la același coeficient de asimetrie dar la tensiuni diferite mărimea ariei secțiunii rupte prin obosale variază invers sensului de creștere a tensiunii aplicate. Cu alți termeni, mărimea ariei secțiunii oboosite variază în același sens cu factorul de intensitate al tensiunii K conform figurii numărul 4.4.

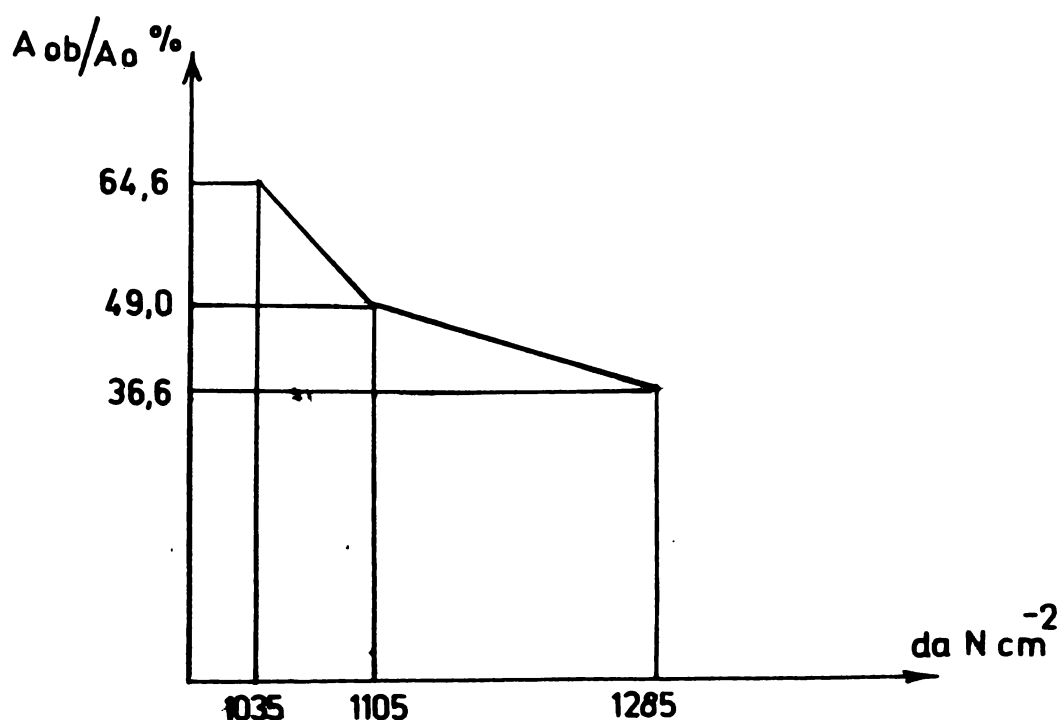


Figura 4.4

Suportul următoarelor considerente îl constituie fotografii din planșele numărul 4.9 - 4.17.

Studiul suprafeței de fractură arată că punctul inițial al distrugerii poate fi descoperit după urmele caracteristice ale extinderii fisurii în diferite etape. Aceste urme se pot compara uneori cu desenul de pe suprafața unei scoici având forma unei serii de arce de elipsă care se despart de la punctul inițial al distrugerii.

→ Distrugerea de obosale începe cu o deformare plastică foarte puțin vizibilă care are caracterul unei distrugerii co-sante. Acest început se înregistrează în zona influențată termic a metalului de bază în partea sa superficială sau în interiorul materialului cordonului unde un defect relativ neînsenat poate constitui un concentrator al tensiunii din această zonă. Spre exemplificare în acest sens epruveta E.6., planșa nr.4.10 s-a rupt într-o zonă - departe de secțiunea transversală minimă - în care s-a văzut după suprafață un defect prezentat de laminare care a coincis cu începutul cordoanelor de sudură.

Fisura avansează în interior și la suprafața metalului. În interior, propagarea fisurii se face înset cu perioade de stagnare ceea ce duce la formarea următorilor amintite mai sus, ilustrate mai detaliat în planșele numărul : 4.11, 4.12., 4.17.-

Pe parcursul degradării cumulative cele două suprafețe adiacente secțiunii de fractură se freacă reciproc și lustruiesc zona de incipientă a fisurii. Strecându-se pe liniile de minimă rezistență fisura schimbă planul de dezvoltare el rămânind tot timpul normal pe direcția efortului maxim de întindere. Acest lucru se confirmă de către fotografiiile să-ș din planșa numărul 4.17 care sint clare pentru anumite zone și neclare pentru altele.

Dacă la încărcarea statică distrugerea unei epruvete de otel este precedată de obicei de deformări plastice într-un volum considerabil al materialului, la capotarea de obosale deformăria plastică se limitează la o zonă locală îngustă. Exemplu planșele numărul 4.14., 4.16 care reprezintă capetele de epruvete perechi de la epruvetele E.11 respectiv E.16 și E.17 aşezate față în față după suprafata. Din această cauză în ultimul stadiu al distrugerii fractura are un caracter viscos. Planul fracturii formează un unghi de circa  $45^{\circ}$  cu suprafața anterioară, dezvoltării și aproximativ un unghi la fel cu direcția tensiunii de întindere.

Planșa numărul 4.9. prezintă epruveta E.4- de dimensiuni ale secțiunii transversale  $120 \times 20$  mm. Constituie prima epruvetă cu nervuri longitudinale cu care a început experimentarea acestei serii. Tensiunea axială maximă medie  $1900$  daN/  $\text{cm}^2$ , tensiunea axială minimă medie  $470$  daN/  $\text{cm}^2$ . Fisura apare în zonă cordoanelor de sudură și s-a observat după  $785$  mii cicluri. Capotarea epruvei a avut loc după  $929$  mii cicluri. Secțiunea de fractură ilustrează zona lustruită sub formă unei semielipse cu axă mare de  $74$  mm. În grosimea plăcii de bază elipsa pătrunde pe o distanță de  $17$  mm. În părțile laterale zona ruperii prin oboselă este înconjurată de material care a cedat prin decoeziune. Acest material suferă o deformare de curgere pronunțată înaintea decoeziunii. Măsurarea adâncimii fisurii la diverse intervale de timp după apariția fisurii a permis trăsarea curbelor F 4 din figura 1.2 planșele numărul 4.8 și respectiv 4.8.

Planșa numărul 4.10 prezintă cîteva aspecte ale epruvei E6, după capotare. Secțiunea minimă a epruvei a măsurat  $120 \times 20$  mm. placă de bază. Epruvete a făcut parte din aceeași serie ca și 4. De terminarea cordoanelor de sudură care fixau nervurile a coincis cu o zonă cu defect de laminare cum se vede din secțiunile adiacente ruperii. Fisura a pornit din această zonă unde datorită defectului de laminare și concentrării tensiunilor din sudare, s-a manifestat tensiunea efectivă maximă. Fisurarea a intervenit după  $818$  mii cicluri iar capotarea după  $958$  mii cicluri. Ruperea s-a produs după o secțiune simoasă așa cum o prezintă fotografie după rupere. Totuși fenomenul oboselii s-a derulat după același traiect: oboselă zonei centrale cu luatruirea ei și cedarea prin decoeziune de forfecare a zonelor marginale pe o direcție de circa  $45^\circ$  față de axa epruvei.

Epruveta E7 ilustrată în planșă 4.11 a avut ca dimensiuni ale plăcii de bază  $120 \times 20$  mm și ca axie a secțiunii transversale  $29$   $\text{cm}^2$ . Tensiunea maximă medie  $1900$  daN/  $\text{cm}^2$  iar cea minimă medie  $480$  daN/  $\text{cm}^2$ . Fisura a fost descoperită după ce nervura a fost parcursă de o fisură pe o lungime de circa  $2/3$  din lungimea ei. Contorul de număratoare indică  $1232$  mii cicluri. Durată de funcționare pînă la capotarea totală a fost de  $1418$  mii cicluri. Secțiunea de fractură înregistrează o zonă obosită eliptică cu axă mare  $87$  mm. și cu o pătrundere în placă de bază - măsurată pe grosimea plăcii de  $18$  mm. Zonele laterale suprafetei obosite au cedat prin amurgare. Măsurarea intermitentă a adâncimii fisurii a facut posibilă

trasarea curbelor E 7 din figurile 1.a din planșele numărul 4.7 și respectiv 4.8.

Epruveta E8 din aceeași serie - adică dimensiunii ale secțiunii transversale  $120 \times 20$  mm, aria a secțiunii transversale  $29 \text{ cm}^2$  - a avut o comportare la oboseală "obișnuită". Ca fapt deosebit s-a detectat fisura numai după 490 mii cicluri iar capotarea după 730 mii cicluri. Flipsa secțiunii obosite are axa mare de 78 mm și pătrunde în grosimea epruvei pe o adâncime maximă de 18 mm. Ceea ce constituie la prima vedere aspectul de excepție - fisurarea și capotarea timpurie - în fond este latura firească a fenomenului aleator de oboseală.

Așa cum arată paragraful 4.7 oricare din maximile care caracterizează fenomenul oboselii acestui tip de epruvetă se încadrează într-o lege de distribuție probabilistică normală - ori epruveta E8 descrie traiectul inferior al fascicolului așa cum rezultă din figurile la planșele numărul 4.7. și respectiv 4.8.

Tot o comportare "de excepție" a înregistrat o epruvete E.10 din aceeași serie care nu a fisurat pînă la 2000 mii cicluri. Din punct de vedere al caracterului aleator această epruvetă descrie tracectoria majoră a fascicolului.

Planșă numărul 4.14 ilustrează fețele adiacente secțiunii de rupere pentru ultima epruvetă a primei serii de epruve supuse testării de oboseală. Dimensiunile secțiunii transversale  $120 \times 20$  mm, aria secțiunii  $29 \text{ cm}^2$ , tensiune maximă medie -  $1900 \text{ daN/cm}^2$ , tensiune minimă medie  $480 \text{ daN/cm}^2$ .

Fisura a fost detectată după 879 mii cicluri și parcursese numai un cordon de sudură - planșă numărul 4.6. Capotarea a avut loc după 1039 mii cicluri. Secțiunea obosită ilustrează arcele de elipsă - arce de aşteptare pentru pasul următor în propagarea în adâncime a fisurii. Cu cât se apropiște de momentul capotării acești pași sunt mai mari - adică distanța dintre arce. Flipsa ariei obosite înregistrează o axă mare de 93 mm, și străbate întreaga grosime de 20 mm a epruvei. Zona ruperii prezentată pe această planșă ilustrează două aspecte : primul cîrgearea materialului care a cedat prin scurgere - cînd cele două fețe cîndva erau apropiate ; al doilea ruperea intervenită în ultima fază sub un unghi de circa  $45^\circ$ .

Planșă numărul 4.15 redă detailat secțiunea de rupere prin oboseală a epruvei E.11. În aceaste fotografii se observă mai clar excele după care s-a propagat figura în zonele cordoanelor de sudură și în materialul epruvei. Figura a și c vînd să re-

liefese arcele din placă epruvetei nu redă clar arcele din zonele su-  
durii. Figura b redă clar arcele din zonele cordoanelor de sudură.  
Acest fapt vine să confirme afirmația că fisura schimbă planul de  
dezvoltare la parcurgerea grosimii materialului.

Epruvete din seria a 2 -a supuse testării - tabelul 4.1 -  
au avut ca dimensiuni  $100 \times 20$  mm și aria de secțiunii transversale  
 $25 \text{ cm}^2$ . Efortul unitar maxim a fost  $2200 \text{ daN/cm}^2$  iar cel minim  $550$   
 $\text{daN/cm}^2$ . Coeficientul de asimetrie se păstrează în medie + 0,3.

Aceste epruvete numerotate F 12, F13, și F 14, F15 sunt pre-  
zentate în planșele numărul 4.16, 4.17., și 4.18. Fiind supuse la un  
efort unitar mare apropiat de limita de curgere fenomenul de oboseală  
decurge fără abiere de la descrierea mai sus. Adică fisura  
apare în zona cordoanelor de sudură, parurge o zonă din materialul  
epruvetei și urmează capotarea. Calitativ mărimea ariei obosite este  
mai restrinsă în comparație cu aria ruptă prin decoezie.

Durata funcționării, durata funcționării pînă la detectarea  
fisurii sunt mult mai mici în comparație cu epruvete de aria  $29 \text{ cm}^2$ .  
Acesta se datorează efortului unitar maxim care a depășit pentru  
aceste epruvete limite de elasticitate și se apropie de limite de  
curgere.

Figurile din planșa numărul 4.17 prezintă aria obosită prin-  
tr-o tentă mai luminoasă în comparație cu zona smulgerii. Zona smul-  
gerii se distinge prin ridicături și adîncituri în material.

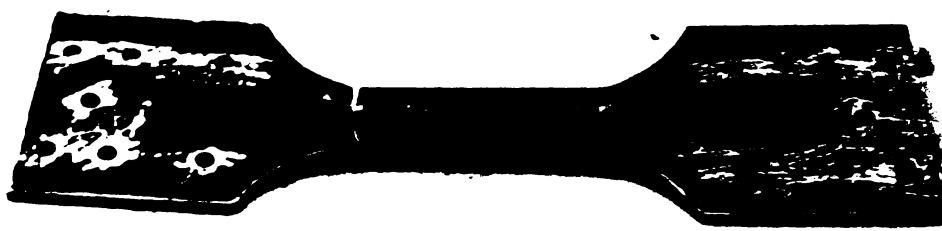
Fenomenul rupeții prin decoezie este brutal iar secțiunea  
rezultă foarte neregulat - foarte aspră așa cum o ilustrează epru-  
vetele F 13 și F 14 din planșa numărul 4.17.

Planșa numărul 4.18 prezintă în detaliu secțiunea transver-  
sală a epruvetei F 15. Se disting aici atît zona obosită care cuprin-  
de o nervură un cordon de sudură și o porțiune eliptică din placă  
epruvetei - cît și zona superioară prin decoezie cu adâncitările și  
adîncitările ei.

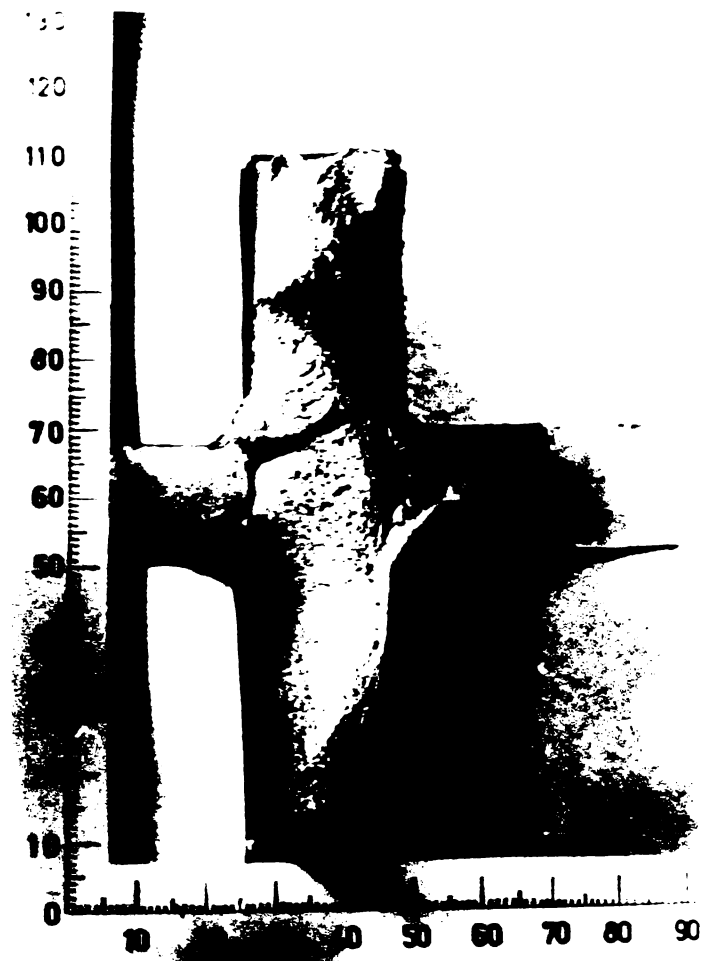
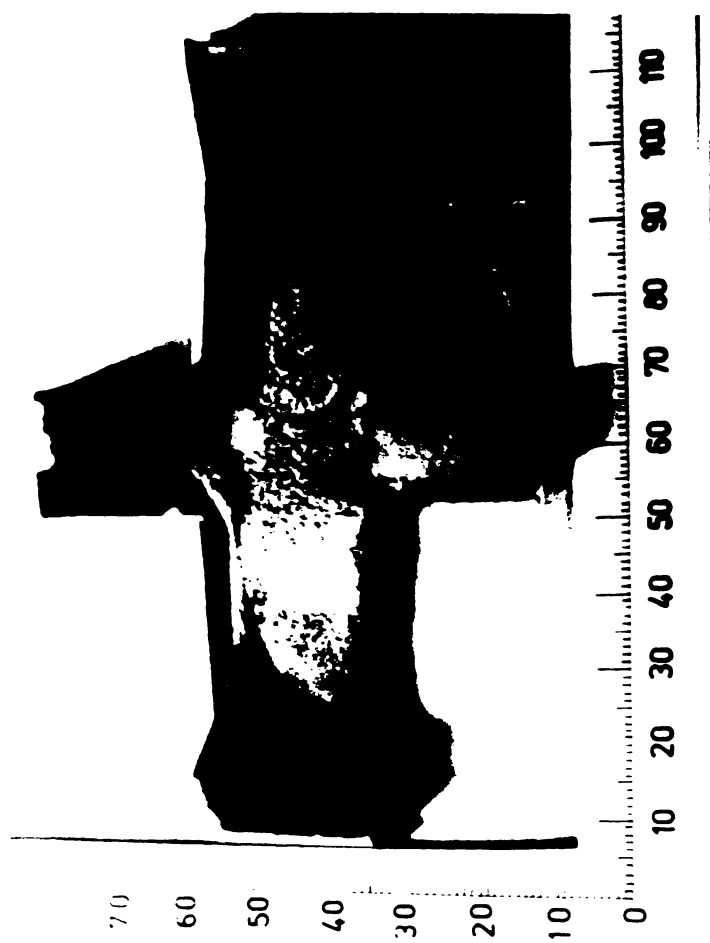
Luînd ca parametru al fenomenului aleator de oboseală numărul  
ciclurilor pînă la capotare - tabelul 4.1. se constată încadrearea  
fenomenului într-o lege de distribuție normală.

Cea de a 3-a serie de epruvete cu nervuri supuse testării  
- tabelul 4.1 - a cuprins epruvete de secțiune transversală  $31 \text{ cm}^2$   
cu dimensiuni ale placii  $130 \times 20$  mm.

Aceste epruvete sunt marcate cu indicativul F 16 și F 17. În  
planșa 4.19. Ca și celelalte, ele au o aria obosită în secțiunea trans-  
versală, o aria ruptă prin decoezie în urmă unui puternic fenomen  
de surseaza.



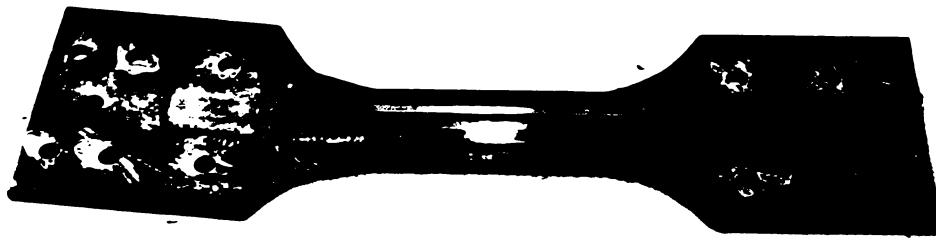
Epruveta E 4 după ruperea la oboseala.



Epruveta E 4 - secțiuni transversale rezultate

din capotarea la oboseala.

PLATEA N. 4.9.



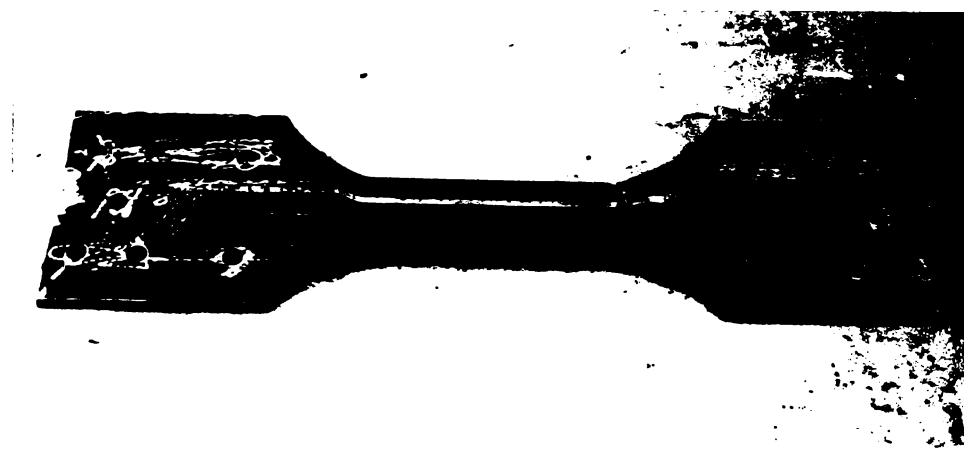
Epruveta E 6 - după rupere



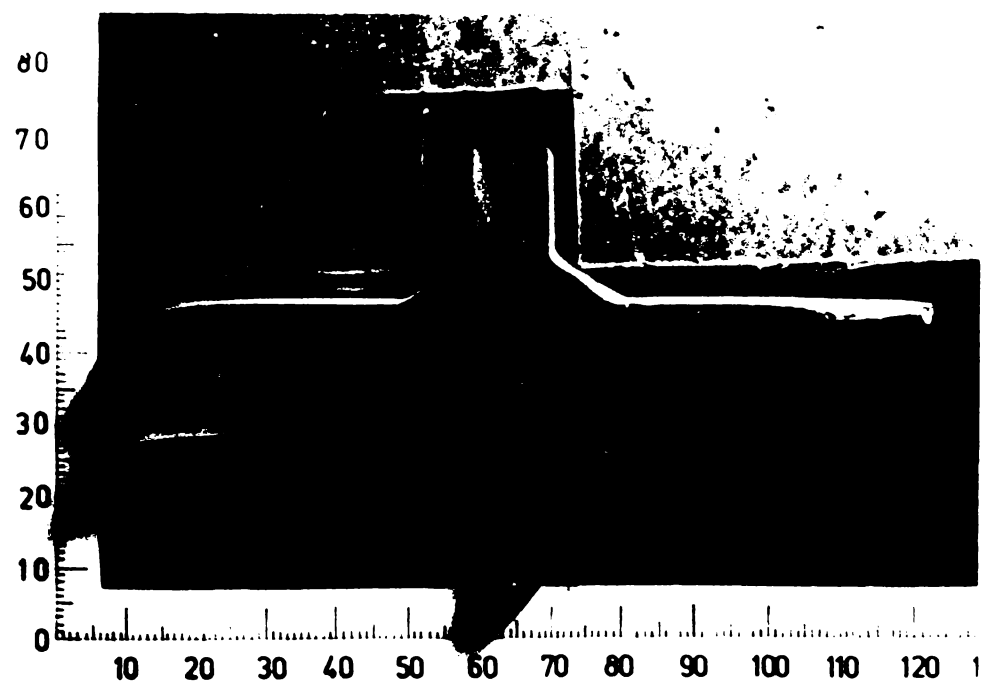
Epruveta E 6 - Secțiuni adiacente din zona ruperii

P L A N S A N R. 4.10





„pruveta ..7. - după rupere -

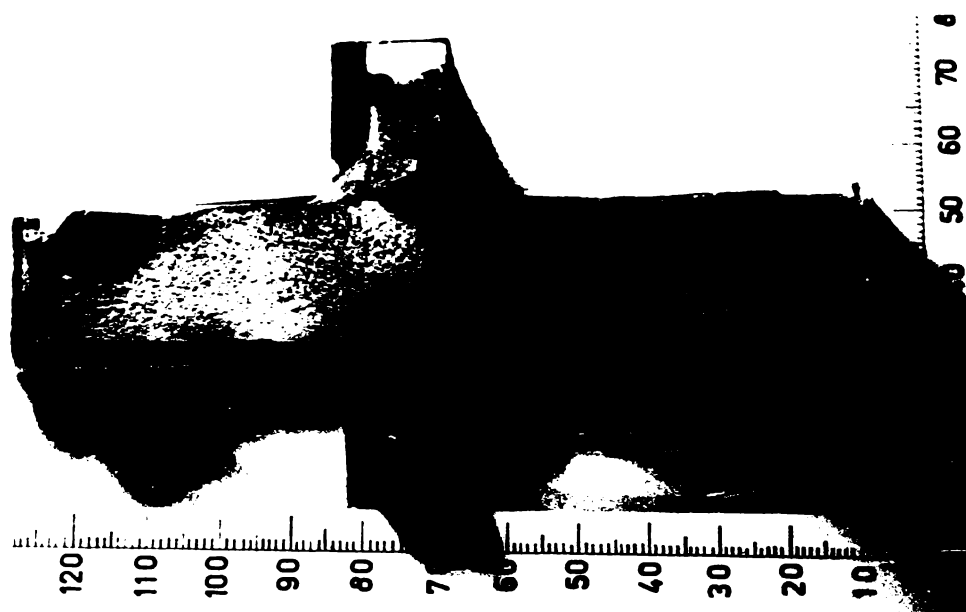
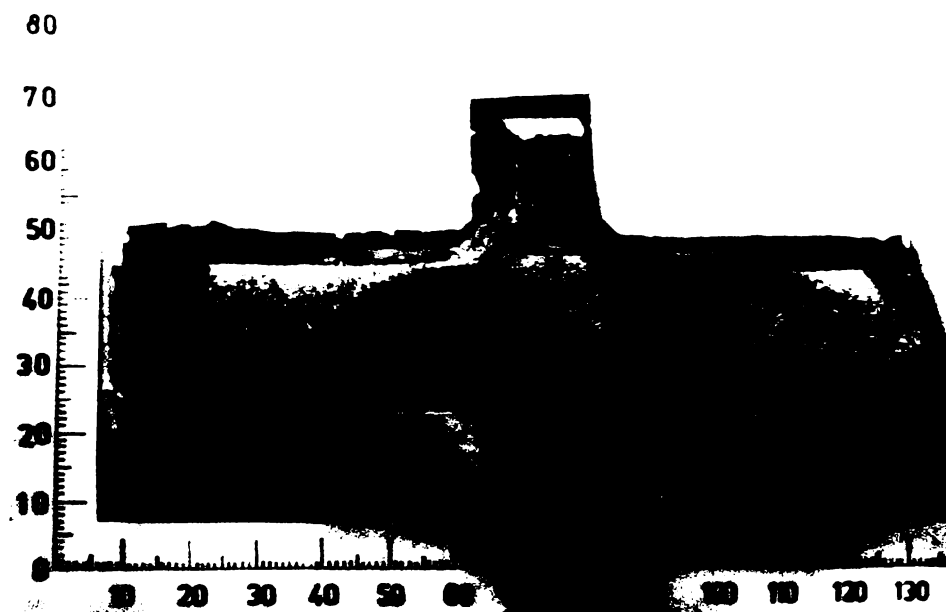


„pruveta ..7. - secțiune transversală  
rezultat din ruperea la oboseala . -

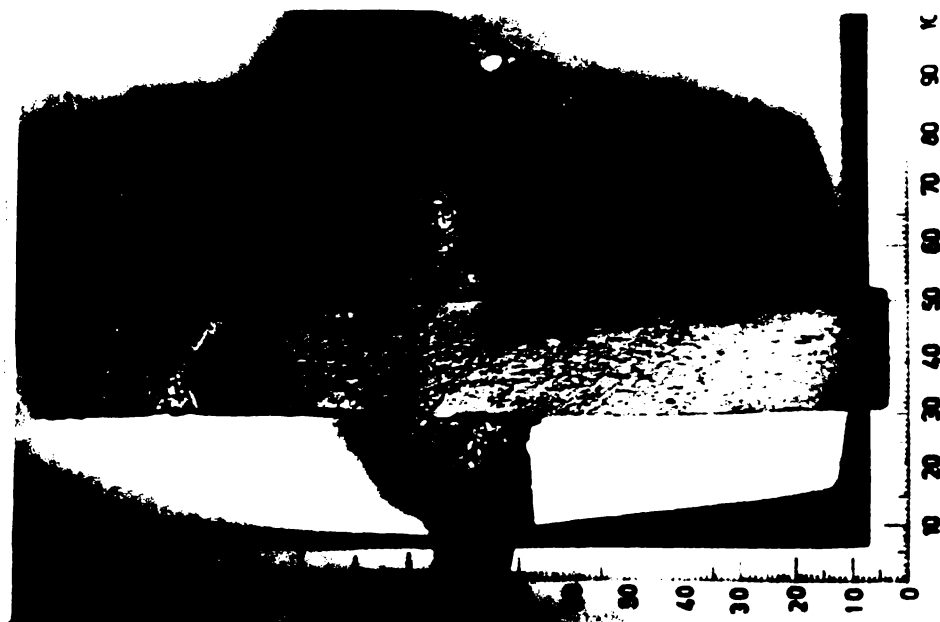
dimensiuni mm 4.11.



apraveta 5.8 - după rupere -



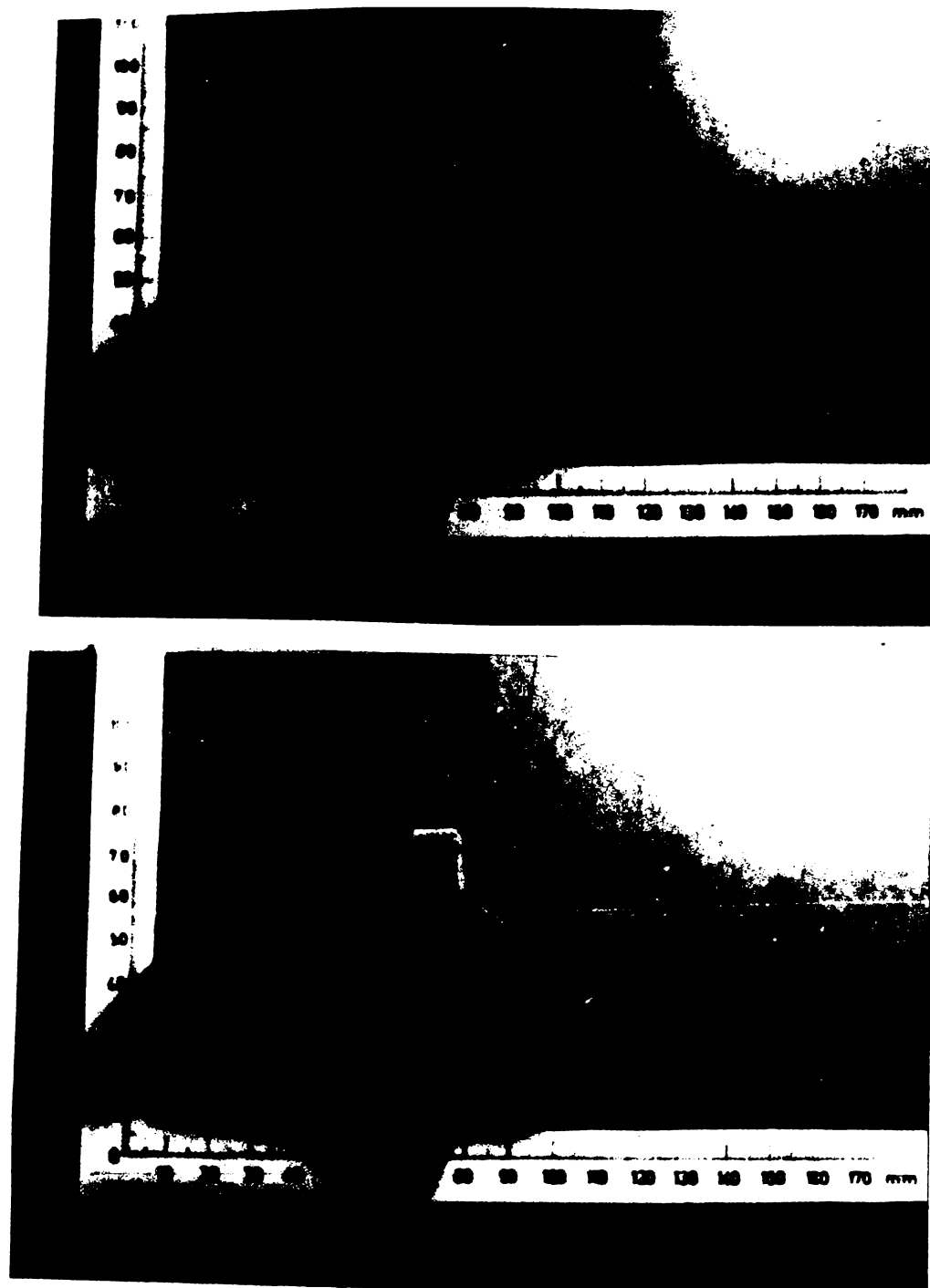
apraveta 2.8 - Secțiuni adiacente rezultate  
din ruperea la obuzeuli.-



Supravata n.9 - Secțiuni adiacente rezultate  
din rupeara la obuseali.-

P L A N S A N u . 4 . 1 3 .





șpruveta L.11 - Secțiuni rezultate din ruperea la oboseli.



șpruveta L.11 - Zona ruperii

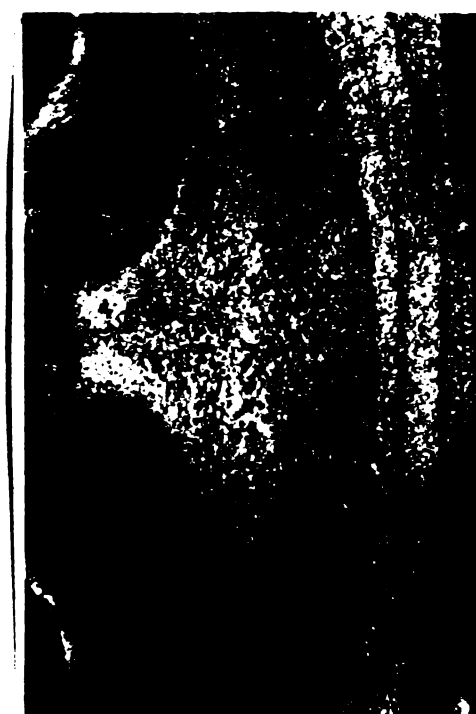
P L A N S A N R. 4.14.



a.



b.

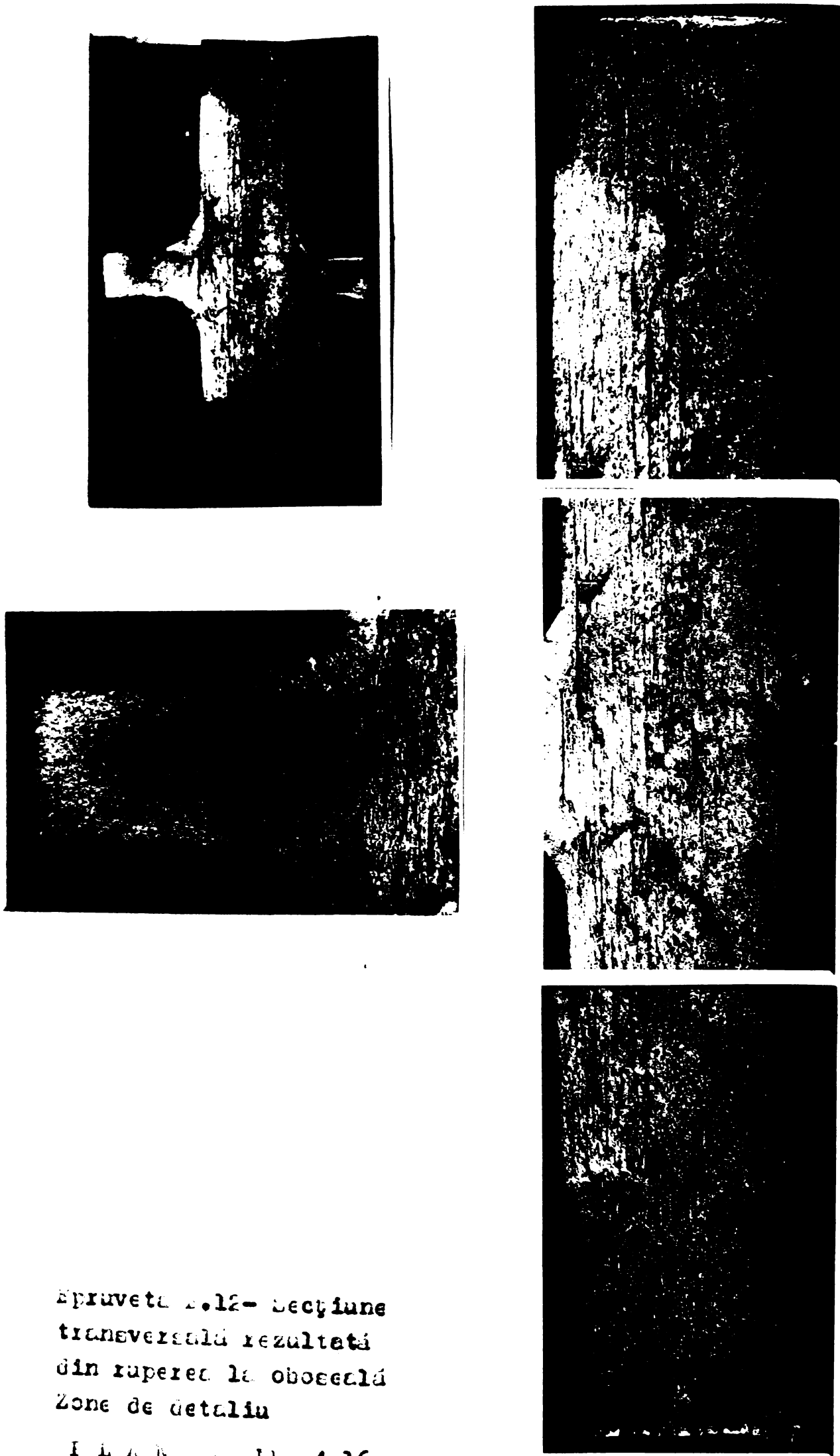


c.



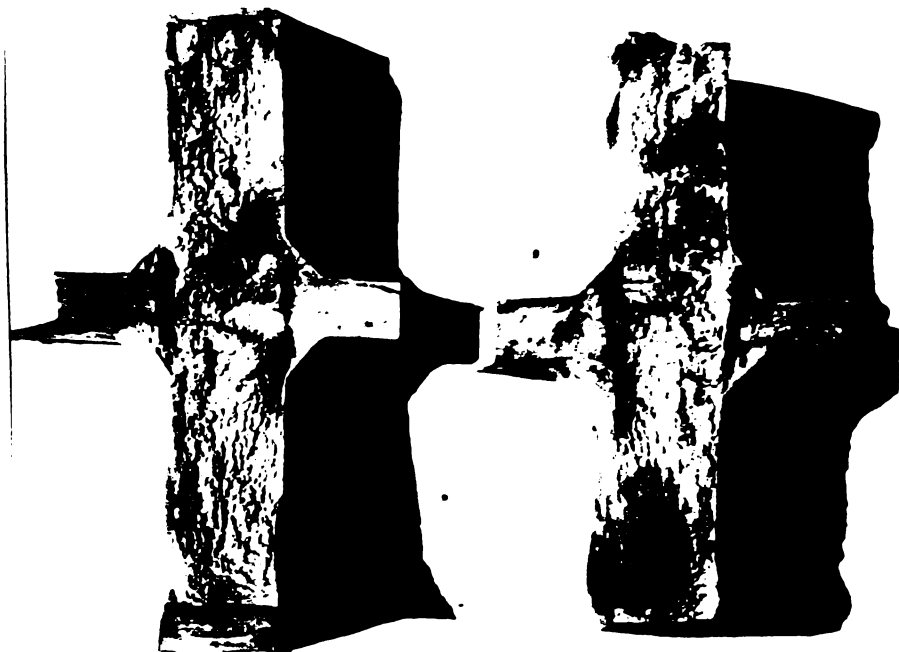
spinele 11 - secțiune  
transversală rezultată  
din ruperea la obiectul  
zone de detalia

12.4.15.

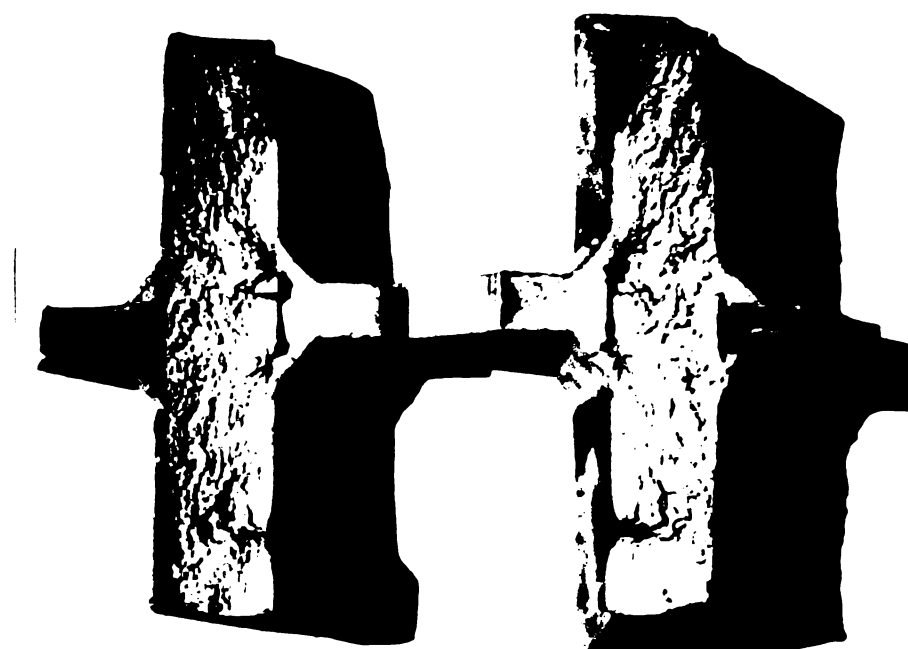


EPRUVETE - 12 - Secțiune  
transversală rezultată  
din ruperere la obiectul  
Zone de detaliu

F I L M U M M. 4.16



- privata 1.13 - secțiuni transversale  
rezultate din răperea la obiectele



zpravete o l. - výčetní transverzálce  
rezultátů výkazů l. zhot. až

11 . . . . . 17.

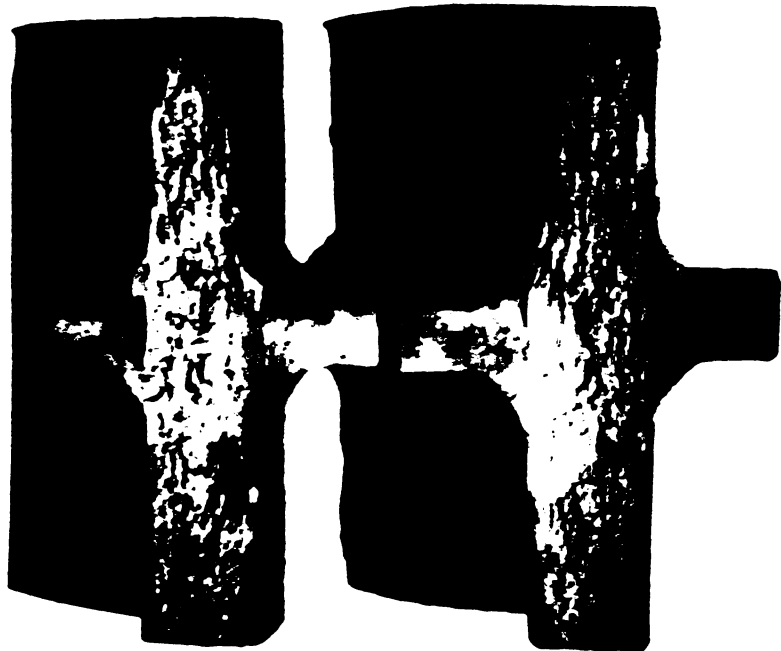


Figura 15 - secțiuni  
transversale rezultate din  
răpele la oboseli



Figura 15 - secțiune  
transversală privită în  
detaliu

Placa 4.18.





**Epruveta E.16 - Secțiuni transversale și zona ruperii rezultată din capotarea la oboseală**



**Epruveta E.17 - Secțiuni transversale și zona ruperii rezultată din capotarea la oboseală**

P L A N S A N R. 4.19.



#### 4.7. VERIFICAREA NORMALITATII REPARTITIEI

##### DATelor EXPERIMENTALE

Se vor trata mai datele obtinute de la epruvetele de  
arie  $29 \text{ cm}^2$  și anume durabilitatea D. Calculurile sunt efectuate în  
tabelul 4.6. folosind ([30])

Tabelul 4.6.

EPRUV. NR.	$D \times 10^{-3}$	$D - \bar{D}$	$(D - \bar{D})^2$	$(D - \bar{D})^3$	$(D - \bar{D})^4 \times 10^{-3}$
4	730	- 311,5	96.721	- 30.080.231	93,50
5	915	- 126,5	15.876	- 20.000.376	2,49
7	926	- 115,5	13.225	- 1.520.875	1,74
8	1039	- 2,5	6	1e	-
9	1221	179,5	32.041	5.735.339	10,24
11	1418	376,5	141.376	53.157.376	196,00
Suma	-	-	299.245	25.291.123	303,97

$$\bar{D} = 1041,5 \cdot 10^3$$

$$S = \sqrt{\frac{1}{n-1} \sum (D - \bar{D})^2} = 244 \cdot 10^3$$

$$M(D - \bar{D})^2 = 49.768 \cdot 10^6$$

$$k_3 = \frac{1}{n} \sum (D - \bar{D})^3 = 4.231.870$$

$$k_4 = \frac{1}{n} \sum (D - \bar{D})^4 = 50,66 \cdot 10^8$$

$$e_{k_3} = \frac{k_3 / 3}{S^3} = 0,292 < e_{k_3} \approx 0,69$$

$$E = \frac{k_4}{S^4} - 3 = - 1,57 \approx e_E = - 1,45$$

Erorile de cotație a indicatorului de simetrie și a excesului sunt :

$$e_{k_3} = \sqrt{6 \cdot \frac{n-1}{(n+1) \cdot (n+3)}} = \sqrt{-\frac{6 \cdot 5}{7 \cdot 9}} = 0,69$$

$$e_E = \pm \sqrt{\frac{24 n \cdot (n-2) \cdot (n-3)}{(n-1)^2 \cdot (n+3) \cdot (n+5)}} = \pm 1,45$$

În concluzie datele experimentale confirmă o distribuție probabilistică normală a durabilității epruvetelor de arie  $29 \text{ cm}^2$ . -

#### 4.3. CIRCUIT DE DURABILITATE

În vederea trăsării curbelor de durabilitate s-a înregistrat durata de viață a fiecărei epruvete. Efortul axial din epruvetă este același dar prin variația ariei secțiunii transversale se obțin eforturi unitare de valori diferite. S-au exersat trei variante ale epruvei.

- epruvete lise figura 3.9
- epruvete cu 2 coridoane de sudură longitudinală în axa epruvei figura 3.8.
- epruvele cu nervuri longitudinale fixate în axa epruvei cu 4 coridoane de sudură figura 3.6.

Pentru compararea rezultatelor s-au testat epruvele de arie diferită - în secțiunea transversală minimă. Efortul axial este același, ceea ce asigură și un același coeficient de asimetrie.

Rezultatele experimentale corelate sub denumirea de curbe de durabilitate sunt ilustrate în figura 4.5. Curbele sunt trase în coordinate semilogaritmice ( $\sigma$ , lg. $\tau$ ). Încearcări de epruvete de aceeași arie și aceeași configurație.

Curba superioară (1) reprezintă durabilitatea epruvelelor lise, curba mediană (2) se referă la epruvele cu 2 coridoane de sudură axiale și înălțată curba inferioară (3) cuprinde valurile de valori pentru epruvele cu nervuri axiale.

Constatările concluzive de primă instanță sunt calitative și remarcă durabilitatea maximă a epruvelelor lise și durabilitatea minimă pentru epruvele cu 4 coridoane de sudură. Reducerea durabilității în raport cu curba (1) este în medie de circa  $15\%$  pentru epruvele cu 2 coridoane de sudură și de  $25\%$  pentru epruvele cu 4 coridoane de sudură.-

Motivarea acestor proporții se face pe seama diagramelor de tensiuni reziduale induse prin sudare. Absența tensiunilor reziduale la epruvele lise situează curba durabilității acestor epruvete deasupra celorlalte curbe - deci acest tip de epruvetă înregistrează ceea mai lungă perioadă de viață și ceea mai înaltă valoare a rezistenței la oboselă.

În epruvele cu 2 coridoane de sudură, virfurile de tensiuni sunt mai puțin acute și mai puțin numeroase, comparativ cu epruvele prevăzute cu 4 coridoane de sudură. Aceasta rezultă din compararea diagramelor de tensiuni reziduale prezentate în figura 3.41 pentru epruveta cu 4 coridoane și respectiv în figura 3.44. pentru epruveta

cu 2 coridoane de sudură. Prezența virfurilor de tensiuni reziduale constituie un agent de supraincarcare locală a materialului favorizând dezvoltarea timpurie a fisurii și seasterea din lucru a unei părți din aria secțiunii transversale. Un număr sporit de virfuri de tensiuni reziduale înrăutățește condițiile de lucru ale elementului și sporește probabilitatea apariției și dezvoltării "precoce" a fisurii de oboseală.

La epruvetele cu 4 coridoane de sudură intervine ca element defavorabil prezența nervurilor longitudinale în care flumul liniilor de tensiune este mai rarefiat decit în plana de bază a epruvei. Tabelul măsurătorilor tensometrice din planga numărul 4.5 informează asupra densității flumului tensional. Se vede diferența dintre citirile aferente nervurilor ( timbrele 3... 7 ) și cele aferente plăcii de bază ( timbrele 1,2,4,5,6,8 ) pentru deformațiile din încărcarea dinamică. Aceste diferențe argumentează predicția de mai sus.

Așadar tensiunile rezanante induse prin sudare în ansamblurile sudate conlucrăză cu tensiunile de serviciu. Suprapunerea lor peste tensiunile din încărcarea dinamică conduce la reducerea rezistenței de oboseală și la reducerea duratei de funcționare a elementului. În cazul de față, pentru epruvete mari supuse la efort axial de tractiune sub un coeficient de asimetrie +0,3 reducerea rezistenței la oboseală se cifrează la 15% pentru epruvetele cu 2 coridoane de sudură și respectiv la 25% pentru epruvetele cu 4 coridoane de sudură.-

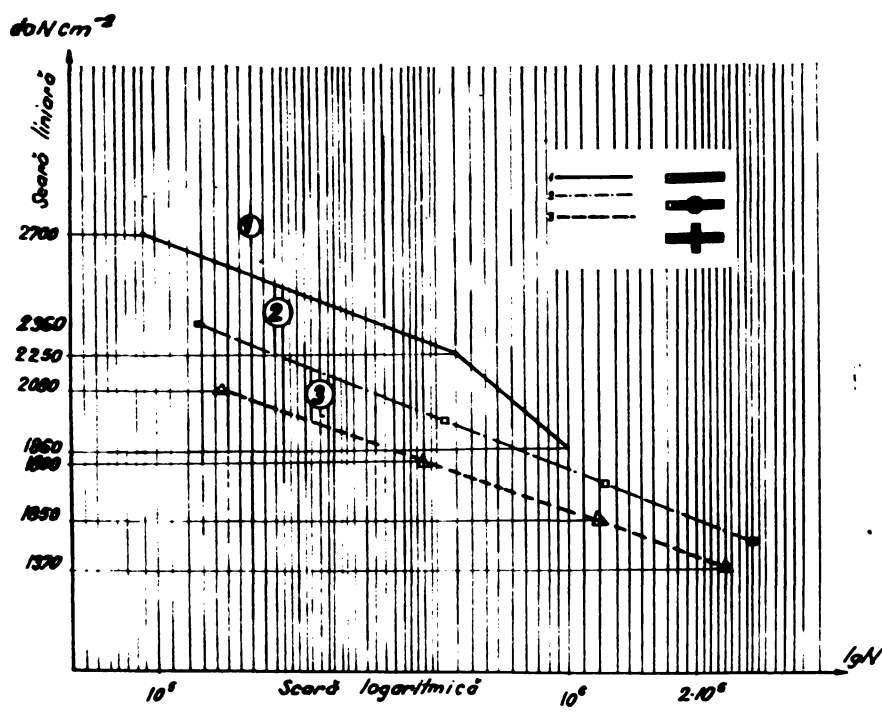


Figura 4.5.

## V. CONCUZII PRIVIND CARACTERUL CUPRINSERII IN TEZA

1) În urma procesului de sudare în piesele metalice se induce un spectru de tensiuni reziduale a cărui alură depinde (în afara parametrilor de sudare) și de rigiditatea ansamblului. În cazul epruvetei cu nervuri din prezența lucrare aplicarea succesivă a cordoanelor de sudură modifică în sens progresiv creșător rigiditatea epruvetei și odată cu aceasta spectrul tensiunilor reziduale.

2) Epruveta fiind supusă unor eforturi axiale ciclice cu un coeficient de asimetrie mediu + 0,3 înregistrează în zona influențată termic a cordoanelor de sudură eforturi unitare egale cu limita de curgere a otelului. Curgerea locală a materialului nivelaază diagrama tensiunilor reziduale induse prin sudare.

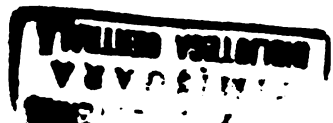
3) Fisura de oboseală la acest tip de epruvetă nucleează în zona influențată termic a metalului de bază ori în metalul cordoanelor de sudură. Aici se exercită virfuri tensionale de întindere rezultate din conlocorarea tensiunilor reziduale cu tensiunile provenite din încărcare. Aici structura otelului se modifică cu constituentei cu rupere fragilă în urma gradientului ridicat de încălzire și răcire. În sfârșit, în această zonă probabilitatea existenței unor defecte de microstructură metalică este cea mai mare-consecință a procesului de sudare.

4) Fisura de oboseală se propagă la suprafața epruvetei din zona centrală a ei către margini urmând o traекторie perpendiculară pe direcția tensiunii principale.

5) Fisura de oboseală se propagă în interiorul epruvetei în zona nervurilor și apoi către margini. Propagarea fisurii se face de pe linii de agățare sub formă unor arce de elipsă având axa mare paralelă cu fața lată a epruvetei. Pieciul ciclu de aplicare a sarcinii dinamică îi corespunde un asemenea arc, dacă se acceptă presupunția că distrugerea prin oboseală începe cu primul ciclu de încărcare.

6) Epruvetele fără nervuri, deci fără tensiuni reziduale din sudare, fisurează la una din margini. Fisura se propagă rectiliniu pe direcția tensiunii principale.

7) Ruperea completă a epruvetelor are loc prin decoesiune după curgerea pronunțată a materialului rămas în lucru prin fisurarea secțiunii transversale.



8) Dacă se adăite ca durabilitate a epruvetei numărul ciclurilor de aplicare a încărcării dinanice înregistrat pînă la rușerea completă a epruvetei atunci durata funcționării în stare nefisurată este aproximativ 84 %, din durabilitatea sa. Prin epruvetă în stare nefisurată s-a înțeles o epruvetă la care nu s-a detectat o fisură vizibilă cu ochiul liber avînd o lungime mai mare de 2 mm.

9) Sirimca arici fisurate din secțiunea transversală a epruvetei înregistrează o creștere după o curbă exponențială în cursul fenomenului de oboseală. Această lege de variație este valabilă numai în domeniul fisură vizibilă și depinde de configurația epruvetei și natura ciclului de încărcare.

10) Variația mărimii arici fisurate în unitatea de timp s-a numit viteză globală de fisurare. Vitesa globală de fisurare ascultă tot de o lege exponențială în raport cu timpul în domeniul fisură vizibilă

11) Fisura de oboseală a putut fi urmărită și la suprafața epruvetei. Viteza de propagare liniară la suprafața epruvetei ascultă de legă exponențială a mecanicii superei.

12) Jurnalirea statistică a fenomenului apariției fisurii de oboseală, a fenomenului ruperii, a duratei de funcționare în stare nefisurată a confirmăt înădrarea parametrilor ce caracterizează fiecare din aceste aspecte într-o lege de distribuție probabilistică normală.

**V B I B L I O G R A F I E**

---

**A. Lucrări elaborate de conducător și autor**

1. Mateescu D., Juncan I., Dimoiu I. - O mașină de încercări la oboselă. A V-a conferință de construcții metalice. Timișoara 1973.
2. Mateescu I., Kadojkovic I., Dimoiu I. Experimentelle Untersuchung der Überlagerung von Betriebsspannungen mit Schweißrestspannungen bei auf Fixierung beanspruchten Bauteilen.  
Referat comunicat la : 5 th Congress of the Yugoslav Association of Structural Engineers.  
Budva - Yugoslavia 1974.
3. Mateescu I., Dimoiu I. - Influența tensiunilor reziduale din sudare asupra fenomenului de oboselă a elementelor din oțel. St. Cerc. Sec. Apl. Tom. 36 Nr.1/1977
4. Dimoiu I. - Studiul experimental al suprapunerii tensiunilor de serviciu peste tensiunile reziduale din sudare la elemente supuse la oboselă. Referat comunicat la a V-a conferință de construcții metalice. Timișoara - 1973.
5. Dimoiu I.- Tensiuni reziduale în piese din oțel. Bulet. St. tehn. I.P.T. Tom. fasc.. 1977

**B. Lucrări bibliografice**

6. Alosten G.A. Enspänningar och materialbal i fasthet I kallriktade båedflansprofiler in Särtryck ur Jeznkontorets Annaler vol. 154. 1970
7. Alosten G.A., Tall L. - Residual stresses in Heavy welded Shapes. I.J. vol. 49. 1970.-
8. Casenau R.- La fatigue de métaux. Dunod. Paris 1969.-

9. Cioclov D. - Degradarea cumulativă a oțelarilor prin solicitări repetate cu amplitudini variabile.  
Dizertație Timișoara 1970.-

10. Cioclov D. - Rezistență și fiabilitate la solicitări variabile Ed. Pacla. 1975

11. Daddi I., - Mezzolani F. - Determinazione sperimentale delle imperfezioni strutturali nei profilati di acciaio. Construzioni Metalliche 5/1972.-

12. Lister G.F. Jz.- Metallurgie mecanică Ed. tehn. 1970

13. Dwight J.B., Young R.E. - Residual Stresses due to Welding. Conference of Joints in Structures 1970.

14. Ekstrom D.H., Munze K.H., - The Effect of Internal Weld Defects on the Fatigue Behaviour of Welded Connections.  
I.I.E. Doc. XIII - 678 - 73

15. Guerrier V., - Rules and Experimental Data in Fatigue  
I.I.E. - Doc. XV - 228 - 67.-

16. Hajdu J.- Contribuții la studiul influenței temperaturii și vitezei de încărcare asupra limitei de curgere a unui oțel moale. Dizertație, Timișoara 1963.

17. Harrison J.L., An Analysis of Data on Ion - Propagation Fatigue Cracks on a Fracture Mechanics Basis  
I.I.E. Doc. E 20/3 / 69.

18. Hirsch P.B., Observations of Dislocations in Metals Internal Stresses and Fatigue in Metals New York 1959.

19. Iidak, Kawahara M., Changes in Fatigue Crack Shape During Growth. I.I.E. Doc. XIII - A - 18 - 75.-

20. Andrievțev I.P. - Ostatocinii svarosinie napreajenia i procinosti soedinenii. Magistrenie, 1964.-

21. Masubuchi K., Welding Stress Analysis by the Numerical Experiments by Finite Element Method I.I.E. Doc.X 675 - 72.
22. Mateescu D., Gadeana I., Kerces G., s.a.  
Construcții metalice Ed.did. și ped. București - 1975
23. Massolani P.M. - Analisi sperimentale delle tensioni residue nei profilati metallici.  
Convegno nazionale A.I.A.S. Palermo 1972.
24. Munze H.W. , Fatigue of Welded Steel. Structures.  
New York 1964
25. Müller F.H. , Pimbley R.T., Mulson J.P.  
The Study of Metal Surface by the Field Ion Microscope. Conference of Joints in Structures 1970.
26. Mădăgan St. s.a.,- Cboseala metalelor. Ed. tehnică 1962
27. Neumann A., Probleme în legătură cu rezistența la obosalea a îmbinărilor sudate. I.D.T. 1962
28. Pană T., Aplicații ingineresti ale mecanicii ruperilor.  
Ed. tehn. 1975
29. Parker F.R., Pegredo D.H. - Nucleation and Growth of Fatigue Cracks, Internal Stresses and Fatigue in Metals. New York 1959.
30. Łącki L.Z. , Prelucrarea matematică a datelor experimentale Ed. tehn. 1974.
31. Serensen S.V. - Trufiakov V.I. Proposition on the Method on Fatigue Testing Welded Joints I.I.E. Doc.XIII. 384 - 65.
32. Serensen S.V., Trufiakov V.I., Babeev A.V.  
The Effect of Residual Stresses in Fatigation of Fatigue Resistance for Butt Joints with Lack of

## Fracture Mechanics I.I.E. Doc.XIII 589-70

33. Tanaka M., Narumoto A., Tunakosehi T.  
Fatigue Crack Propagation in Welded Structural  
Steel Plates . I.I.E. Doc. XIII. 78- 75.-
34. Teiji Ito Kiyoschi Tanaka, Makoto Sato Study of  
Brittle Fracture Initiation from Surface Notch  
in Welded Fusion Line. I.I.E. Doc. X- 693- 73
35. Teodorescu C.C. g.a. - Imbinări sudate Ed.tehn.1972
36. Trufiakov V.I., Ustalosti svarních spojení řešení  
důvodu. Kiev 1973.-
37. Vologdin V.F. - Deformații și naprăjenia prîsvarceh  
sudovih construcții. M.Oboronghiz 1955.
38. Young R.J. - Residual Stresses in Hot Rolled Members  
Colloquium on Column Strength. Paris 1972.-

000